

# Tehniium

REVISTĂ LUNARĂ EDITATĂ DE C.C. AL U.T.C.

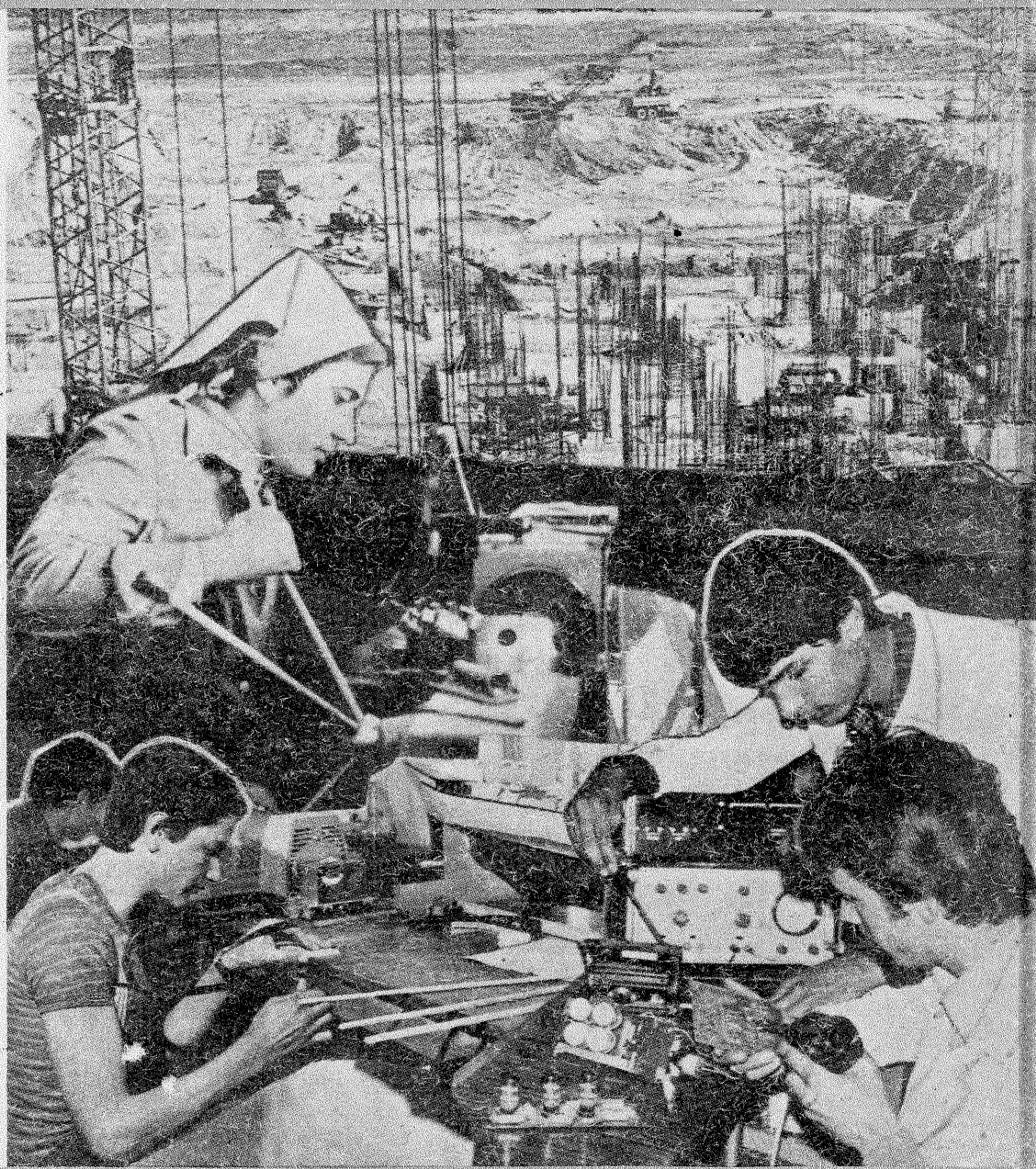
ANUL XIV - NR. 146

1/83

## CONSTRUCȚII PENTRU AMATORI

### SUMAR

- RADIOTEHNICĂ PENTRU ELEVI** ..... pag. 4—5  
Tranzistorul cu efect de câmp  
Tester  
Aplicații FET
- CQ—YO** ..... pag. 6—7  
Radioreceptorul US-P  
Construcția antenelor  
Metodă de măsurare a puterii RF  
Linii  $\lambda/4$
- HI-FI** ..... pag. 8—9  
Recepția stereofonică
- TEHNICĂ MODERNĂ** ..... pag. 10—11  
Circuite CMOS. Aplicații liniare  
Circuitul integrat  $\beta E555$
- MODELISM** ..... pag. 12—13  
Navomodel remorcher
- AUTO-MOTO** ..... pag. 14—15  
Autoturismele „Oltcit”  
Alternatorul
- CITITORII RECOMANDĂ** ..... pag. 16—17  
Panou de afișaj  
Canar electronic  
Detector de metale  
Amplificator-corector
- FOTOTEHNICĂ** ..... pag. 18—19  
Filtre interferențiale în tehnica fotografică
- AUTOMATIZĂRI** ..... pag. 20  
Ceas electronic
- ATELIER** ..... pag. 21  
Corector de ton pe trei benzi
- REVISTA REVISTELOR** ..... pag. 22  
Bloc UJS  
Capacimetru  
VU-metru  
Rx-28 MHz
- MEMORATOR** ..... pag. 23  
 $\beta M$  3900
- POȘTA REDACȚIEI** ..... pag. 24  
Radioservice



Omagiul tinerei generații adus tovarășului  
NICOLAE CEAUȘESCU cu prilejul împlinirii a 50 de ani  
de activitate revoluționară și aniversării zilei sale de  
naștere.

pag. 2-3

CT

*„Adresez minunatului nostru tineret chemarea de a face totul pentru a-și însuși, în fabrici și pe ogoare, în toate sectoarele, deprinderile activității practice, îmbinând neabătut și permanent învățămîntul cu practica — singura cale a formării unor cadre bine pregătite, în stare să-și îndeplinească în bune condiții sarcinile ce le revin în producție, în dezvoltarea economică și socială a țării. Faceți, dragi prieteni, totul pentru a vă însuși concepția revoluționară, spiritul revoluționar, de abnegație și luptă, propriu comunistilor, pentru a asigura triumful mărețelor idealuri ale socialismului și comunismului. Fiți gata întotdeauna să vă serviți patria pînă la ultimul sacrificiu — dacă va fi necesar —, să serviți poporul, partidul, socialismul și comunismul, să fiți luptători fermi pentru prietenie și colaborare internațională, pentru pace!”*

NICOLAE CEAUȘESCU



Țara întreagă, tînăra generație aduc un fierbinte omagiu, gînduri de prețuire și recunoștință patriotului înflăcărat, comunistului de omenie, ctitor al societății socialiste multilateral dezvoltate, tovarășului **NICOLAE CEAUȘESCU** cu prilejul împlinirii a 50 de ani de activitate revoluționară și aniversării zilei de naștere.

Importantele realizări cucerite de poporul român de când tovarășul **NICOLAE CEAUȘESCU** se află în fruntea partidului și statului dimensionează o perioadă istorică de intensă eferescență creatoare. În această lună, când întreaga națiune sărbătorește pe cel ce conduce destinele României socialiste cu prilejul aniversării zilei de naștere și a peste 50 de ani de activitate revoluționară, utecistii, aflați încă pe băncile școlilor, pregătindu-se cât mai temeinic pentru muncă și viață, își exprimă întreaga recunoștință celui mai iubit fiu al poporului pentru permanenta grijă acordată tinerei generații, considerată pe drept cuvânt viitorul țării.

Ce poate fi mai de preț, mai pilduitor pentru formarea unui tânăr decât biografia revoluționarului dîrz și consecvent, patriotului profund, înțeleptului conducător și strateg al victoriilor națiunii noastre socialiste! Și ce poate fi mai înălțător pentru tinerii zilelor noastre, pentru viitorul societății noastre decât exemplul covârșitor de luptător pentru pace al secretarului general al partidului, militant consecvent pentru asigurarea păcii, pentru apărarea dreptului fundamental al oamenilor, al popoarelor la viață, la existență liberă și demnă.

Bărbat al construcției și păcii, secretar general al partidului și președintele republicii, tovarășul **NICOLAE CEAUȘESCU**, s-a făcut remarcat ca o personalitate de prim rang în lumea contemporană, a polarizat pretutindeni respectul care se răsfrînge asupra poporului însuși din mijlocul cărui s-a ridicat și căruia i-a înțeles și exprimat năzuințele în marile foruri internaționale, unde s-a prezentat ca exponent al său.

Purtînd pe umeri răspunderea prezentului și viitorului nostru, tovarășul **NICOLAE CEAUȘESCU** simbolizează prin întreaga sa viață și activitate identificarea plenară cu progresul și civilizația României socialiste în care tinăra generație, milioanele de uteciști se afirmă cu entuziasmul și impetuoșitatea vîrstei, cu capacitățile creatoare și novatoare puse în slujba patriei și a construcției socialiste. Dealtfel, nu există practic domeniu de activitate, sector al vieții sociale, economice, politice, culturale, științifice etc., în care tovarășul **NICOLAE CEAUȘESCU** să nu fi adus, prin ideile sale creatoare — rezultat al unor analize obiective —, un suflu nou, menit să înscrie aceste domenii pe traiectoria progresului general al societății noastre socialiste.

Dacă astăzi generația tinăra a României socialiste este o puternică forță socială, dacă munca și eroismul ei se pot recunoaște cu ușurință în tot ceea ce se înfăptuiește, dacă de ea se leagă în mod organic viitorul națiunii — toate acestea se datorează faptului că a fost îndrumată și sprijinită cu consecvență de către partid, de către secretarul său general și se datorează, în egală măsură, faptului că a avut mereu în față exemplul personal al revoluționarului dîrz, al patriotului consecvent, tovarășul **NICOLAE CEAUȘESCU**.

Mă număr printre profesorii unui grup școlar care pregătește tinerii într-o dinamică ramură a economiei naționale, și anume electronica.

În prezent, toate proiectele de diplomă ale absolvenților noștri sînt legate fie de profilul producției electronice, fie sînt destinate autodotării și autoutilării. Valoarea producției elevilor se ridică la 19 milioane de lei, dintre care aproape 5 milioane producție-marfă va fi depășită în acest an. Dotarea cu mașinile-unele de prelucrare cu comandă program, cu mașini pentru inserția maselor plastice ridică sensibil calitatea pregătirii viitorilor muncitori din industria electronică. De aceea sîntem recunoscători secretarului general al partidului pentru condițiile minunate oferite atît tinerei generații, cît și nouă, cadrelor didactice, condiții ce atestă perfecționarea continuă a procesului instructiv-educativ, a legăturilor acestuia cu producția și cercetarea. Ne alăturăm glasul milioanele de urări ce aduc priinosul de recunoștință celui mai iubit fiu al poporului, secretarul general al partidului, tovarășul **NICOLAE CEAUȘESCU**, la aniversarea zilei de naștere și a peste 50 de ani de activitate revoluționară.



În aceste zile, toți uteciștii, întregul tineret al patriei se alătură milioanele de oameni aparținînd tuturor generațiilor pentru a exprima secretarului general al partidului, conducătorului iubit al țării, tovarășul **NICOLAE CEAUȘESCU**, urări fierbinți de sănătate și fericire, spre binele poporului, cu prilejul aniversării zilei de naștere și a peste 50 de ani de activitate revoluționară.

În ziua de 26 ianuarie, noi toți, tineri și mai vîrstnici, bărbați și femei, muncitori și țărani, intelectuali, români, maghiari, germani și de alte naționalități, practic întreaga suflare a patriei, aniversăm pe cel ce conduce destinele patriei noastre, acel mare Om, Revoluționar și Comunist în care se întruchipează virtuțile alese și idealurile nobile, dăruirea și pasiunea, devotamentul nețărmurită față de patrie, lupta continuă dusă pentru demnitatea, libertatea, fericirea și bunăstarea României și a tuturor fiilor săi.

Pentru noi, cei care astăzi făurim o lume nouă pe pămîntul românesc, o societate care a înaintat pe un front larg în dezvoltarea economică și în cea spirituală, personalitatea, viața, activitatea, exemplul permanent al secretarului general al partidului, președintele republicii, tovarășul **NICOLAE CEAUȘESCU**, se constituie în cea mai grăitoare dovadă a puterii noastre creatoare, a geniului românesc în tot ce are mai durabil, mai revelator, mai înălțător.

Totodată, sentimentele de adîncă și nețărmurită grațitudine ale tinerei generații din țara noastră se îndreaptă și spre tovarășa academician doctor inginer ELENA

**CEAUȘESCU**, eminent om politic și savant de renume internațional, a cărei viață și activitate sînt neprețuite modele pentru creșterea și formarea tinerilor ca oameni, ca revoluționari, ca însuflețiți constructori ai societății socialiste și comuniste pe pămîntul României.

De fiecare dată, cu prilejul acestei sărbători, fiii poporului român raportează împlinirile, succesele și angajamentele de a pași mai departe, încrezători și plini de elan, pe drumul care marchează ascensiunea spre o mereu mai înaltă civilizație. Dealtfel, jaloanele acestor realități, dimensiunile lor istorice au fost recent materializate în inestimabilul document avînd o uriașă însemnătate teoretică și practică — Raportul prezentat de secretarul general al partidului la recenta Conferință Națională, strălucit program de muncă și luptă pentru întregul popor. Și cu acest prilej, tovarășul **NICOLAE CEAUȘESCU** și-a îndreptat părinteasca grijă asupra tinerei generații, menționînd de la tribuna înaltului forum atenția deosebită ce trebuie acordată tineretului, pregătirii sale pentru muncă și viață, sădării în conștiințe a spiritului revoluționar, a dorinței de însușire a celor mai noi cuceriri ale științei și cunoașterii umane, a voinței de a acționa în toate împrejurările ca revoluționari, ca patrioți în slujba poporului, a cauzei socialismului și păcii.

Îi datorăm tovarășului **NICOLAE CEAUȘESCU** exemplul unei vieți eroice puse încă din anii tinereții în serviciul împlinirii mărețelor idealuri comuniste, demnității și libertății poporului, progresului permanent, perfecționării continue pe plan uman. Îi datorăm tovarășului **NICOLAE CEAUȘESCU** un alt mod, superior, de a gîndi și de a ne gîndi rostul de a făptui, de a crea o nouă civilizație pe pămîntul românesc, un alt mod, superior, de a concepe și de a ne concepe destiniile, deschizîndu-ne generos și cutezători spre tot ceea ce este nou, spre cunoașterea de sine și de lume, spre un viitor mereu mai plin, mai fericit.

Îi datorăm tovarășului **NICOLAE CEAUȘESCU** revoluționarul concept al integrării învățămîntului cu cercetarea și producția. Prin grija partidului și statului, prin permanentele îndrumări ale secretarului general al partidului au fost create minunate condiții pentru ca activitatea de educație și învățămînt să cunoască o dezvoltare fără precedent în ultimii 18 ani. Organizarea superioară a învățămîntului, baza sa materială de excepție răspunzînd celor mai înalte exigențe, cadrele cu o înaltă pregătire și o conștiință profesională deosebită sînt factorii de bază care concură la realizarea revoluției în învățămînt, la perfecționarea și modernizarea întregului proces instructiv-educativ. Cadrul conceptual de pregătire a tinerilor generații a fost conturat, gîndit și definit de secretarul general al partidului, tovarășul **NICOLAE CEAUȘESCU**.

Conceptul este nou, original, revoluționar și exprimat sintetic în

triada învățămînt-cercetare-producție. Pentru ca știința și practica să aducă o contribuție esențială la problemele actualității, se impun un salt spectaculos în producție, o ridicare a eficienței economice, o nouă calitate superioară în întreaga activitate. Prezența tinerei generații în ateliere-școală, în secțiile unităților economice, în laboratoare de cercetare sau în ateliere de proiectare se constituie într-un elocvent argument al valabilității integrării învățămîntului, al capacității de formare a omului nou prin participarea directă la făurirea de bunuri materiale și spirituale.

Permanentă a vieții României socialiste, grija secretarului general al partidului, tovarășul **NICOLAE CEAUȘESCU**, pentru tinăra generație este tradusă și în coordonatele largi ale procesului de pregătire, printre care se numără gratuitatea învățămîntului, generalizarea învățămîntului obligatoriu, perspectivele participării tineretului la dezvoltarea învățămîntului de toate gradele.

Tinăra generație a patriei noastre se poate mîndri cu faptul că politica partidului în domeniul învățămîntului, cadru optim de formare a forței de muncă necesare dezvoltării economiei naționale, este elaborată sub directa îndrumare a secretarului general al partidului, ceea ce dovedește încă o dată rolul determinant al tovarășului **NICOLAE CEAUȘESCU** în fundamentarea noii școli românești, a concepțiilor revoluționare ce stau la baza învățămîntului nostru de toate gradele.

Dealtfel, în învățămînt, conceptul revoluționar ce guvernează destinele școlii românești a generat, odată cu creșterea calitativă a pregătirii elevilor și studenților, importante mutații în calitatea și cantitatea aportului practic, concret al acestora la producția de bunuri materiale și spirituale. Dacă în 1979 elevii din licee, școli profesionale și de maștri realizau o producție echivalentă cu circa un miliard de lei, în 1981 eforturile lor sînt mai mari cu 38 milioane de lei.

Însuflețiți de mărețele obiective ale Congresului al XII-lea și ale Conferinței Naționale a partidului, de exemplul personal, de abnegație și dăruire revoluționară, patriotică a secretarului general al Partidului Comunist Român, tineretului patriei își afirmă plener hotărîrea de a milita neabătut pentru traducerea în viață a însuflețitoarelor programe de dezvoltare economico-socială în școli și facultăți, în uzine și pe ogoare, pe șantierele construcției socialiste.

Laolaltă cu întregul popor, tineretului țării, muncitorii și țărani, elevii și studenții, intelectuali și militari, sărbătorește aniversarea zilei de naștere și a peste 50 de ani de activitate revoluționară aducînd un fierbinte omagiu secretarului general al partidului, președintelui României socialiste pentru activitatea neobosită desfășurată în fruntea partidului și statului, închinată fericirii poporului și patriei noastre socialiste, cauzei păcii în întreaga lume.

Ing. STELIAN PĂTRUȘESCU, CĂLIN STĂNCULESCU

# TRANZISTORUL CU EFECT DE CIMP

Fig. A. MĂRCULESCU

(URMARE DIN NUMĂRUL TRECUT)

Vom trece acum la cea de-a doua variantă constructivă a tranzistoarelor cu efect de cîmp, anume **FET-urile cu grilă izolată**, întâlnite mai frecvent sub numele de **MOS-FET-uri**. Ele se deosebesc de J-FET-uri prin faptul că poarta nu mai formează o joncțiune cu substratul semiconductor, ci este o simplă peliculă metalică depusă peste substrat, în regiunea cuprinsă între drenă și sursă, fiind separată de acesta printr-un strat izolator. Cum de obicei izolatorul este un oxid, succesivul este metal-oxid-semiconductor, de unde și inițialele MOS folosite pentru a desemna această tehnologie de fabricație.

La rîndul lor, MOS-FET-urile se clasifică, după natura canalului, în MOS-FET-uri cu canal indus (de tip N sau P) și MOS-FET-uri cu canal inițial (de tip N sau P).

Structura unui **MOS-FET cu canal indus de tip N** este prezentată schematic în figura 26. În substratul semiconductor, de tip P, sînt formate prin difuzie două regiuni semiconductoare de tip N, care îndeplinesc

rolul de sursă, respectiv drenă. Electroful poartă este izolat față de substrat, după cum am arătat mai sus. În plus, distingem un al patrulea electrod, numit bază (B), care reprezintă un contact ohmic la substrat. Vom considera în continuare situația cea mai simplă, de fapt și cea mai răspîndită, în care baza este conectată (interior sau exterior) la sursă.

Pentru a urmări funcționarea dispozitivului, să presupunem că între drenă și sursă se aplică o tensiune  $U_{DS}$  pozitivă (plusul la drenă și minusul la sursă), poarta fiind lăsată neconectată. Substratul semiconductor (de tip P) conține foarte puțini electroni mobili și, în plus, circulația acestora de la sursă la drenă, sub acțiunea diferenței de potențial  $U_{DS}$ , are loc în condițiile polarizării inverse a joncțiunii drenă-substrat. În consecință, curentul prin dispozitiv — notat cu  $I_{DSS}$  — este foarte mic, practic neglijabil (de ordinul nanoamperilor).

Să presupunem acum că se lasă drenă neconectată și se aplică o

tensiune pozitivă  $U_{GS}$  între poartă și sursă (plusul la poartă și minusul la sursă). În „condensatorul” reprezentat de stratificația metal-oxid (izolator) — semiconductor la naștere un cîmp electric, care „împinge” spre interiorul substratului golurile din vecinătatea izolatorului și simultan atrage spre suprafață electronii mobili din substrat. Cu alte cuvinte, cîmpul electric creat de tensiunea  $U_{GS}$  produce la suprafața semiconductorului o inversare a tipului de conductibilitate, stratul de inversie reprezentînd tocmai canalul indus, de tip N. Cu cît tensiunea  $U_{GS}$  este mai mare, cu atît grosimea canalului este mai mare, implicit conductibilitatea sa este mai mare.

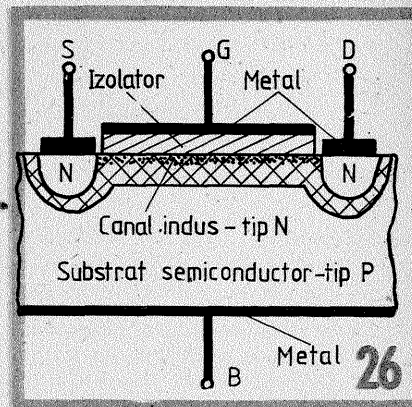
Dacă se aplică simultan tensiunile pozitive  $U_{GS}$  și  $U_{DS}$ , între sursă și drenă ia naștere un curent apreciabil prin canalul indus. Electronii de conducție sînt furnizați de regiunea sursei și sînt atrași de drenă sub acțiunea diferenței de potențial  $U_{DS}$ . Este ușor de înțeles că o tensiune  $U_{GS}$  negativă nu conduce la formarea canalului indus, deci nu convine pentru comanda dispozitivului descris (pentru  $U_{GS} \leq 0$ ,  $I_D = I_{DSS} \approx 0$ ).

În mod asemănător se poate analiza funcționarea unui MOS-FET cu canal indus de tip P (substrat de tip N), prin inversarea corespunzătoare a polarităților ( $U_{GS} \leq 0$ ,  $U_{DS} \leq 0$ ).

Caracteristicile de transfer și de ieșire pentru un tranzistor MOS-FET cu canal indus de tip N au forma arătată în figurile 27 și 28 (pentru canal P se inversează doar sensul curentilor și al tensiunilor). Observăm și aici (ca și la J-FET-uri) exis-

tența unei tensiuni  $U_{GS}$  de prag, notată  $U_p$ . Ea reprezintă valoarea tensiunii grilă-sursă de la care începe să treacă un curent  $I_D$  semnificativ prin canal. Prin urmare, spre deosebire de J-FET, MOS-FET-ul cu canal indus este blocat pentru  $U_{GS} < U_p$  și deschis pentru  $U_{GS} > U_p$ .

Caracteristicile de ieșire,  $I_D = f(U_{DS})$ , sînt asemănătoare cu cele ale J-FET-urilor, cu aceeași deosebire că valoarea curentului  $I_D$  crește cu creșterea lui  $U_{GS}$ . Astfel, caracte-



ristica de conducție maximă corespunde valorii maxime admisibile pentru  $U_{GS}$ , pe cînd la J-FET-uri ea corespunde valorii  $U_{GS} = 0$ .

Simbolurile frecvent utilizate pentru tranzistoarele MOS-FET cu canal indus sînt prezentate în figura 29. Observăm că poarta este simbolizată printr-o linie paralelă cu canalul, sugerînd particularitatea constructivă a MOS-FET-urilor („poarta

# TESTER

M. ALEXANDRU

Aparatul descris în continuare reprezintă un tester portabil pentru verificarea rapidă și sortarea sau împerecherea diodelor Zener de mică putere în funcție de tensiunea nominală.

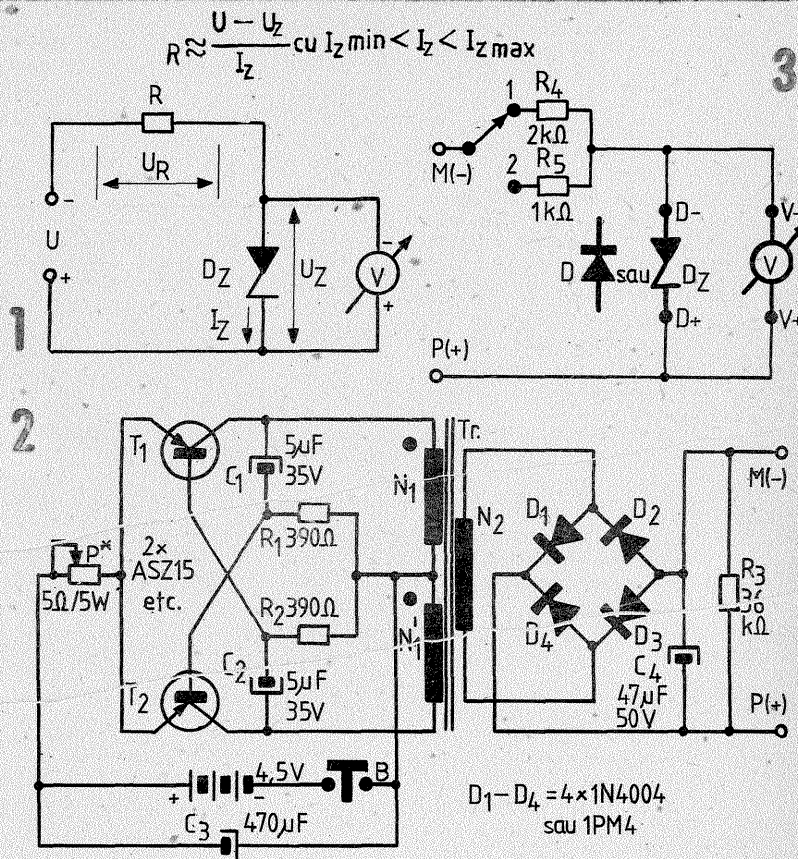
Se știe că amatorii folosesc frecvent diodele stabilizatoare din seria PL (1W), în special cele cu tensiunea nominală  $U_Z$  cuprinsă între 3,3 V și 24 V. Verificarea acestora nu constituie o problemă atunci cînd constructorul se află în laboratorul propriu. O sursă de tensiune continuă, fixă sau reglabilă (dar în orice caz mai mare cu cîțiva volți decît  $U_Z$ ), o rezistență de limitare calculată adecvat și un voltmetru c.c. sînt suficiente pentru efectuarea măsurătorilor, așa cum se reamintește în figura 1. Cu  $I_{Zmin}$  s-a notat curentul invers minim prin diodă la care se manifestă stabilizarea de tensiune, iar cu  $I_{Zmax}$  curentul invers maxim admis. Pentru diodele menționate se pot face măsurătorile cu un curent intermediar de 10—15 mA.

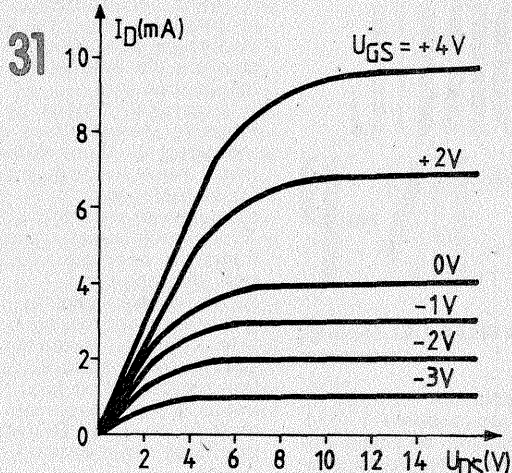
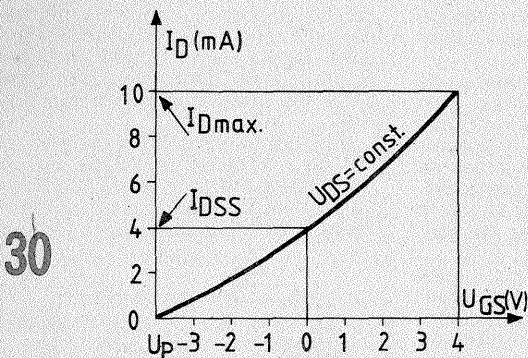
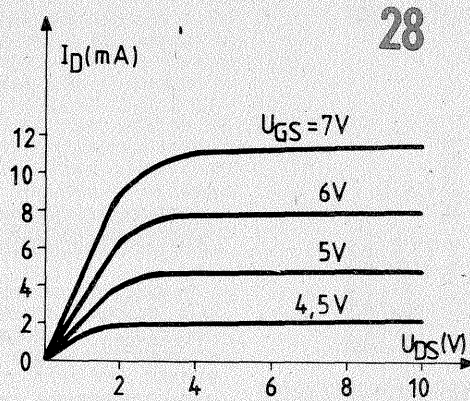
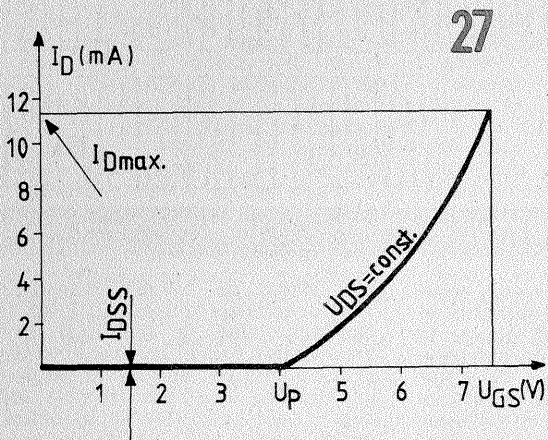
Dacă însă constructorul dorește să verifice sau să sorteze diodele în altă parte — de exemplu, chiar în magazinul din care le cumpără —, problema se complică, neexistînd sau neavînd acces la o priză de rețea

pentru racordarea alimentatorului. Soluția optimă în aceste cazuri o constituie realizarea unui convertizor alimentat de la baterii, care să dea o tensiune continuă de cca 30 V la un curent maxim de 15—25 mA. Schema propusă în figura 2 este tocmai un astfel de exemplu, într-o variantă destul de simplă.

Convertizorul este simetric, de tip multivibrator (circuit basculant astabil), lucrînd pe o frecvență de ordinul sutelor de hertzi, dată aproximativ de relația:  $f(\text{Hz}) = 1/2,2 \cdot R(\Omega) \cdot C(\text{F})$ , unde  $R=R_1 = R_2$  și  $C=C_1 = C_2$ . El se compune din tranzistoarele pereche  $T_1-T_2$  (pnp, cu germaniu, de putere sau medie putere), condensatoarele egale  $C_1-C_2$ , rezistențele egale  $R_1-R_2$  (care se aleg între 150  $\Omega$  și 1 k $\Omega$ , în funcție de factorul de amplificare al tranzistoarelor) și transformatorul Tr.

Alimentarea se face de la o baterie de 4,5 V (tip 3R12), de preferință prin intermediul unei rezistențe reglabile (P\*) de cca 5  $\Omega$  / 5 W, care permite ajustarea fină a tensiunii de ieșire la 30 V, compensînd variația în timp a tensiunii la bornele bateriei. Consumul montajului fiind apreciabil (sute de miliamperi), se recomandă ca întrerupătorul de





izolată"), iar săgeata este afectată terminalului bază, indicând tipul canalului, după aceeași convenție ca la J-FET-uri. Canalul este figurat printr-o linie groasă întreruptă, sugerând astfel faptul că el nu există inițial, ci este indus prin aplicarea tensiunii  $U_{GS}$ . În fine, mai observăm că s-au indicat două variante de reprezentare, după cum terminalul bază este conectat interior la sursă sau nu.

**Tranzistoarele MOS-FET cu canal inițial** au structura asemănătoare cu a celor cu canal indus, cu deosebire că aici canalul există chiar și în absența tensiunii de comandă grilă-sursă. Altfel spus, pentru  $U_{GS} = 0$ , curentul prin tranzistor (notat  $I_{DSS}$ ) nu este nici nul (ca la MOS-FET-urile cu canal indus), nici maxim (ca la J-FET-uri), ci are o valoare intermediară (de ordinul miliamperei, pentru modelele de mică putere). Tensiunea de comandă,  $U_{GS}$ ,

poate lua atât valori pozitive, cât și valori negative, pentru ambele tipuri de canal (N sau P). De exemplu, fie un MOS-FET cu canal inițial de tip N, cărui îi aplicăm o tensiune  $U_{GS}$  pozitivă. Fenomenele care se petrec sînt cele descrise la MOS-FET-ul cu canal indus, deci în final curentul  $I_D$  crește cu creșterea tensiunii pozitive  $U_{GS}$ . Pentru tensiuni de comandă negative ( $U_{GS} < 0$ ), efectele cîmpului din izolator sînt în sensul blocării canalului; prin urmare, curentul de drenă scade cu creșterea în modul a tensiunii  $U_{GS}$  (comportare asemănătoare cu a J-FET-urilor).

Forma caracteristicilor de transfer și de ieșire pentru un MOS-FET cu canal inițial este indicată în figurile 30 și 31, iar simbolurile frecvent utilizate sînt arătate în figura 32. De

data aceasta canalul se reprezintă printr-o linie groasă continuă, sugerînd faptul că el există inițial.

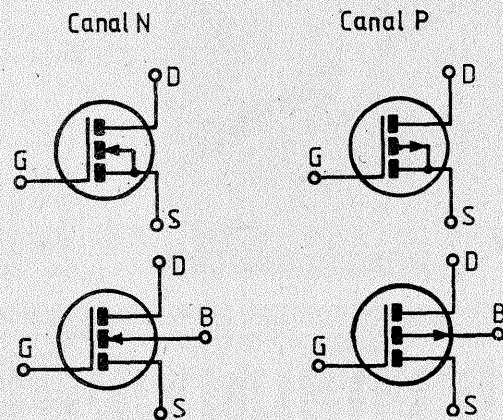
În literatura de specialitate, tranzistoarele MOS-FET cu canal inițial sînt frecvent înțelinite sub numele de **depletion MOS-FET**, iar cele cu canal indus sub denumirea de **enhancement MOS-FET** (de la termenii corespunzători în limba engleză, semnificînd golire, epuizare, respectiv sporire, intensificare).

Clasificarea tranzistoarelor cu efect de cîmp ar putea continua din punct de vedere al protecției la intrare, al frecvenței maxime de lucru,

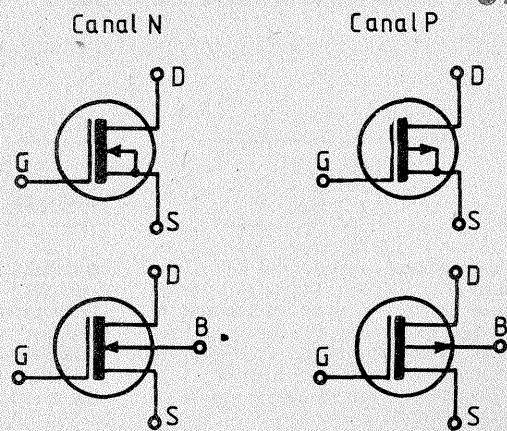
al puterii de disipație etc. Există FET-uri cu poartă dublă, FET-uri autoprotejate împotriva tensiunilor excesive de intrare, FET-uri duble în capsulă unică etc.

Ne vom opri însă aici cu prezentarea teoretică, al cărei scop propus a fost doar de inițiere în problemă, urmînd ca o parte din aspectele practice legate de funcționarea, caracteristicile și modul de utilizare a tranzistorului cu efect de cîmp să fie abordate în continuare în grupajul de materiale intitulat „Aplicații-FET”.

MOS-FET cu canal indus



MOS-FET cu canal inițial



## APLICAȚII FET

(URMARE DIN NR. TRECUT)

Valoarea maximă a tensiunii de alimentare rezultă din condițiile simultane:  $U_{DS} \leq U_{DSmax} = 30 \text{ V}$  și  $U_{DS} \cdot I_D \leq P_{tot} = 300 \text{ mW}$ . A doua condiție este satisfăcută evident, căci pentru  $U_{DS} = 30 \text{ V}$  și  $I_D = 5 \text{ mA}$  tranzistorul lucrează abia la jumătate din puterea maximă de disipație. Din prima condiție deducem:  $U_{max} = U_{DSmax} + |U_{GS}| + U_c \approx 34,8 \text{ V}$ . Pentru și mai multă siguranță putem restrînge plaja lui  $U$  la intervalul  $10 \text{ V} - 32 \text{ V}$ .

Compensarea aproximațiilor făcute în calcule și la determinările experimentale se realizează cel mai comod înlocuind rezistența fixă  $R_S$  printr-un trimer de  $1 \text{ k}\Omega$ , dat inițial la valoarea maximă înseriată (fig. 13) sau — și mai bine — printr-o rezistență mai mică ( $100 - 300 \Omega$ ) în serie cu un trimer de  $1 \text{ k}\Omega$  (fig. 14). Aceste variante cu posibilitate de reglaj (cel puțin în faza experimentală) permit să se țină cont de împrăștierea de fabricație a parameților, nemaifiind astfel absolut necesară determinarea mărimilor  $I_{DSS}$  și  $U_p$ .

În încheiere, menționăm că sursele de curent constant sînt deseori înțelinite nu ca montaje de sine

stătătoare, ci mai ales ca părți componente ale unor circuite electronice mai complexe. Ele servesc la stabilizarea curentului prin diodele Zener (ca în fig. 15), la stabilizarea curentilor prin alte tranzistoare din circuit etc.

În numeroase scheme de amplificatoare, atenuatoare, oscilatoare, filtre etc. înțelnim tot mai frecvent tranzistoare cu efect de cîmp utilizate ca **rezistențe variabile comandate prin tensiune**. Despre această aplicație tipică a FET-urilor ne propunem să tratăm în continuare, cunoașterea ei contribuind la o mai bună înțelegere a schemelor electronice moderne și, în primul rînd, la familiarizarea mai rapidă a constructorilor începători cu particularitățile funcționale ale FET-urilor.

După cum am văzut, FET-ul (indiferent dacă este cu grilă jonțiune sau cu grilă izolată) nu are jonțiuni semiconductoare înseriate pe calea curentului principal sursă-drenă; canalul său se comportă ca o rezistență electrică mai mare sau mai mică, în funcție de valorile tensiunilor  $U_{DS}$  și  $U_{GS}$  aplicate terminalelor.

(CONTINUARE ÎN NR. VIITOR)

alimentare să fie de tip buton cu revenire (B), pe care se apasă numai atîta timp cît se fac măsurători.

Piesa cea mai delicată o constituie, ca de obicei, transformatorul. Autorial a optat pentru miez din tole de fier, utilizînd un transformator de la difuzoarele de radioficare (secțiunea miezului de cca  $1,5 \text{ cm}^2$ ). Primarul  $N_1 + N_2$  conține  $2 \times 22$  de spire CuEm  $0,55 \text{ mm}$ , înfășurate în același sens (cu priză mediană), iar secundarul  $N_3$  are cca 200 de spire CuEm  $0,25 \text{ mm}$ . Primarul se bobinează peste secundar, cu izolație corespunzătoare.

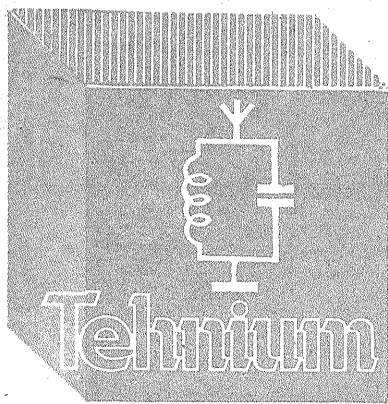
Tensiunea alternativă obținută în secundar este redresată de puntea  $D_1 - D_4$ , care poate fi monolitică (1PM4—1PM8) sau realizată cu patru diode de tip 1N4004—1N4007, F307 etc. Condensatorul  $C_4$  ( $20 - 100 \mu\text{F}$  la minimum  $40 \text{ V}$ ) asigură filtrarea tensiunii continue, iar rezistența  $R_3$  constituie o sarcină permanentă de cca  $1 \text{ mA}$ , pentru a se evita funcționarea convertizorului în gol.

În concluzie, convertizorul descris poate debita un curent maxim de cca  $25 \text{ mA}$  la tensiunea de  $30 \text{ V}$ , deci se pretează bine scopului propus. Desigur, rezultatele ar fi fost mai bune (în special randamentul, care aici este de cca 50%) dacă s-ar fi utilizat un miez de calitate superioară (tablă de fier-siliciu, permal-

loy, ferite). S-a optat însă pentru această variantă, care este mai la îndemina constructorilor începători.

De la convertizor de testerul anunțat nu mai rămîne decît să completăm schema cu una sau mai multe rezistențe de limitare, cu două borne pentru conectarea diodelor de verificat și încă două borne pentru racordarea voltmetrului, așa cum se arată în figura 3. Diodele Zener cu tensiunea nominală sub  $12 \text{ V}$  se testează cu comutatorul K în poziția 1, iar cele cu  $U_Z$  între  $12 \text{ V}$  și  $24 \text{ V}$  cu K în poziția 2. Dacă dioda are marcajul șters și nu cunoaștem nici tensiunea nominală, nici polaritatea, verificarea se face mai întii cu K în poziția 1 și cu voltmetrul pus pe  $30 \text{ V}$ .

Modul de lucru concret rezultă din cele descrise și nu vom insista asupra lui. Menționăm doar, în încheiere, faptul că testerul permite și verificarea (respectiv împerecherea după căderea de tensiune directă) a diodelor redresoare de mică putere. Evident, acestea se vor conecta „direct” (cu anodul la plus și catodul la minus), deci „invers” în raport cu diodele Zener. Comutatorul va fi în poziția 1 (cca  $15 \text{ mA}$  prin diodă), iar instrumentul va fi pus pe  $1 - 1,2 \text{ Vcc}$ , dar numai după ce ne-am asigurat că dioda nu este străpunsă sau conectată greșit.



Tehnium

CQ-YO

# CONSTRUCȚIA ANTENELOR

(URMARE DIN NUMĂRUL TRECUT)

## RADIORECEPTORUL US-P

Ing. DUMITRU MĂLIŢĂ, YO6BGT

Ca urmare a articolului din „Tehnium” nr. 10/1977, am primit numeroase scrisori de la radioamatorii din țară prin care am fost rugat a-i ajuta prin trimiterea schemei de principiu a aparatului US-P.

Receptorul are 5 game de frecvențe între 175 kHz și 12 MHz, împărțite după cum urmează: 175 — 350 kHz; 375 — 875 kHz; 900 — 2 150 kHz; 2 125 — 5 000 kHz; 5 — 12 MHz.

Pentru găsirea frecvenței pe scala aparatului se înmulțește cifra gradăției cu 25 și rezultă frecvența în kHz. De exemplu, pe gama 5, înmulțind cifra de pe scală cu 25, obținem  $280 \times 25 = 7\ 000$  kHz (capătul inferior al benzii de 7 MHz). Capătul superior se găsește pe aparat la gradăția  $7\ 100 : 25 = 284$ .

Cu ajutorul aparatului se pot recepționa benzile de 3,5 și 7 MHz; în viitor se vor mai putea recepționa încă două game de frecvență ce urmează a fi repartizate radioamatorilor.

Sensibilitatea receptorului este de  $1-4 \mu\text{V}$  în telegrafie și  $2-10 \mu\text{V}$  în telefonie. Recomandăm înlocuirea

coloanei cu seleniu din redresor cu 4 diode F 407 sau o punte 1 PM4. De asemenea, filtrajul se poate îmbunătăți prin introducerea unui condensator electrolitic de  $2 \times 100 \mu\text{F}/350 \text{ V}$ . În această situație, tensiunea anodică crește de la 220 V la 300 V, lucru ce deranjează oscilatorul, care, neavând rezistență anodică, intră în regim de suprasarcină. Există două soluții: introducerea unei rezistențe de  $20 \text{ k}\Omega/0,5 \text{ W}$  în circuitul anodic sau a unei rezistențe de  $3-5 \text{ k}\Omega/5 \text{ W}$  în redresor pentru coborârea tensiunii de alimentare la 200—220 V c.c.

Cu ajutorul unui convertor cu două lămpi executat pe rotatorul de la televizorul „Temp” 6 am reușit să recepționez toate benzile de radioamatori, transpunând în 10,7 MHz în gama a 5-a a receptorului și transformând ansamblul convertor US-P într-un receptor cu dublă conversie. Se recomandă folosirea după receptor a unui amplificator audio de medie putere, cu reglaj de ton și bandă de trecere, care dă posibilitatea audierii mai comode în difuzor.

În cele ce urmează ne vom referi la o problemă foarte importantă în construcția antenelor, și anume la deparazitarea acestora. În condițiile actuale, un mare număr de surse perturbatoare din punct de vedere radio influențează negativ calitatea recepției, atât în mediul urban, cât și în mediul rural. Împotriva acestor perturbații sînt necesare construcții speciale ale antenelor și ale fiderelelor de coborîre.

În general, antena se ferește de influența perturbațiilor directe prin montarea ei la o înălțime cât mai mare. Acest lucru nu este însă posibil în toate cazurile și de aceea se utilizează unele artificii constructive. Toate datele care urmează se referă numai la antenele utilizate în scopuri de recepție.

Una dintre soluțiile simple este prevederea antenei cu o contragreutate. Pentru antenele verticale, aceasta se realizează cu o rețea de fire dispusă radial față de baza pilonului, sudate pe un inel din același material cu firele. De regulă, contragreutatea se realizează din fire de

oțel zincat de 2-4 mm diametru. Pentru antenele liniare (L, T etc.), contragreutatea se realizează din fire dispuse paralel cu firele antenei, la o distanță pe verticală de cel puțin 3 m față de acesta. În toate cazurile, contragreutatea se va utiliza numai pentru antenele situate deasupra construcțiilor, eficacitatea ei nefiind importantă pentru antenele degajate. Fac excepție antenele speciale pentru unde scurte și ultrascurte, unde contragreutatea face parte din însăși construcția funcțională.

Prin contragreutate se asigură o reducere a perturbațiilor ce provin din rețelele electrice aflate sub nivelul antenei. Contragreutatea se realizează izolat de acoperiș prin legarea

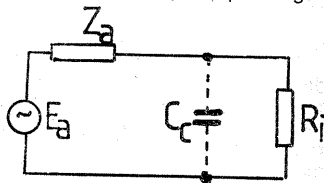


Figura 1

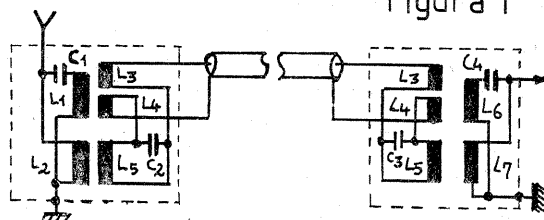


Figura 2

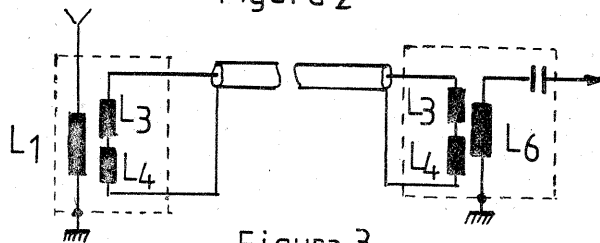
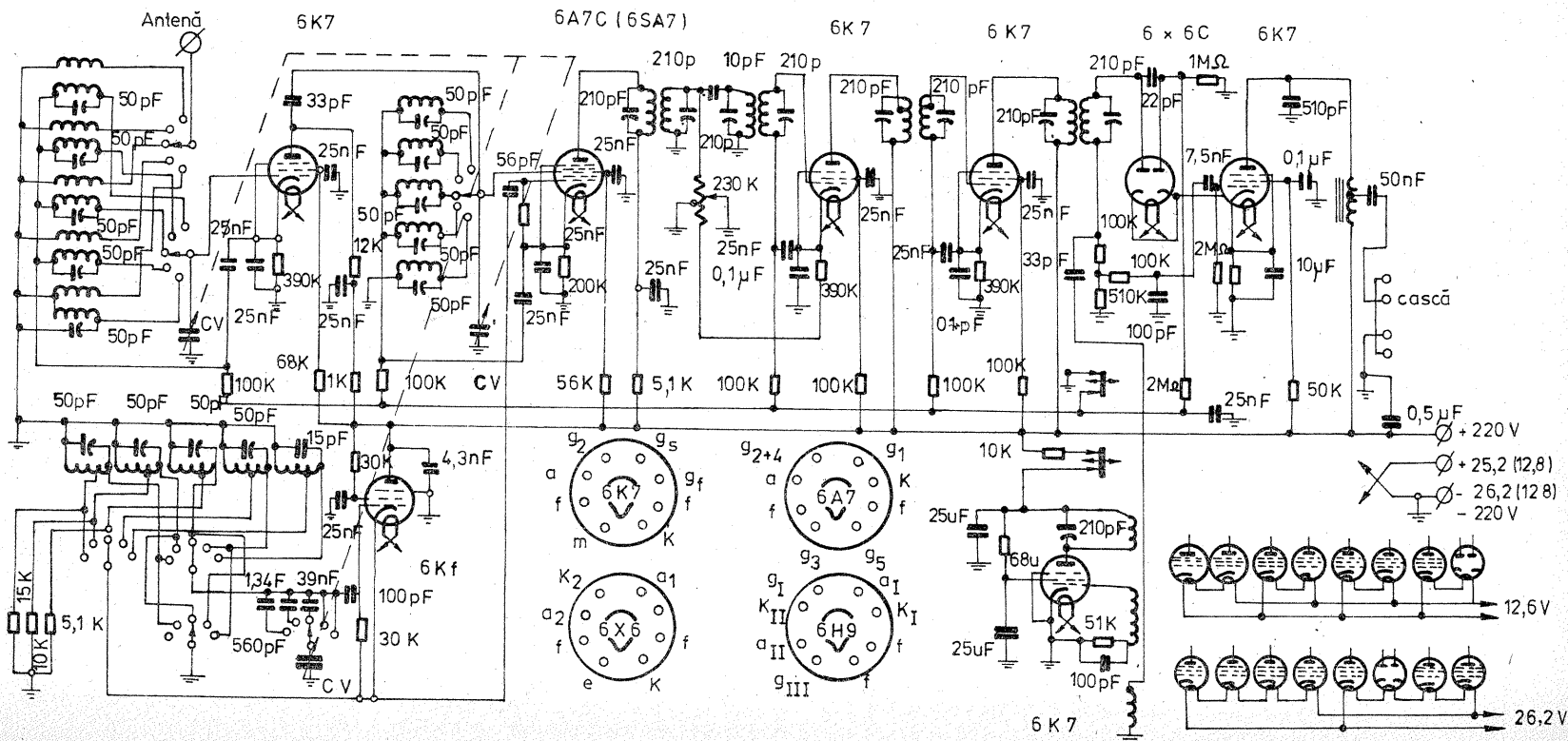


Figura 3



firelor cu izolatoare din sticlă sau porțelan. În cazul în care coborrea este scurtă și neperturbată, contra-reutarea se leagă la borna de pământ a receptorului cu un conductor distinct, coborît separat față de conductorul antenei. În practică, această variantă nu se utilizează, deoarece implică neadaptarea în impedanță și pierderea de semnal util. O soluție simplă este și conectarea antenei cu un cablu coaxial; în acest caz blindajul se leagă la contra-reutate și firul activ la antenă. Principiul neajuns al acestui mod de conectare este atenuarea importantă pe care o introduce cablul coaxial. În figura 1 este prezentată schema echivalentă. Ea este tensiunea electromotoare indusă în antenă, iar  $Z_a$  impedanța echivalentă a antenei. Observăm că prin capacitatea  $C_c$  a cablului se obține un divizor de tensiune. Pentru a avea un minim de atenuare a semnalului util, trebuie ca impedanța antenei, înseriată circuitului de coborîre, să fie cît mai mică. De aceea, pentru a putea utiliza cablurile uzuale, este necesară montarea fiderului de coborîre între două transformatoare de înaltă frecvență cu rol de adaptare în impedanță. Transformatorul antenei este coborîtor de impedanță, iar cel final ridicător.

În practică un mare număr de radioamatori utilizează o singură antenă pentru toate benzile recepționate (UL, UM, US). În acest caz transformatoarele au o construcție mai sofisticată, datorată benzii mari de trecere necesare. În figura 2 este prezentată schema unui asemenea cuplaj. Capacitățile din schemă sînt următoarele:  $C_1 - 220$  pF,  $C_2, C_3 - 180$  pF,  $C_4 - 100$  pF. La frecvențele înalte, capacitatea  $C_2$  șuntează bobina  $L_5$ , lăsînd în circuit numai bobinele  $L_3$  și  $L_4$ . De asemenea, inductanța bobinei  $L_2$  este cu mult mai mare față de impedanța brațului paralel format de  $C_1$  și  $L_1$  și, deci,

se poate neglija. Am obținut astfel schema din figura 3, echivalentă în frecvențe înalte. Schema pentru frecvențele joase este prezentată în figura 4. Datorită lui  $C_1$ , brațul  $C_1 - L_1$  are impedanța mare față de  $L_2$ , iar  $L_3$  și  $L_4$  sînt prea mici față de reactanța lui  $L_5$ .  $C_2$  are o impedanță mare în acest domeniu de frecvențe și se neglijează.

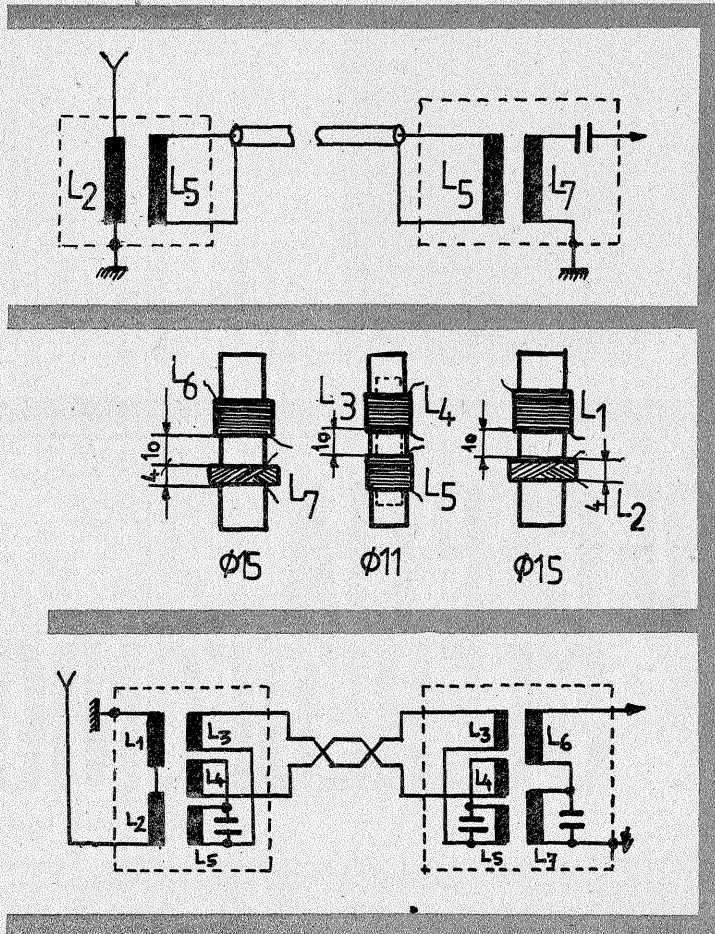
Construcția practică a circuitului are următoarele valori pentru bobine:  $L_1, L_3, L_4 - 10$  spire,  $L_2 - 200$  de spire,  $L_5 - 100$  de spire,  $L_6 - 16$  spire,  $L_7 - 150$  de spire. Toate bobinele se realizează cu fir de  $0,13$  mm diametru, izolat cu email.

În figura 5 se arată modul practic de bobinare. Bobinele din circuitul cablului de legătură ( $L_3, L_4$  și  $L_5$ ) se execută pe o carcasă cu un diametru de  $11$  mm, astfel încît să poată fi introdusă în carcasa care conține bobinele din circuitul de intrare și respectiv de ieșire. Cu excepția bobinelor  $L_2$  și  $L_7$ , care se execută în fagure, celelalte bobine se execută spiră lîngă spiră.

În interiorul carcasei de  $11$  mm diametru se fixează un miez de fier — carbonil cu diametrul de  $9$  mm și lungimea de  $20$  mm.

Între cele două carcase se introduce un ecran electrostatic, realizat dintr-o folie de staniol izolată, rulată astfel ca să nu se formeze o buclă închisă. Ecranul se leagă la masă. La capetele carcaselor de  $15$  mm diametru se montează prin lipire două șaibe din plastic sau carton care permit montarea unui ecran obținut din tubul unui condensator electrolitic defect.

Deoarece cablul coaxial este în general mai scump, în figura 6 este prezentată varianta de conectare pentru o coborîre cu fir simetric. Datele bobinelor sînt aceleași cu cele de mai sus, valorile condensatoarelor fiind:  $C_1, C_2 - 50 - 100$  pF,  $C_3 - 100$  pF. Cablul de co-



borire se realizează în acest caz fie cu panglică, fie din conductoare izolate în PVC care se împletesc între ele.

Modul de funcționare este simplu. Perturbația acționează asupra ambelor fire ale coborîrii în mod egal,

curenții perturbatori anulîndu-se ca efect în transformatorul final. Semnalul util trece neschimbat prin transformatoare.

Este evident că schemele de mai sus nu se pot utiliza în cazul în care aceeași antenă servește și la emisie.

# METODĂ DE MĂSURARE A PUTERII RF

Foarte des radioamatorii se lovesc de dificultatea de a cunoaște puterea de ieșire a etajului final în wați; puterea input nu poate să dea în cifre puterea de ieșire efectivă din cauza randamentului, care diferă de la caz la caz, funcție de elementul folosit în etajul final. Se cuvine să reamintim prevederile Regulamentului de radiocomunicații privind activitatea radioamatorilor din R.S.R., capitolul 5, articolul 39, tabelul A, anexa 1, care precizează puterea disipată de anodul (anozii) tuburilor finale, funcție de clasa de autorizare a stației respective, care trebuie să fie respectate cu mare strictețe de către fiecare radioamator.

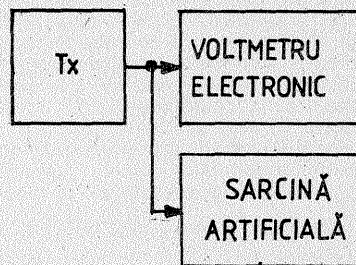
Metoda de măsură și calcul al puterii de ieșire de radiofrecvență este foarte simplă, fiind la dispoziția fiecărui radioamator, chiar și a celor ce nu dispun de wattmetre indus-

triale (este suficient să utilizeze un voltmetru electronic, ca de exemplu tipul I.E.M.I. — București — „Voltmetru electronic universal”, E-0401).

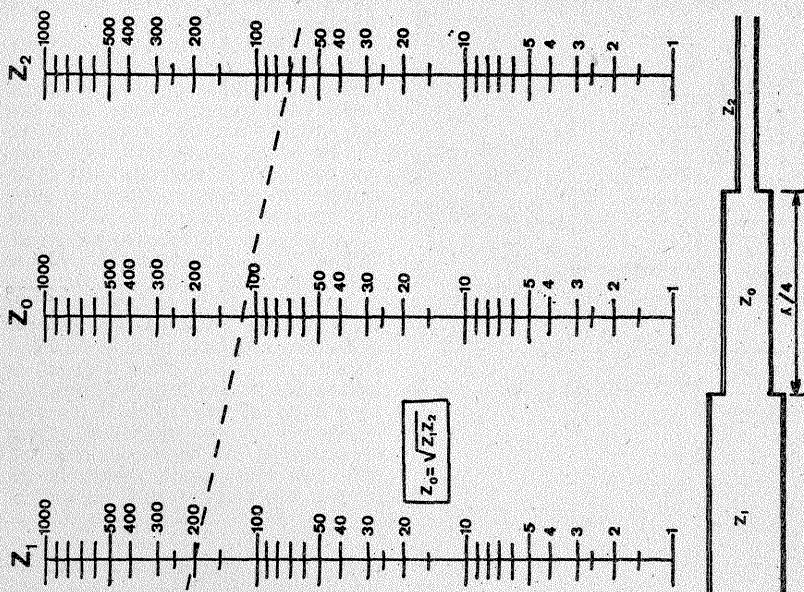
Formula este următoarea:  $P(\text{wați}) = U^2/R$ , unde avem  $U =$  tensiunea de radiofrecvență, măsurată cu voltmetrul electronic;  $R =$  rezistența de sarcină în ohmi, care poate fi  $50 U_{DS}$ ,  $52 \Omega$ ,  $75 \Omega$ , în funcție de cablurile utilizate la antena proprie, mai corect spus, de impedanța acestor cabluri pentru care se pregătește TX-ul respectiv.

Se recomandă ca puterea ce poate fi dispersată de sarcina artificială să fie mai mare sau aproximativ egală cu puterea ce se estimează a se obține din etajul final supus măsurătorii.

De exemplu, pentru  $R = 50 \Omega$  și  $U = 10$  V rezultă  $P = 2$  W; dacă  $R = 75 \Omega$  și  $U$  este tot  $10$  V,  $P = 1,33$  W.



SANDU VISARION, YO6MD



## Linii $\lambda/4$

Adaptarea de impedanțe între două linii de transmisie se face printr-un tronson  $\lambda/4$ , a cărui impedanță caracteristică  $Z_0$  derivă din impedanțele celorlalte două linii  $Z_0 = \sqrt{Z_1 \cdot Z_2}$ .

De exemplu, un fider de  $300 \Omega$  alimentează o antenă cu impedanța de  $75 \Omega$ . Linia  $\lambda/4$  va avea deci impedanța  $Z_0 = \sqrt{300 \cdot 75} = 150 \Omega$ .

Spre comoditatea efectuării unor adaptări de impedanțe, prezentăm radioamatorilor un abac din care se poate determina grafic impedanța  $Z_0$ .

### Nol frecvențe pentru radioamatori (După IARU Reg. 1)

- 10 100-10 140 kHz CW
- 10 140-10 150 kHz CW/RTTY
- 18 068-18 100 kHz CW
- 18 100-18 110 kHz CW/RTTY
- 18 110-18 168 kHz CW/PHONE
- 24 890-24 920 kHz CW
- 24 920-24 930 kHz CW/RTTY
- 24 930-24 990 kHz CW/PHONE

Pe cînd și YO în aceste frecvențe?

# RECEPTIA STEREOFONICĂ

Ing. EMIL MARIAN

Decodorul stereo reprezintă una din părțile cele mai importante care intră în componența unui radioreceptor stereofonic. Performanțele etajului decodor impun calitatea programului stereo recepționat, și pentru obținerea unor performanțe superioare se impune acordarea unei atenții deosebite la proiectarea și executarea practică a decodorului. În majoritatea cazurilor, decodorul se utilizează în radioreceptoarele stereofonice capabile să recepționeze semnal cu modulație de frecvență datorită bunelor performanțe în ceea ce privește banda de frecvențe recepționată. Un astfel de sistem capabil de captarea unui spectru de frecvențe cuprins între 30 Hz și 15 kHz justifică recepția stereofonică a semnalului pentru obținerea în final a unei audiții HI-FI. În schema-bloc a radioreceptorului, decodorul se află amplasat între ieșirea blocului demodulator și intrarea blocului amplificator stereo. Semnalul codificat, care sosește de la blocul

demodulator și care conține informația simultană a celor două semnale audio, se numește semnal stereo multiplex. Pentru recepționarea simultană a celor două semnale audio, și anume semnalul stînga, L, și semnalul dreapta, R, blocul decodor realizează decodificarea semnalului stereo multiplex. Pentru a înțelege modul de funcționare a decodorului este necesar să cunoaștem structura semnalului stereo multiplex, deci, implicit, modul în care sînt emise cele două semnale, L și R. Din motive de compatibilitate a receptoarelor stereofonice cu cele monofonice, se emit de fapt suma și diferența celor două semnale, prelucrate în felul următor:

$$- \text{semnalul sumă, } M = \frac{L + R}{2} \text{ și}$$

$$- \text{semnalul diferență, } S = \frac{L - R}{2},$$

care modulează în amplitudine o subpurtaoară de frecvență  $f_s = 38 \text{ kHz}$ .

În acest fel, spectrul semnalului diferență este traslatat, la un nivel ultrasonor, cu frecvența  $f_s$ . Expresia semnalului diferență traslatat cu subpurtaoara suprimată este  $S^x = S \sin \omega_s t$ .

Semnalul multiplex mai conține o componentă, și anume un semnal pilot, emis pe o frecvență egală cu jumătate din frecvența subpurtaoarei:  $f_p = f_s / 2 = 19 \text{ kHz}$ . Acest semnal pilot este necesar pentru refacerea corectă a fază a subpurtaoarei suprimate. Deci semnalul care modulează în frecvență purtaoara de înaltă frecvență are expresia:

$$U = M + S \sin \omega_s t + P \sin \left( \frac{\omega_s t}{2} \right)$$

Acest semnal este regăsit la ieșirea blocului demodulator. De aici rezultă funcțiunile etajului decodor stereo

- selectarea semnalului pilot din semnalul multiplex;
- refacerea subpurtaoarei suprimate folosind semnalul pilot;
- demodularea semnalului diferență  $S^x$  folosind purtaoara refăcută;
- separarea celor două canale, L și R.

Radioreceptorul trebuie să fie capabil de a recepționa și emisiunile monofonice, deci etajul decodor trebuie să permită trecerea unui semnal monofonic. Rezultă următoarele funcțiuni suplimentare:

- comutarea automată în poziția de lucru mono sau stereo;
- semnalizarea prezenței semnalului stereo.

Pentru realizarea practică a deco-

dorului propun utilizarea circuitului integrat BA758, fabricat în țara noastră. Acest integrat oferă decodorului următoarele avantaje:

- circuitul este specializat pentru funcția de decodor;
- selecția semnalului pilot și refacerea subpurtaoarei se realizează cu circuite PLL, sistem care oferă o mare stabilitate decodorului;
- nu se folosesc circuite acordate în componența cărora intră bobine, care prezintă variații în timp ale acordului;
- simplitatea schemei de montaj și a reglajelor;
- gabaritul redus și costul relativ mic al decodorului.

În figura 1 este prezentată schema bloc a circuitului BA758.

Să analizăm modul de lucru al blocurilor funcționale. Refacerea subpurtaoarei se realizează de către un circuit PLL, care se calează pe un multiplu al frecvenței semnalului pilot. În acest fel se obține o subpurtaoară refăcută într-o relație de fază constantă față de semnalul pilot. Circuitul PLL se compune din următoarele părți:

- oscilatorul comandat în tensiune, OCT, cu frecvența de oscilație în jurul frecvenței de 76 kHz;
- divizoarele de frecvență  $D_1$ ,  $D_2$ , după care se obține (la ieșirea lui  $D_1$ ) frecvența de 19 kHz. Semnalul de la ieșirea lui  $D_2$  este în cuadratură de fază cu semnalul pilot, iar semnalul de 38 kHz de la ieșirea lui  $D_1$  este în fază cu semnalul pilot. Aceste relații de fază sînt absolut necesare pentru decodificarea semnalului multiplex;

- detectorul sensibil la fază, DSF, la intrările căruia se aplică semnalul de 19 kHz și semnalul multiplex prin intermediul condensatorului de cuplaj și al amplificatorului operațional A. La ieșirea DSF rezultă o componentă continuă, proporțională cu defazajul dintre semnalul pilot și semnalul de 19 kHz rezultat la ieșirea OCT. Această componentă se filtrează și apoi se aplică la intrarea de comandă a OCT. Astfel se modifică frecvența OCT în sensul reducerii permanente a erorii de fază. În final OCT se calează pe frecvența semnalului pilot.

Comutatorul mono-stereo realizează întreruperea funcționării decodorului în lipsa semnalului stereo sau cînd semnalul stereo este mai mic decît o anumită valoare (valoarea de prag). Acest lucru este necesar deoarece la semnale mici decodorul înrăutățește raportul semnal-zgomot și nu trebuie să lucreze.

La intrările detectorului de amplitudine (DA) a semnalului pilot se aplică semnalul multiplex amplificat și un semnal de 19 kHz preluat de la divizorul de frecvență  $D_3$ , semnal în fază cu semnalul pilot atunci cînd circuitul PLL este pilot. Rezultă la ieșirea DA o componentă continuă, care după un filtru trece-jos este aplicată la intrarea triggerului T. Cînd componenta de tensiune continuă este mai mare decît tensiunea de prag a triggerului, acesta comută și

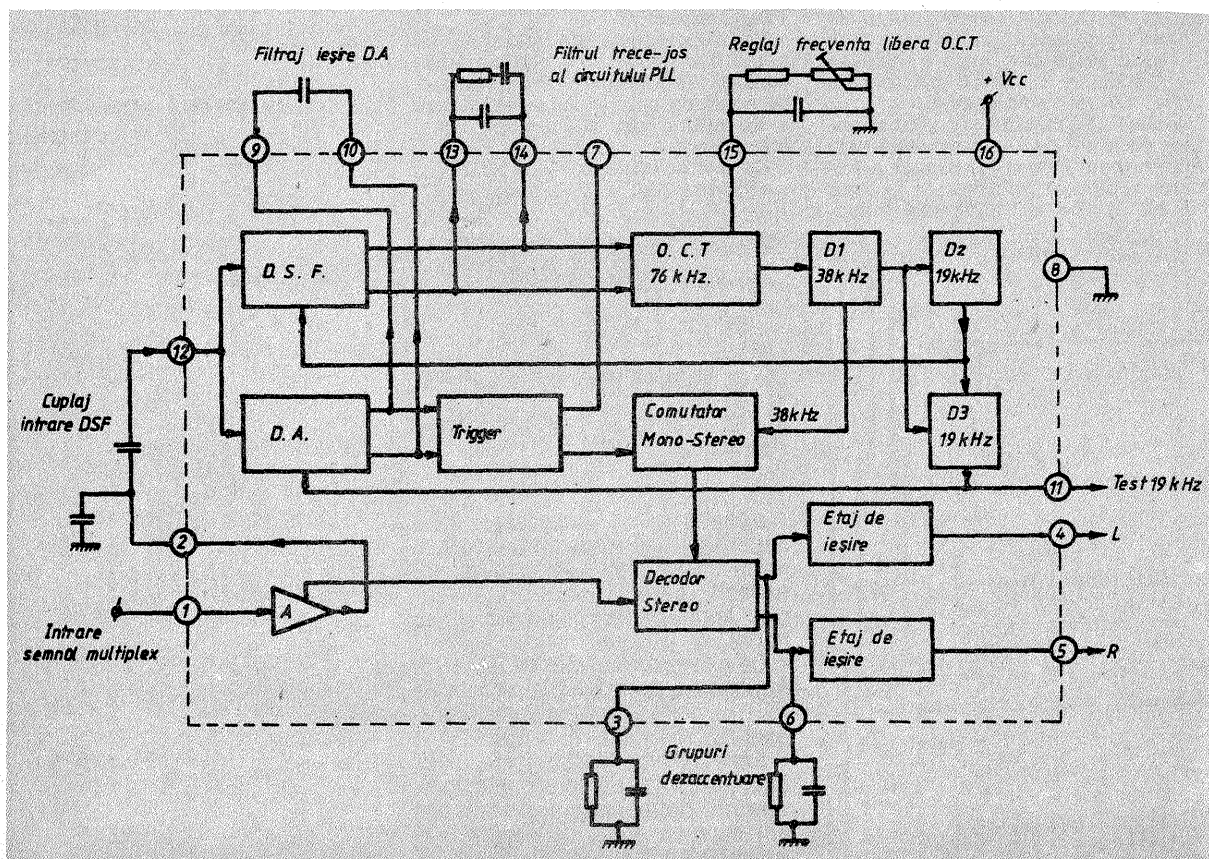
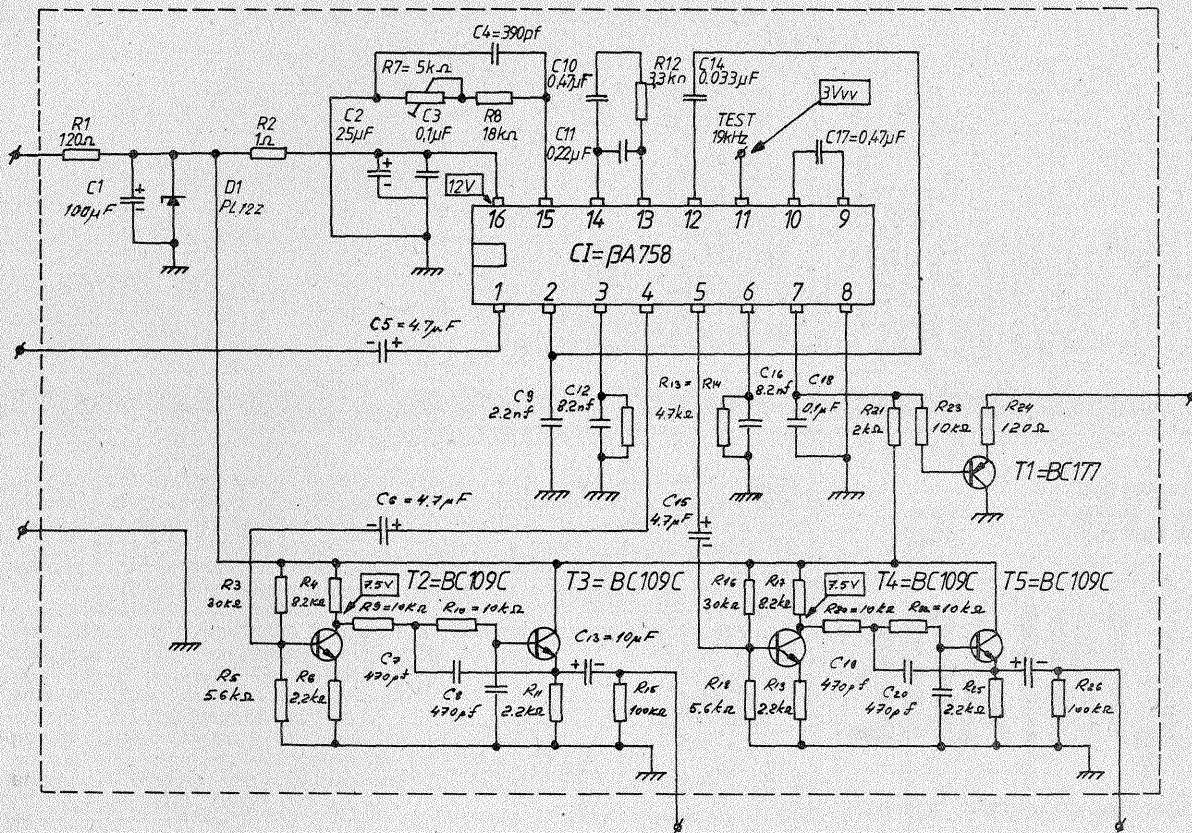


Fig. 1. - Schema bloc a circuitului integrat BA758





Etajele de ieșire pentru cele două semnale, L și R, sînt identice în ceea ce privește configurația. Un etaj de ieșire include două tranzistoare. Primul tranzistor ( $T_2$  sau  $T_4$ ) are rolul de amplificare a semnalului cu cca 10 dB. Ulterior semnalul se aplică unui filtru activ care conține al doilea tranzistor și care are rolul de a realiza rejecția totală a benzii de frecvență superioară limitei de 18 kHz. Concomitent tranzistorul al doilea ( $T_3$  sau  $T_5$ ) oferă etajelor de ieșire avantajul unei impedanțe de ieșire convenabile pentru cuplajul cu etajul de intrare al amplificatorului de putere stereo. Tranzistorul  $T_1$  realizează un etaj tampon între ieșirea triggerului, care confirmă prezența semnalului stereo, ieșire aflată pe terminalul 7 al circuitului integrat, și LED-ul (becul) alimentat la o tensiune convenabilă.

Montajul se realizează practic pe o placă de circuit imprimat. O variantă de cablaj imprimat care a dat rezultate bune este prezentată în figura 3, iar modul de aranjare a componentelor este arătat în figura 4. S-au folosit rezistențe cu peliculă metalică, condensatoare cu tantal, iar pentru circuitul PLL se recomandă folosirea condensatoarelor cu mică. Componentele vor fi în

Fig. 2. - Schema electrică a de-codorului

comandă comutatorul mono-stereo pe poziția stereo. Astfel se permite trecerea subpurtătoarei refăcută spre demodulatorul stereo și, în același timp, comutatorul comandă aprinderea unui eventual LED, conectat din exterior pe terminalul 7 al circuitului integrat, pentru semnalierea prezenței semnalului stereo. Nivelurile de comutație a triggerului sînt:  $U_p \text{ IN} = 15 \text{ mV}$  și  $U_p \text{ OUT} = 7 \text{ mV}$ . Existența unui histerezis de 8 mV este necesară pentru ca decodorul să lucreze corect, fără întreruperi ale recepției stereofonice atunci cînd nivelul semnalului multiplex (deci și nivelul semnalului pilot) scade sub valoarea  $U_p \text{ IN}$ .

Decodorul stereo propriu-zis reprezintă un multiplicator cu transconductanță variabilă. La intrarea decodorului se aplică semnalul multiplex și subpurtătoarea refăcută, sincronizată după semnalul pilot. La ieșirea decodorului se obțin cele două semnale, L și R. În cazul recepției monofonice, decodorul se

comportă ca un etaj amplificator, iar semnalul de intrare se transmite la ambele ieșiri amplificate cu  $a \approx 1$ .

Schema electrică a blocului decodor stereo este prezentată în figura 2. Montajul se alimentează de la o tensiune continuă de 15 V. Stabilizarea tensiunii de alimentare a montajului este realizată de grupul  $R_1, C_1, D_1$ , obținîndu-se 12 V. Pentru filtrajul suplimentar al tensiunii de alimentare a circuitului integrat se folosește grupul  $R_2, C_2, C_3$ . Singurul reglaj necesar al montajului constă în cel al frecvenței OCT, realizat cu ajutorul potențiometrului  $R_7$ . Reglajul se face astfel ca să obținem la terminalul 11 al circuitului integrat o tensiune alternativă cu frecvența de 19 kHz. Forma de undă a semnalului de 19 kHz testat va fi dreptunghiulară, de amplitudine 3 V, cu un factor de umplere 1/2. Cele două semnale, L și R, preluate de la terminalele 4 și 5 ale circuitului integrat, se aplică etajelor de ieșire în bazele tranzistoarelor  $T_2$  și  $T_4$ .

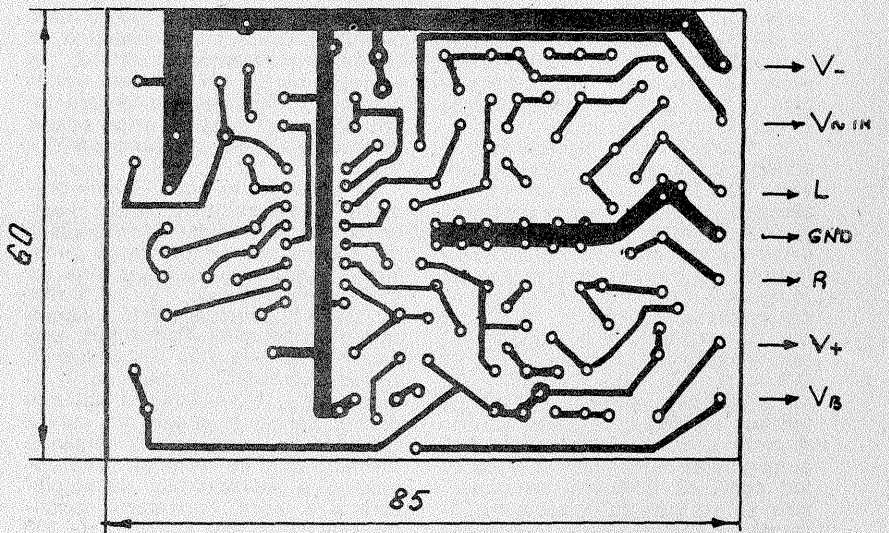


Fig. 3. - Placa de cablaj imprimat (văzută dinspre cablaj)

mod obligatoriu de cea mai bună calitate, cu toleranțele valorilor minime.

Se recomandă folosirea unei cuple pentru conectarea blocului decodor în ansamblul radioreceptorului. Decodorul se poate adapta la orice aparat care recepționează emisiunile din banda UUS cu condiția ca toate celelalte blocuri funcționale ale aparatului să fie de bună calitate și, evident, amplificatorul de audio-frecvență să fie stereo.

Realizat și montat, decodorul va îmbunătăți sesizabil performanțele radioreceptorului, echipat cu un montaj la nivelul cerințelor moderne.

**BIBLIOGRAFIE:**  
Fairchild — The linear integrated circuits data catalog, 1976.



Colectivul redacțional mulțumește tuturor cititorilor și colaboratorilor revistei care au avut amabilitatea să trimită felicitări cu prilejul Anului nou 1983.

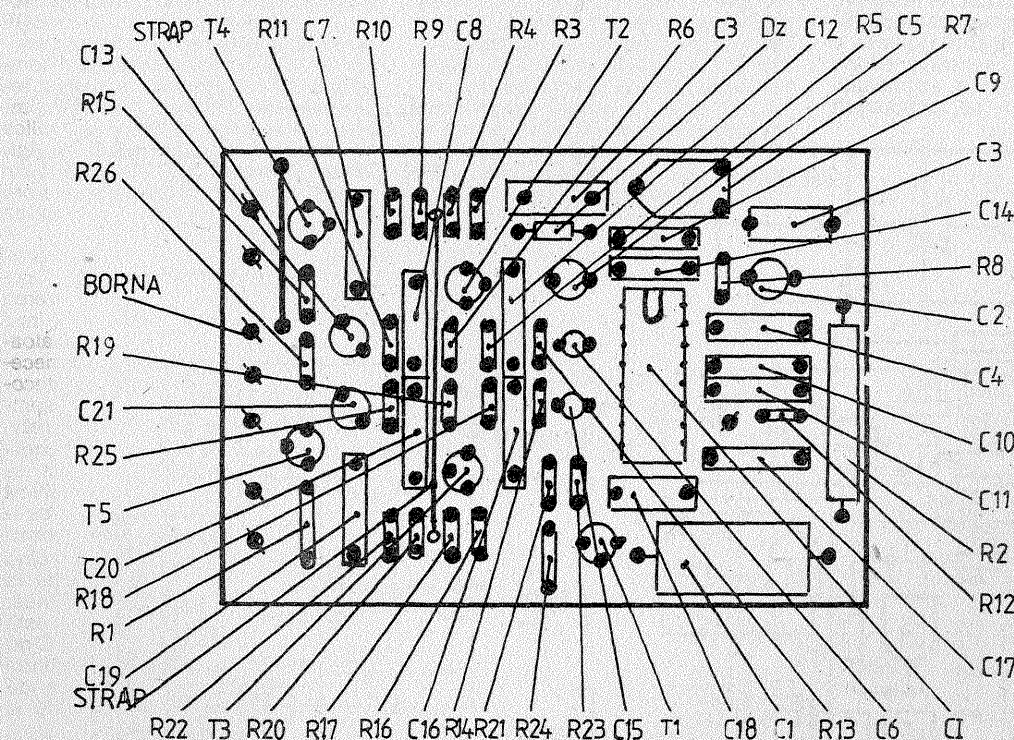


Fig. 4. - Poziționarea componentelor pe placă (vedere dinspre partea cu piese).

## circuite cmos

# APLICAȚII LINIARE

Student GÜNTER ZEISEL

Circuitul inversor CMOS poate fi folosit ca amplificator cu impedanță mare de intrare. Acest lucru prezintă avantajul proiectării circuitelor logice și analogice cu același tip de circuit integrat.

În figura 1 este reprezentată o schemă de conectare pentru un inversor CMOS în aplicații liniare. Rezistențele  $R_F$  și  $R_1$  asigură reacția în curent continuu. Rezistența  $R_F$  are o valoare mai mare de  $1M\Omega$ . Caracteristica de transfer este prezentată în figura 2. Cu un inversor simplu se pot obține amplificări de 20 dB, iar cu alte porți la care se leagă în paralel intrările (de exemplu, CD 4000, CD 4001, CD 4002, CD 4011, CD 4012) se poate ajunge la 30 dB. La tensiuni de intrare de câteva sute de milivolți apare o limitare simetrică, amplitudinea semnalului la ieșire fiind egală cu tensiunea de alimentare. Se pot construi în acest mod limitatoare foarte simple. Tensiunea continuă la ieșire reprezintă jumătate din tensiunea de alimentare. Caracteristica tensiune-frecvență este reprezentată în figura 3. Prin legare în cascadă se poate obține un amplificator cu câștig mare în buclă deschisă, fapt care duce la o mai mare acuratețe în lucrul cu buclă închisă. În figura 4 este obținută o amplificare de 10 în curent alternativ.

Un amplificator operațional folosit cu un inversor postamplificator are anumite avantaje. Amplificatorul operațional, datorită impedanței ridicate a intrării circuitului CMOS, nu

este încărcat la ieșire, lucru care permite proiectarea, considerind că nu avem rezistență de sarcină. Un exemplu pentru LM 324 este dat în figura 5. În figura 6 este reprezentat un integrator folosind orice poartă inversoare CMOS, de perioadă  $T = RC$ .

Ca aplicație, în figura 7 este prezentat un generator de semnal dreptunghiular, sinusoidal și triunghiular, funcționând pe principiul punții Wien. În afara de puntea în sine, cu ajutorul tranzistorului T1 și al diodelor D1 și D2 se realizează o stabilizare a amplitudinii. Porțile P01, respectiv P02, P03, P04 sînt legate în scheme de amplificatoare ca în figura 1. P02, P03 și P04 sînt legate în paralel pentru a asigura un curent suficient de mare pentru comanda formatorului de semnal dreptunghiular, a tranzistorului de stabilizare și a ieșirii. Formatorul constituit din P05 și P06 amplifică de 100 de ori semnalul sinusoidal cu P05, ducînd la limitarea acestuia. Semnalul triunghiular este obținut cu porțile rămase disponibile în cip. Datorită faptului că perioada de integrare a acestui circuit (analog celui din figura 6) este  $T = Re C_{10}$ , iar cea a semnalului variază, pentru a obține amplitudinea maximă a semnalului triunghiular format se acționează

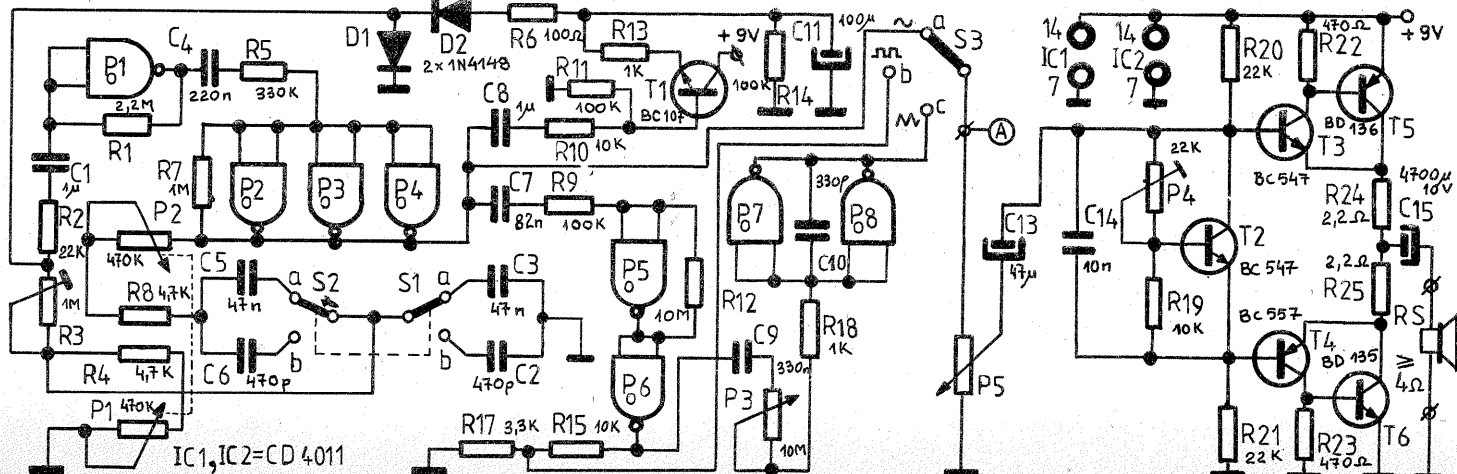
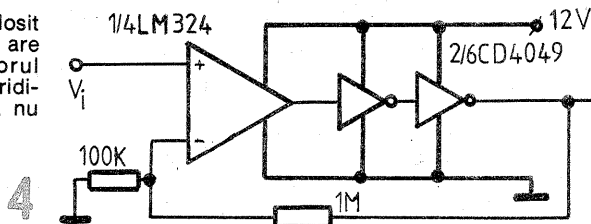
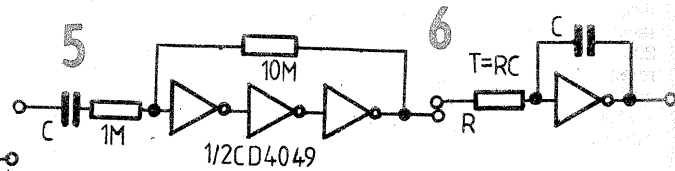
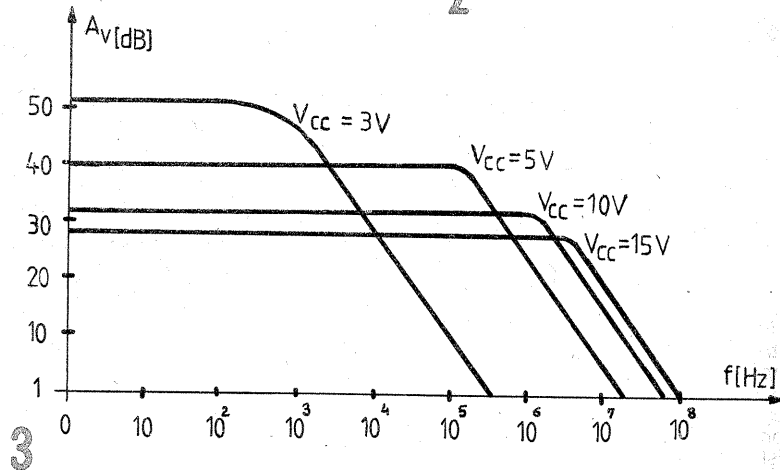
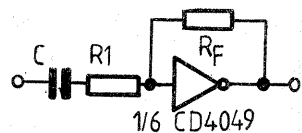
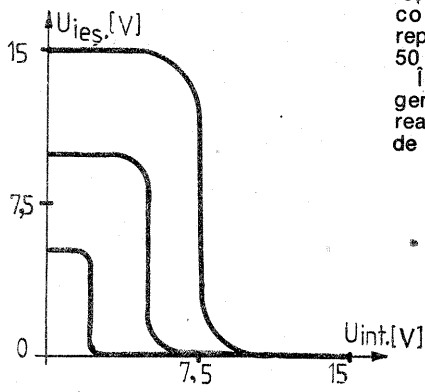
asupra rezistenței  $R_e = R_{18} + \alpha \cdot P_3$  prin varierea lui P3. Circuitul imprimat este reprezentat în figura 8. Tensiunea de alimentare a porților CMOS este de +9 V, iar consumul redus permite alimentarea de la baterie.

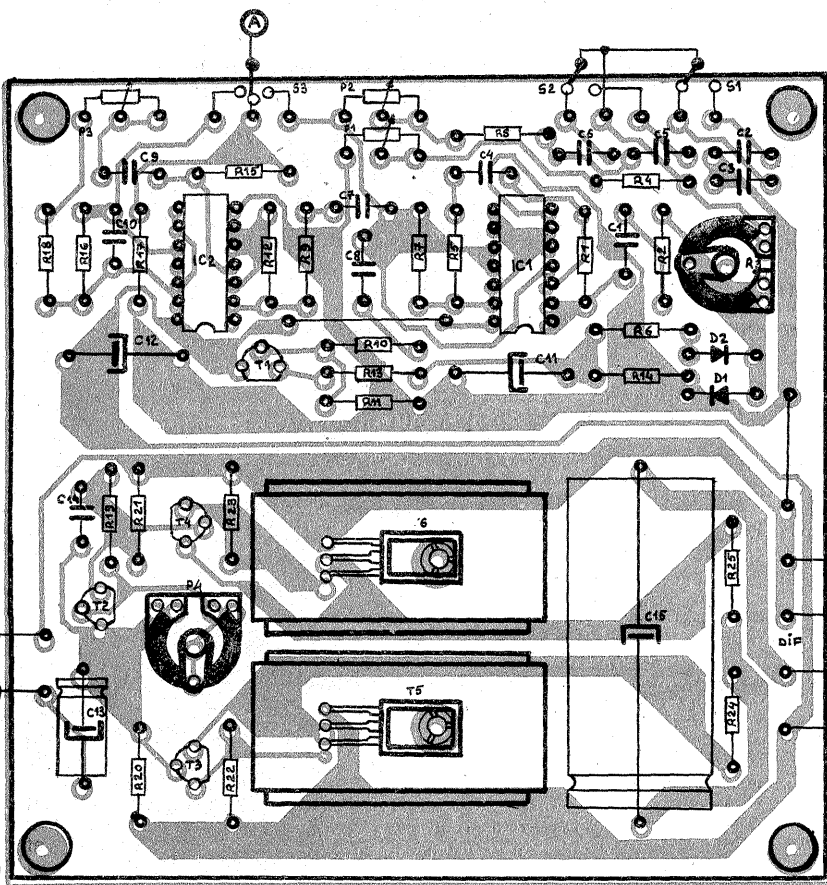
În poziția a a comutatorului S1-2

se obțin frecvențe de la 10 Hz la 1 kHz, iar în poziția de la 1 kHz la 100 kHz, deci tot spectrul audio.

Pentru sarcini mici, montajului i-a fost atașat un amplificator în contra-timp. Cu ajutorul acestuia se pot testa, de exemplu, frecvențele de rezonanță ale boxelor, pentru aceasta ieșirea legîndu-se chiar la boxă (cu condiția  $R_S \geq 4\Omega$ ). Curentul de repaus se reglează la aproximativ 50 mA cu ajutorul lui P4.

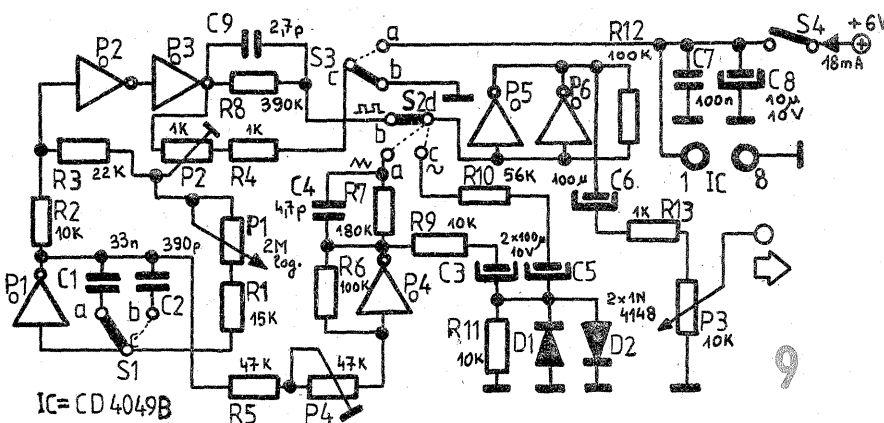
În figura 9 este prezentat tot un generator în domeniul audio, dar realizat cu un singur circuit integrat de tip CD 4049B. P01 formează un



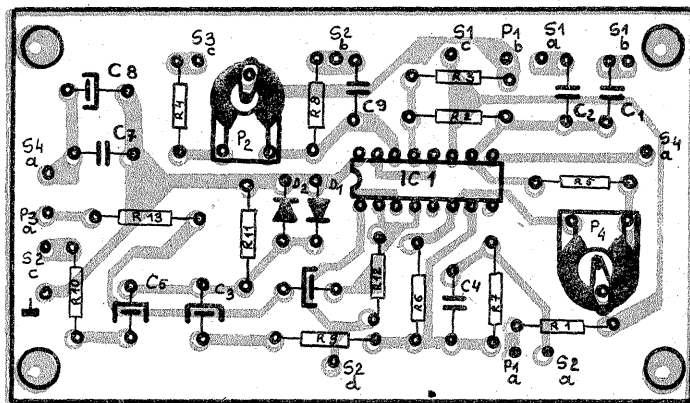


integrator, urmat de un circuit triger Schmitt (P02, P03), după care se obține semnalul dreptunghiular. De pe integrator, prin amplificatorul P4, se obține semnalul triunghiular. Forma sinusoidală se obține cu ajutorul limitării cu diodele D1 și D2 a semnalului triunghiular. P05 și P06 reprezintă un amplificator de ieșire

și totodată tampon între montaj și ieșire. Circuitul imprimat este prezentat în figura 10. Comutatorul S1 servește la alegerea domeniului (12 Hz — 1 kHz, respectiv 1 kHz — 70 kHz), iar S3 la alegerea factorului de umplere. Dacă S3 se află în poziția a, cu P2 se obțin factori de umplere mai mari decât 50%, iar în



IC = CD 4049B



poziția B sub 50%. Comutatorul S2 folosește la alegerea formei de undă dorite. Consumul montajului este de numai 18 mA.

**BIBLIOGRAFIE**  
Catalog National Semiconductor „Elektron”, ianuarie 1979  
„Elektron”, iulie/august 1975

# Circuitul integrat $\beta$ E 555

Ing. NICOLAE ANDRIAN

Printre circuitele integrate utilizate într-o gamă largă de aplicații, un loc important îl ocupă și  $\beta$ E 555. După cum se poate vedea în figura 1, acesta are în componența sa două comparatoare, un circuit basculant bistabil și un etaj de ieșire.

Circuitul poate genera întârzieri de timp declanșate sau oscilații libere. Ieșirea poate absorbi curenți până la 200 mA, deci pot fi comandate și rele. Configurația terminalelor este dată în figurile 2a, 2b și 2c.

**Monostabil.** Când circuitul operează ca monostabil, perioada de ie-

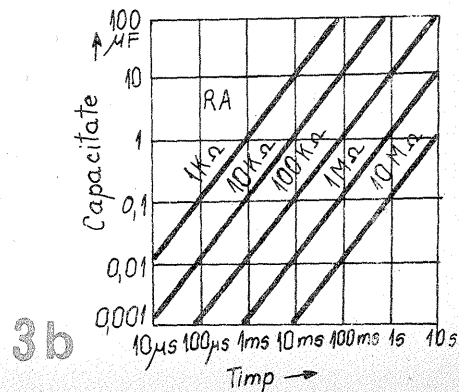
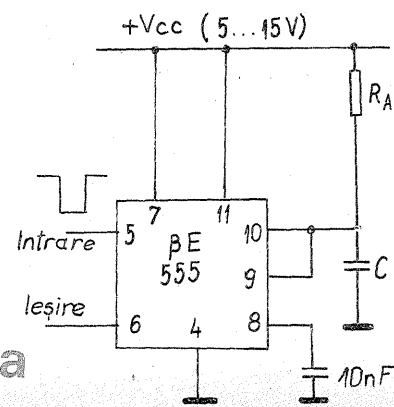
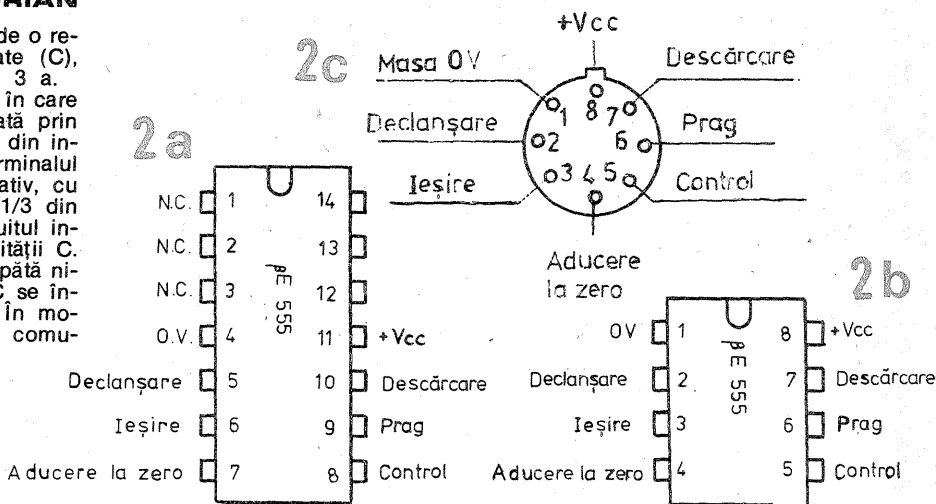
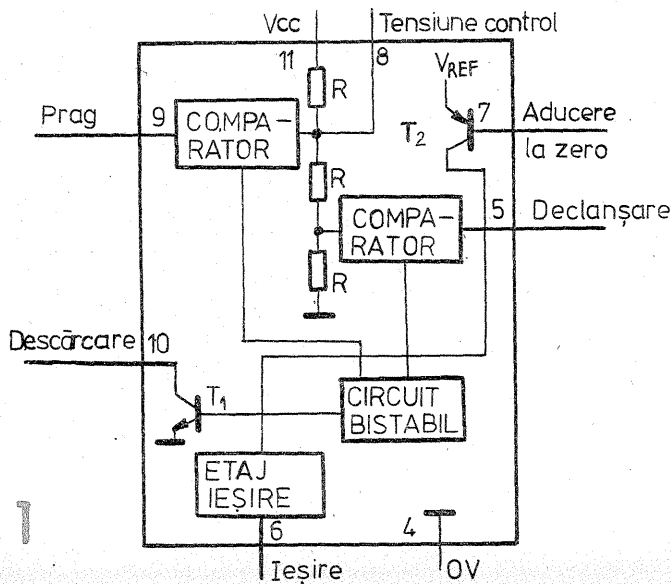
șire este determinată numai de o rezistență (RA) și o capacitate (C), așa cum se arată în figura 3 a.

Presupunem starea inițială în care capacitatea C este descărcată prin intermediul tranzistorului T1 din interiorul capsulei. Dacă pe terminalul 2 se aplică un impuls negativ, cu amplitudinea mai mică de 1/3 din Vcc, se eliberează scurtcircuitul intern de descărcare a capacității C. În același moment ieșirea capătă nivel logic „1”. Capacitatea C se încarcă exponențial prin RA. În momentul atingerii pragului de comu-

tare se comandă descărcarea rapidă a condensatorului, iar ieșirea revine în „0” logic. Deoarece încărcarea și nivelul de basculare a comparatorului sunt direct proporționale cu valoarea tensiunii de alimentare, durata temporizării este independentă de aceasta. Pe toată perioada temporizării, o nouă comandă la intra-

rea 2 nu are nici un efect asupra stării de moment a temporizatorului. Durata temporizării se calculează cu formula  $T = 1,1 \cdot RA \cdot C$ .

În figura 3 b se dau diagramele cu ajutorul cărora se calculează direct valoarea capacității condensatorului C și a rezistenței RA.



# NAVOMODEL REMORCHER

Ing. EUGEN COVALENCU

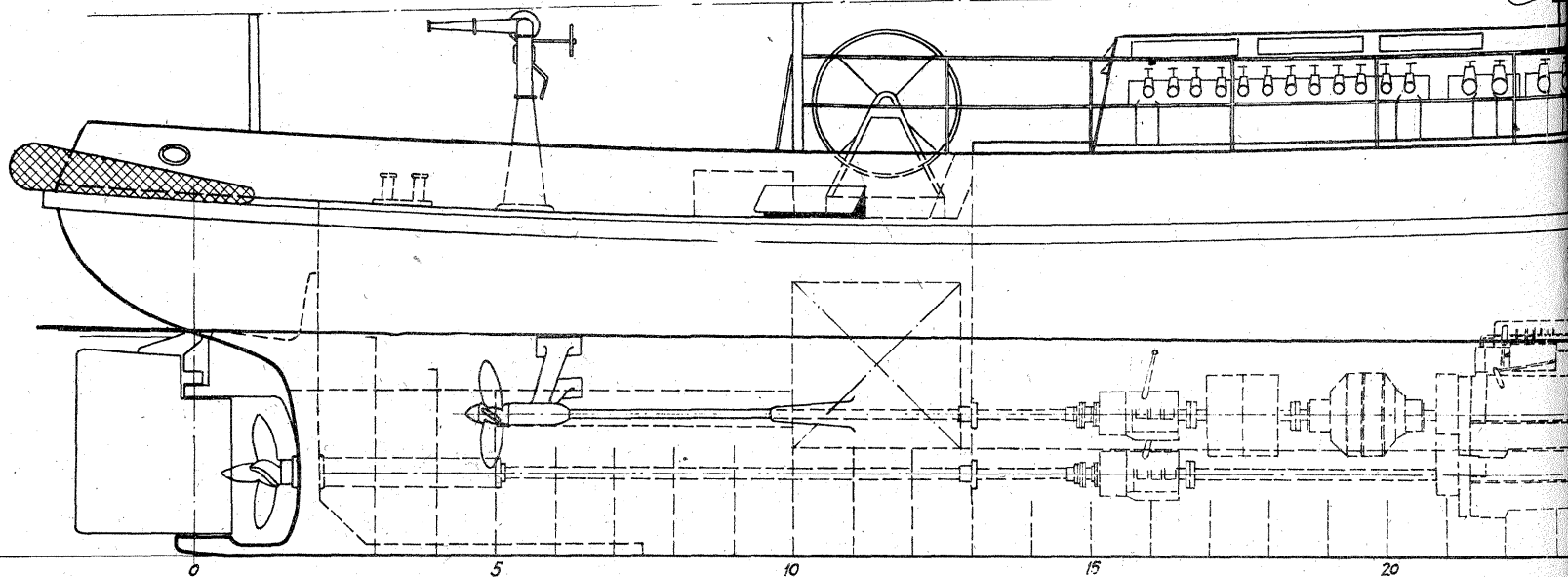
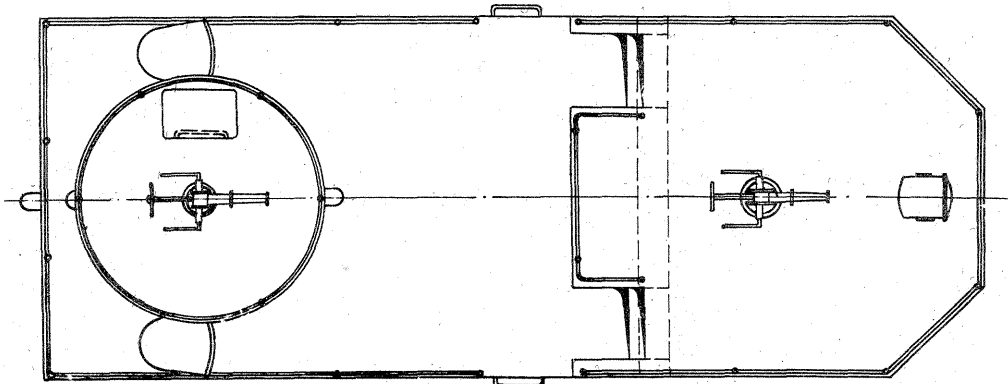
Nava remorcher (pompiér) prezentată se recomandă în mod deosebit începătorilor, datorită simplității formelor și suprastructurii.

Construită în 1966 la Galați, avea următoarele caracteristici:

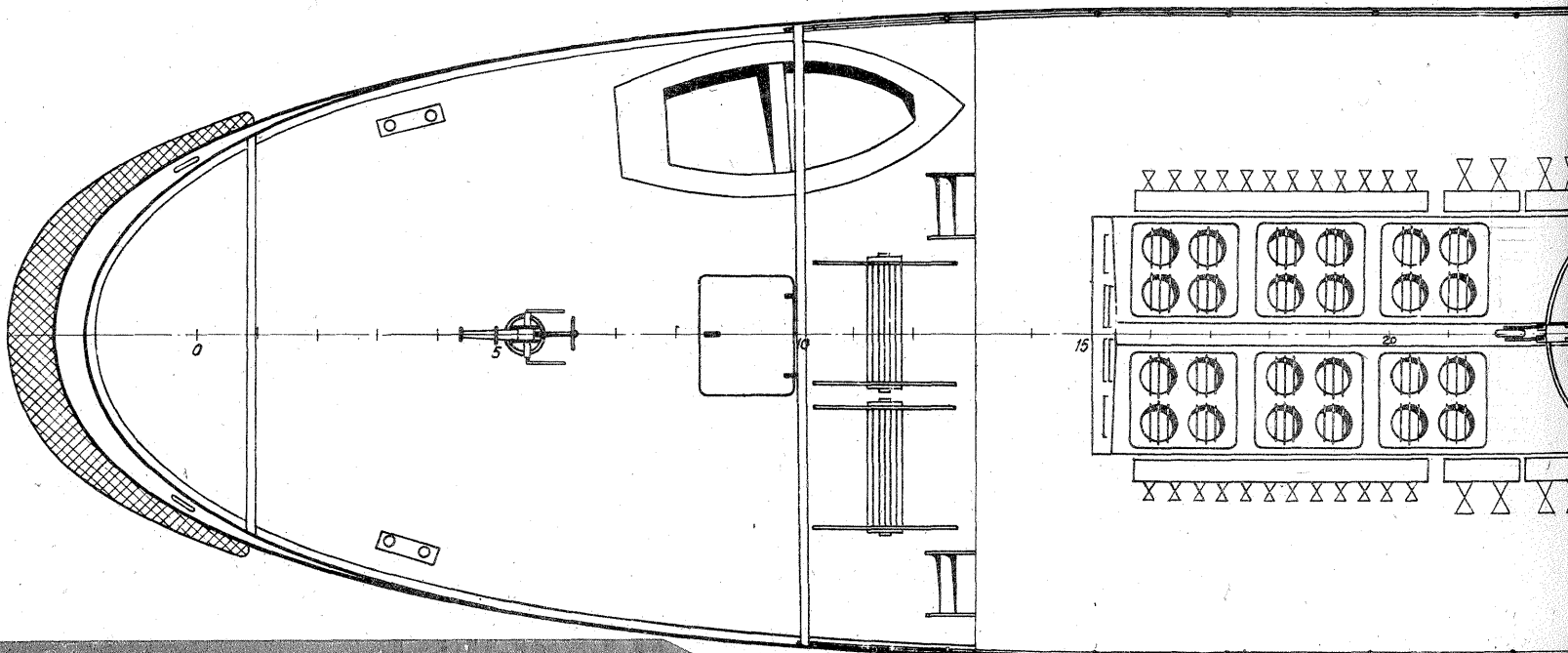
Lungime maximă ..... 27 m  
 Lățime ..... 5,5 m  
 Pescaj ..... 1,8 m  
 Deplasament ..... 117 t  
 Viteză ..... 10 noduri  
 Instalație de pompare ..... 720 m<sup>3</sup>/ora  
 Instalație de producere a spumei ..... 1 000 m<sup>3</sup> în 8'

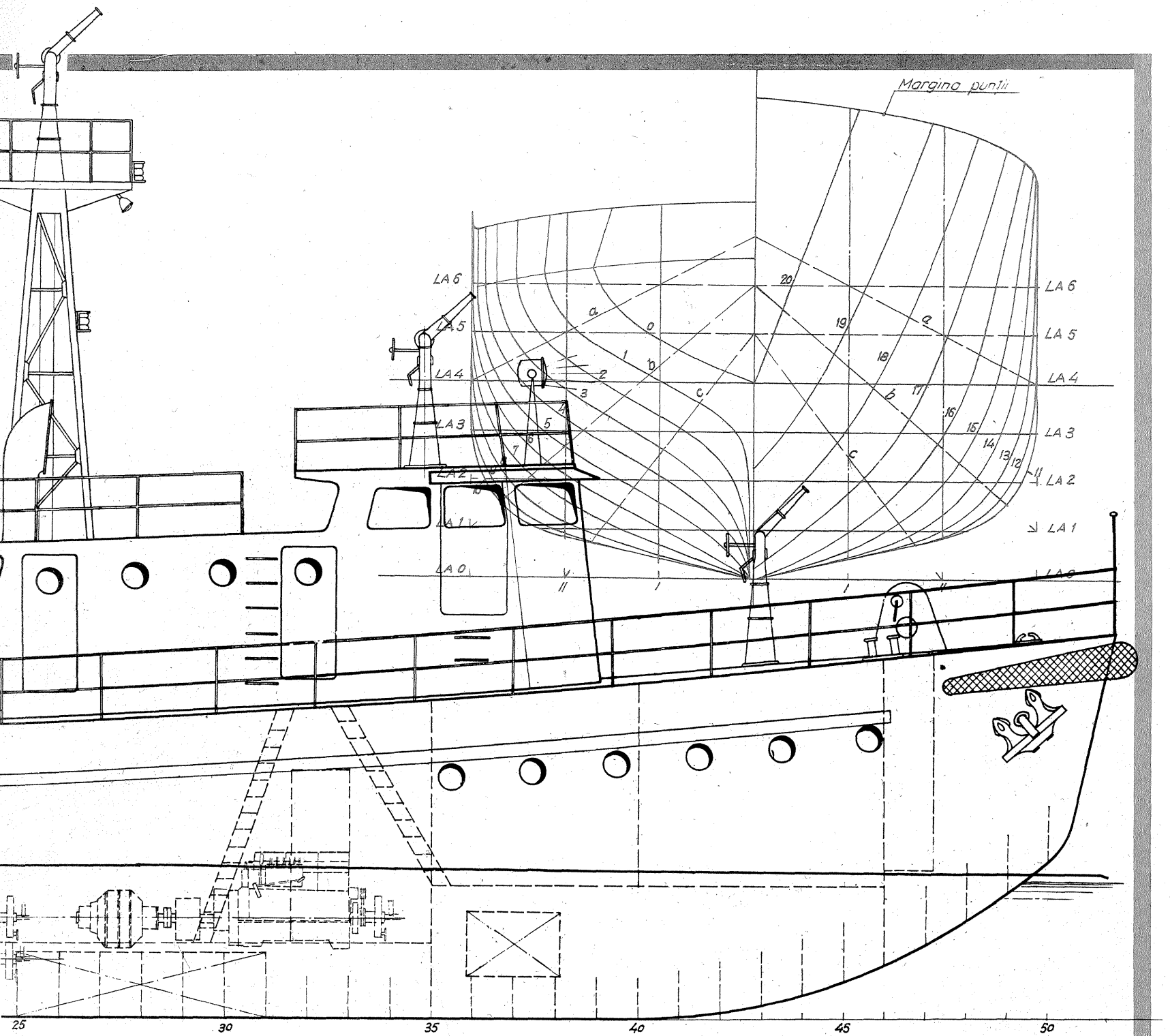
Echipaj ..... 6 oameni  
 Nava este vopsită în roșu, partea imersă în verde, punțile gri deschis, pompele gri-argintiu și instalațiile de punte negru.

Pentru construcția corpului recomandăm metoda construcției pe coaste învelite cu baghete, la scara din plan a coastelor sau maximum dublu.

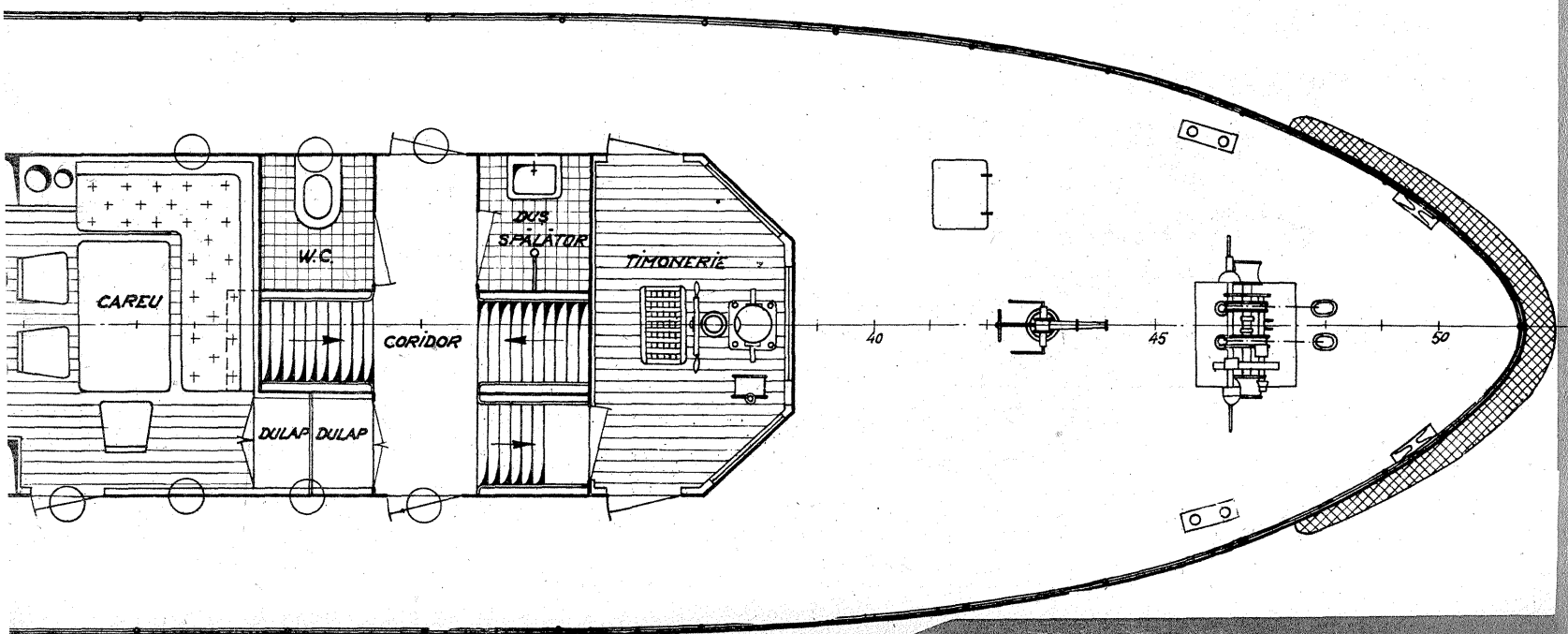


## VEDERE PE PUNTE





## EA PRINCIPALĂ





Tehnium

# AUTO - MOTO

Numeroși cititori au exprimat un interes deosebit față de noua realizare a industriei românești - autoturismul „Oltcit”, construit la Craiova. De aceea, începând din acest număr, rubrica noastră „Auto-Moto” va găzdui o serie de articole ce vor conține prezentarea tehnică a autoturismului „Oltcit”, variantele „Special” și „Club”.

## AUTOTURISMELE „OLT CIT”

Autoturismul OLT CIT fiind format din mii de piese dar numai din 10—15 mari subsansambluri (caroserie, motor, transmisie, direcție, frâne ș.a.), este studiat pînă în cele mai mici amănunte de așa natură ca fluxurile de fabricație (prelucrări mecanice, montare, asamblare) ale fiecărui organ să corespundă, pe parcurs, cu un anumit ritm de producție.

Caroseria începe a fi fabricată în halele „presaj-feraj” prin ambutisarea și sudarea celor mai simple table pînă la subsansamblurile amovibile, care definesc forma finală.

De aici, conveioarele o transportă în hala „vopsitorie”, unde, după toate operațiile de protecție anticorozivă, insonorizare și vopsire, este transportată în hala „montaj general”, unde sînt aduse motorul, organele transmisiei și restul de subsansambluri din hala de „prelucrări mecanice”.

Autoturismele OLT CIT au caracter dublu: berlină, de 4—5 locuri și 50 kg de bagaje, și utilitară, de două locuri și 260 kg marfă, obținută prin rabatarea banchetei spate sau chiar demontarea ei cu ușurință.

Proiectate și încercate aproximativ cinci ani — perioadă necesară finisării soluțiilor constructive, efectuării probelor de anduranță pe standuri și pe piste de încercări, în condiții de teren și climă specifice țării noastre, precum și omologării internaționale de către o instituție specializată —, autoturismele au fost ameliorate continuu, după obi-

ceiul marilor firme constructoare de automobile.

În aceste condiții, autoturismele răspund cerințelor moderne de calitate și fiabilitate, facilitînd astfel întreținerea și repararea lor la intervale mari de timp.

La ora actuală se produc două variante de autoturisme: OLT CIT „Special” (motor cu cilindrul de 652 cmc) și OLT CIT „Club” (1130 cmc), ulterior, după cum este normal, putînd să apară și alte variante.

**Caroseria**, cu două volume și trei uși, comună pentru cele două tipuri, a fost proiectată și realizată după școala tipică CITROËN, cu influențe californiene (școala de design caroserii din Los Angeles), încercată și ameliorată, ca formă, în tunelul aerodinamic specializat de la Saint Cyr; caroseria este metalică, autoportantă, cu două uși și hayon (ușă în spate).

În zonele inferioare, expuse coroziei intense, tabla de oțel este acoperită galvanic pe o față sau pe ambele fețe.

Elementele față sînt amovibile (aripi, tablă de legătură, tablă de închidere inferioară), avantaj deosebit în situația înlocuirii lor datorită accidentelor.

Barele de protecție au zone de absorbție din mase plastice pe față și din cauciuc la bara din spate, iar zonele de colțuri sînt amovibile.

Caroseria este vopsită prin anafereză, insonorizată, acoperită prin tectilizare în zonele corpurilor goale

(cave), protejată la împrôscarea cu corpuri dure.

**Parbrizul** este „stratificat”, fiind format din folii de geam și plastic, ceea ce-i conferă — în caz de coliziune — rezistență și comportare conforme cu cerințele actuale ale regulamentelor internaționale.

**Motoarele** în patru timpi, cu doi și respectiv patru cilindri, de 652 și 1130 cmc, răcite cu aer, dau puteri (34 CP și 57,5 CP) care asigură viteze maxime deosebite („Special” — 121,2 km/h; „Club” — 149,4 km/h).

Motorul mic are în instalația electrică un dispozitiv electronic A.E.I. (aprindere electronică integrală), care asigură un consum de combustibil și o poluare a atmosferei mai reduse.

Bateriile de acumulare sînt din generația nouă, cu întreținere redusă, iar alternatoarele cu regulatoare electronice încorporate.

Carburatoarele realizate după proiecte SOLEX, cu două corpuri, sînt economice și antipoluante, fiind dotate în acest sens cu dispozitive moderne, corespunzătoare, ce urmează a fi prezentate ulterior.

Autoturismele au tracțiune față, **transmisia** fiind realizată clasic, cu ambreiaj uscat, cutie de viteze mecanică cu patru trepte de mers înainte, toate sincronizate, și una de mers înapoi.

Transmișiile planetare homocinetice de tip Rzeppa și Tripodă, la extremități, au prin construcție o durabilitate ridicată.

**Punțile și suspensia** sînt soluții

originale, fiabile, cu confort ridicat, asigurat de combinația între barele de torsiune longitudinale și transversale, o lamă de flexiune transversală și două perechi de amortizoare telescopice.

**Direcția** autoturismelor este cu cremalieră și joc reglabil.

Privind **rularea** autoturismelor se poate aprecia echiparea lor cu pneuri cu rezistență ridicată la uzură (cu caracteristici de uniformitate superioară), montate pe jante de înaltă rezistență.

Sistemele de **frînare** a autoturismelor sînt cu circuite independente față și spate și frîne disc pe ambele punți, discurile față fiind ventilate, datorită amplasării lor la ieșirea din cutia de viteze.

Referitor la habitacul autoturismului (caroseriei) se pot face observațiile de mai jos:

— Plasa bord și tabloul de bord sînt o realizare modernă, compactă, cu o bună comportare la șoc.

— Postul de conducere are o ergonomie excepțională, confortul fiind asigurat de dispunerea sateliților cu comenzile, direcția cu joc reglabil, paralelogramul de rulare nedeformabil și scaunele calculate anatomic (avînd structură elastică din spumă), fără elemente metalice.

— Scaunele față au memorie pentru poziția reglată și rabatarea automată a spătarului.

— Bancheta se repliază separat.

— Volanul este realizat cu înveliș de spumă poliuretanică și zonă de impact regulamentară.

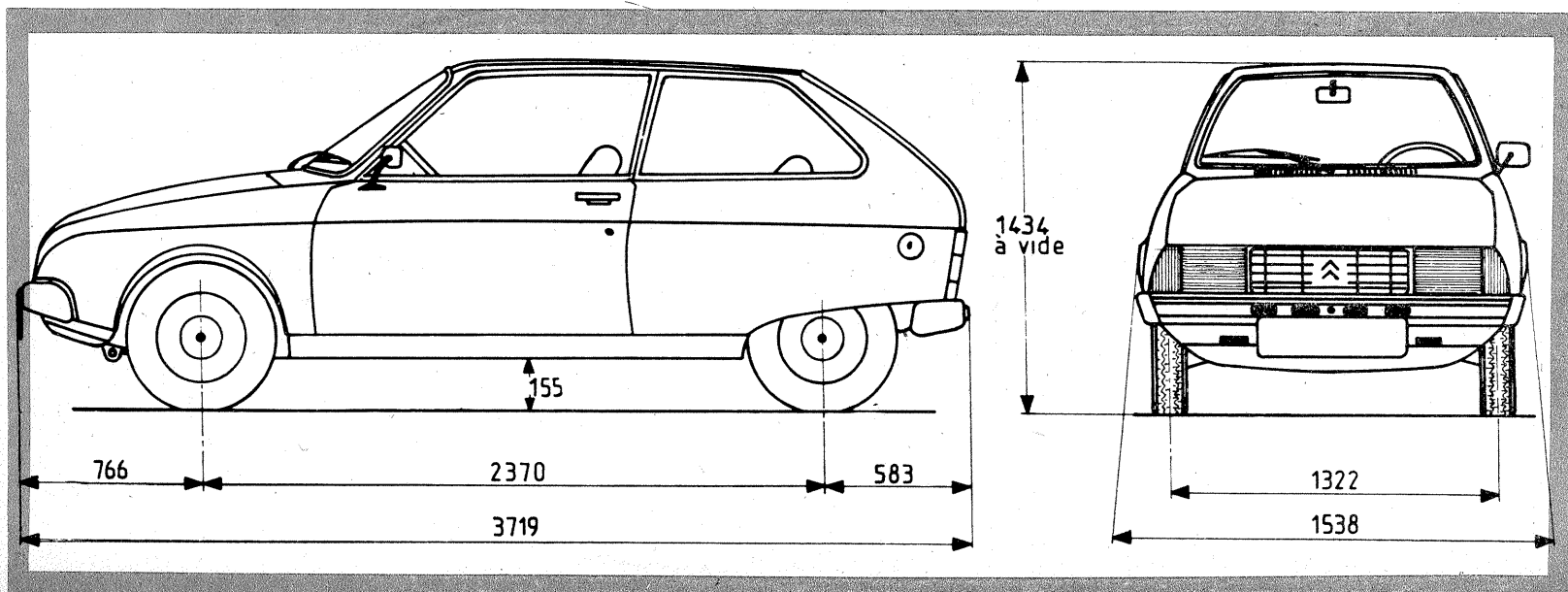
— Garnitura pavilion are o structură „sandviș”, cu proprietăți înalte insonorizante și cu protecție la răs-turnare.

— Instalația de încălzire și ventilație este performantă și completă (inclusiv dezaburire și degivrare geamuri laterale, soluție existentă la autoturismele de clasă superioară, orientare și modulare flux aer).

— Blocurile optice încorporate în caroserie, cu reglaj continuu al asietei între cele două limite minim și maxim.

Calitățile dinamice deosebite, confortul, maniabilitatea, frînele eficiente, ergonomia postului de conducere, toate organele importante răspunzînd cerințelor regulamentelor internaționale în vigoare (omologarea internațională a autoturismelor s-a făcut de către CITROËN și OLT CIT la Institutul de mine — U.T.A.C. — Paris), asigură autoturismelor OLT CIT performanțe corespunzătoare tendințelor actuale pe plan mondial.

(CONTINUARE ÎN NR. VIITOR)



# ALTERNATORUL

Ing. M. STRATULAT

Spre deosebire de cazul regulatorului de tensiune, de această dată se vor prezenta numai modul de demontare a alternatorului și verificarea organelor sale componente în vederea depistării defecțiunilor, deoarece la alternator nu se efectuează reglaje și reparații, ci numai înlocuiri ale ansamblurilor defecte.

## Demontarea alternatorului

Pentru a scoate alternatorul de pe motor se deconectează mai întâi borna minus a bateriei de acumulare, după care se procedează la fel cu conexiunile alternatorului (fig. 1): cablul B+ (reper 3), cablul DF (reper 1) și cablul D- (reper 2), prin deșurubarea piulițelor respective. În continuare se desface piulița de reglare a întinderii curelei ca și cea de fixare a alternatorului la blocul motor. Apăsând apoi alternatorul în jos se eliberează cureaua și se desface de pe fulie, după care alternatorul se extrage de pe axul în jurul căruia pivotează.

Montarea pe motor a alternatorului se efectuează în ordine inversă, având grijă ca înainte de montaj să se verifice starea curelei (aceasta nu trebuie să aibă rupturi sau exfolieri).

Urmează apoi demontarea în piesele componente; operațiunea începe prin scoaterea blocului de perii 6 (fig. 2) care se eliberează prin desfacerea celor două șuruburi cu care este fixat pe corpul alternatorului;

la fel se procedează și cu capul de protecție 7, care este prins cu un singur șurub. Se fixează apoi fulia 8 de o manieră oarecare (se prinde, de exemplu, cu o curea veche), se desface piulița de fixare a ei și se scot fulia, rotorul-ventilator 5 precum și pana de fixare 9 din canalul ei de pe axul rotorului 4.

După ce se deșurubează piulițele bornelor B+ și D-, se desfac, de asemenea, cele trei piulițe și cele trei șuruburi 5 (fig. 1) care servesc pentru asamblarea celor două capace ale alternatorului, 1 și 2 (fig. 2). Înainte ca acestea să fie desfăcute se marchează într-un fel oarecare (cu vopsea sau prin rizare) poziția lor reciprocă. Tot așa se va proceda și cu statorul 3, a cărui poziție față de unul din capace va fi marcată, bineînțeles, după ce una din jumătățile corpului a fost extrasă. Montajul se va efectua respectând cu strictețe poziționarea inițială a acestor trei piese: stator și cele două capace ale corpului.

În final, cu ajutorul unei șurubelnițe, se extrage statorul 3 și se scoate din lagărul său rotorul 4.

## Verificarea elementelor alternatorului

După demontare, elementele componente ale alternatorului se vor supune următoarelor operațiuni de verificare.

Verificarea statorului vizează sta-

rea mecanică și electrică a înfășurărilor sale. La controlul vizual, acestea nu trebuie să prezinte fisuri sau urme de frecare. Controlul electric urmărește să determine existența scurtcircuitării spirelor sau a punerii lor la masă. Pentru a efectua prima verificare se realizează un circuit așa cum se arată în figura 3, poziția a, folosind un bec de control 1 și bateria 2. Dacă becul nu se aprinde, înseamnă că înfășurarea respectivă este defectă.

A doua verificare presupune realizarea montajului din figura 3, poziția b. De această dată, în mod invers, aprinderea becului, care semnaleză scurgerea curentului prin corpul statorului, constituie indiciul defecției înfășurării controlate. Se va reține că toate cele trei înfășurări vor fi supuse celor două probe descrise și că detectarea unei înfășurări defecte atrage după sine necesitatea înlocuirii complete a statorului.

Verificarea rotorului începe prin examinarea stării inelelor colectoare 1 (fig. 4), care trebuie să nu fie rizate sau murdare; în caz contrar, inelele se pot rectifica atent cu o foaie de șmirghel foarte fin și se curăță cu benzină; uzura adâncă sau rizurile profunde pe inele necesită înlocuirea rotorului.

Prin apăsări și tracțiuni axiale se verifică starea de fixare a polilor rotorului; pentru această probă se poate folosi și o șurubelniță de mărime potrivită.

Nici bobina rotorului nu trebuie să prezinte rizuri sau urme de frecare; controlul ei electric se face realizând montajul din figura 4; neaprinerea becului este semnul întreruperii spirelor, fapt care face necesară înlocuirea rotorului. Un control mai exact se poate efectua prin măsurarea rezistenței înfășurării rotorului cu un ohmmetru; dacă valoarea gă-

sită este mai mare de 4,7 Ω rotorul se socotește defect.

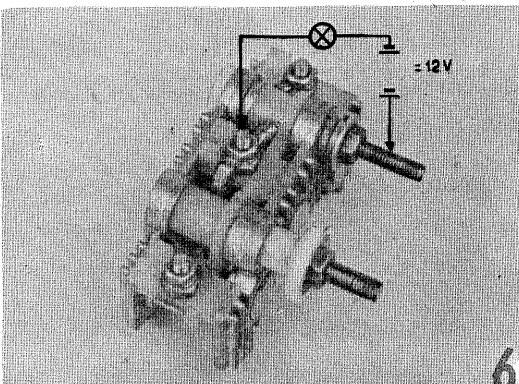
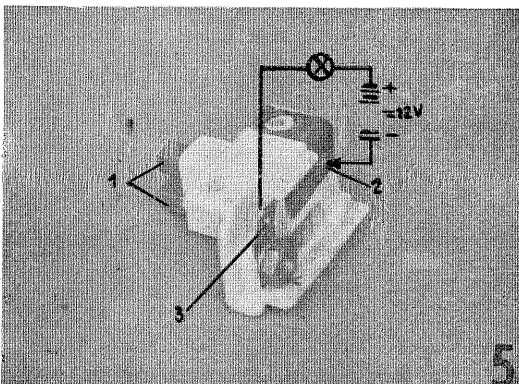
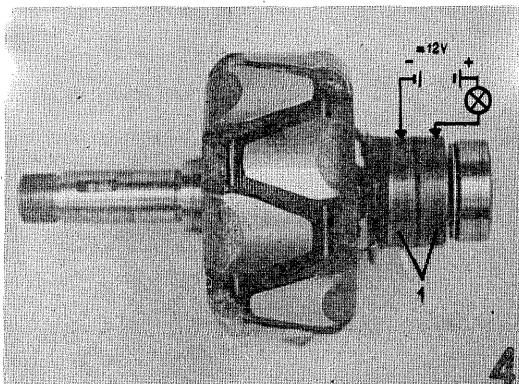
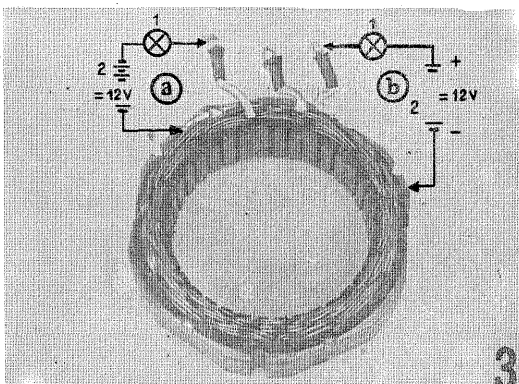
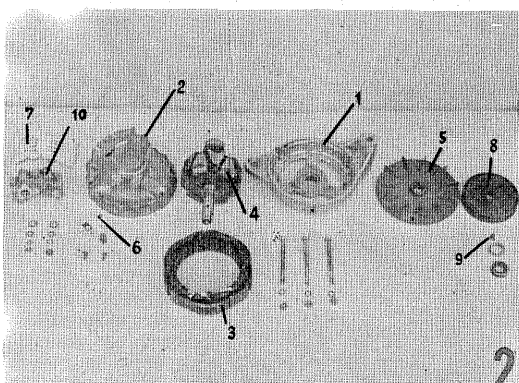
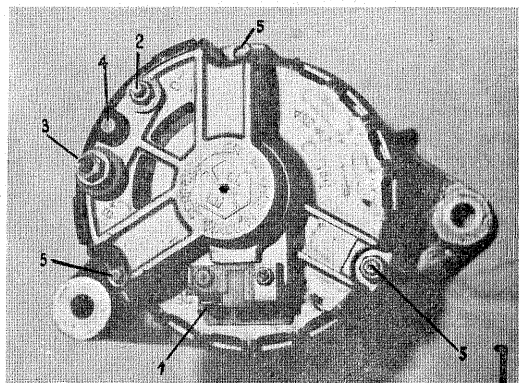
Verificarea lagărelor se face prin observarea vizuală și manuală. Lagărul capacului din față 1 (fig. 2) nu trebuie să aibă curgeri de lubrifianți din interior, dar trebuie să se rotească ușor și fără zgomet. În caz contrar lagărul se socotește defect și trebuie înlocuit. Pentru demontarea sa se desfac cele trei piulițe de fixare a capacului lagărului, se îndepărtează capacul și se scoate apoi rulmentul cu bile în vederea înlocuirii sale.

Lagărul capacului din spate 2 trebuie să nu aibă joc mare, să permită rotirea ușoară și fără zgomet. În caz contrar el va fi înlocuit prin depresiunea sa din capac.

Verificarea blocului periiilor se face mai întâi stabilind dacă periiile 1 (fig. 5) se mișcă liber în locașurile lor și dacă uzura nu este atât de avansată încât ele să fie mai lungi decât suporturile cu cel puțin 5 mm.

Controlul electric urmărește să stabilească dacă periiile sînt izolate una de cealaltă, folosind un bec și baterie de acumulare legate ca în figura 5. Montajul se leagă între borna DF, 3, și cea de masă, 2. Dacă becul se aprinde, periiile 1 sînt în scurtcircuit, deci izolația este defectă, fapt care atrage atenția asupra înlocuirii blocului de perii.

Verificarea diodelor se efectuează folosind un montaj ca acela din figura 6, legat la blocul de diode succesiv în poziții inverse. Într-una din poziții becul trebuie să se aprindă, în cealaltă nu. Dacă becul nu arde în nici o poziție, înseamnă că o diodă cel puțin este defectă; dacă becul se aprinde în ambele poziții, acesta este indiciul scurtcircuitării blocului de diode și în ambele cazuri el trebuie înlocuit.



## CĂRȚI NOI

De curînd, în Editura militară a văzut lumina tiparului o valoroasă lucrare din domeniul transporturilor rutiere: „FIABILITATEA ȘI DIAGNOSTICAREA AUTOMOBILELOR” de C. Manea și M. Stratulat.

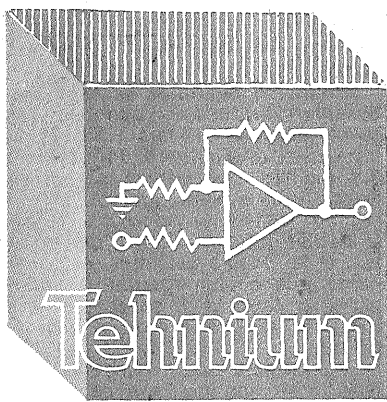
Ținînd cont de imperatiile vremii referitoare la economia de carburanți și materiale prin orice mijloace, autoarii și-au propus și au reușit să pună la dispoziția celor interesați unele date noi privitoare la aspectele teoretice și practice ale atingerii unui înalt nivel de fiabilitate a automobilelor; în același timp, reușind să convingă marea masă a utilizatorilor de autovehicule asupra rolului important pe care îl are aparatura de diagnosticare existentă în unitățile de transport și centrale service în depistarea operativă și eficientă a defecțiunilor evidente sau ascunse și în restabilirea imediată a stării tehnice a automobilelor - ca unic mijloc rațional care garantează corectă funcționare a mașinilor și respectarea normelor de consum și poluare, precum și securitatea circulației rutiere.

Lucrarea se adresează în egală măsură specialiștilor în transporturi, cit și celor care se pregătesc în acest domeniu la diferite niveluri, iar prin aspectele practice oferite poate folosi tuturor posesorilor de automobile.

Rugăm cititorii revistei care doresc să trimită materiale spre publicare să le redacteze citeț și inteligibil, să prezinte atît modul de funcționare a montajului, cît și detaliile constructive și de reglaj. Totodată, să fie consemnate rezultatele măsurărilor și tipul instrumentelor de măsură utilizate acolo unde este cazul.

Schemele executate conform normelor STAS să aibă trecute tipul și valoarea pieselor componente, valori ale tensiunilor și curenților în diferite puncte. Cînd este cazul, să se trimită desenul cablajului imprimat și dispunerea componentelor pe cablaj.

Fiecare material va fi însoțit de adresa exactă a autorului, profesia sa și locul de muncă.



# CITITORII RECOMANDĂ

## PANOU DE AFIŞAJ

Ing. IANCU ZAHARIA

Pe stadioane, în bazele sportive, în săli de spectacol sau în alte locuri sînt necesare uneori panouri de afişaj vizibile din orice punct al spaţiului ocupat de public. Caracteristica de bază a acestor panouri este posibilitatea inscripţionării comode şi rapide a oricărei cifre arabe cuprinsă în intervalul 0 şi 9.

Schema unui astfel de panou, în care cifra este formată din combinaţia a 13 lămpi electrice, este prezentată în figura 1. În afara lămpilor, în componenţa panoului pentru o singură cifră se mai includ şi 10 întrerupătoare, din care 4 duble şi 6 simple, o siguranţă fuzibilă calculată pentru puterea electrică totală a lămpilor din panou (de exemplu, siguranţă de 1,5 A pentru lămpi de 25 W), întrerupătorul general (notat cu I) şi cele trei borne de alimentare cu energie de la reţeaua electrică de iluminat.

În poziţie de repaus, cînd toate întrerupătoarele sînt închise, ard toate lămpile, afişînd cifra „0” cu un punct la centru. Formarea fiecărei cifre se face acţionînd întrerupătorul respectiv, ale cărui contacte sînt notate pe

schema cu cifra respectivă, ca unitate la întrerupătoarele simple şi de ordinul zecilor la întrerupătoarele duble. Prin acţionarea întrerupătoarelor se sting lămpile care nu intră în conturul cifrei inscripţionate. Funcţionarea panoului este indicată în tabelul nr. 1.

Fiecare lampă care intră în construcţia panoului de afişaj se introduce într-o cutie din tablă cu grosimea de 0,3—0,8 mm, în formă de paralelipiped dreptunghic, cu o singură bază, în centrul căreia se fixează soclul lămpii (fig. 2). Pentru lămpi de 25—40 W sînt suficiente cutii cu baza pătrată cu latura de 10 cm şi înălţimea de 15—18 cm, lustruite şi acoperite în interior cu un strat reflectorizant. Rezultă astfel cifre cu înălţimea de 1/2 m. Culiile se fixează cu şuruburi în interiorul unui cadru cu dimensiunile de 35/55 cm, care susţine şi geamul fluorescent (sau mat, sau sablat) montat în faţa lămpilor, conform figurii 2. Panourile pot fi realizate şi cu lămpi mai mici, alimentate prin intermediul unui transformator. Vor rezulta cifre de dimensiuni mai mici.

Tabelul nr. 1

Cifra inscripţionată	Lămpi stinse (numărul de ordine)	Contact întrerupător	Coloana	Contact întrerupător	Coloana
1	1-2-8-9-10-11-12-13	11	5	12	10
2	5-6-11	2	8	-	-
3	5-10-11-12	31	7	32	11
4	2-8-9-10	4	11	-	-
5	4-10	51	3	52	11
6	4	6	3	-	-
7	5-6-7-8-11-12	71	9	72	13
8	5-11	8	7	-	-
9	10	9	11	-	-
0	13	0	15	-	-

Tabelul nr. 2

Cifra	Segmente stinse	Contact	Coloană	Contact	Coloană
1	A-D-E-F-G	1	4	-	-
2	C-F	21	2	22	6
3	E-F	31	6	32	9
4	A-D-E	4	6	-	-
5	B-E	51	3	52	9
6	B	6	3	-	-
7	D-E-F-G	71	5	72	8
8	-	-	-	-	-
9	E	9	9	-	-
0	G	0	5	-	-

## Canar ELECTRONIC

M. VRINCEANU

O jucărie foarte amuzantă este canarul electronic prezentat în cele ce urmează. Montajul poate fi folosit în mod independent, dar celor ce posedă o plantă de ornament (de pildă ficus) le sugerăm şi ideea de a plasa pe una din crengile arbustului o păsărică din plastic, iar printre frunze, bine ascuns, acest dispozitiv. De asemenea, crescătorilor de păsări cîntătoare le recomandăm acest montaj pentru a-şi stimula tinerele talente sau chiar pentru extinderea repertoriului celor cu voci consacrate.

Montajul cuprinde un multivibrator astabil, format din tranzistoarele T1 şi T2, condensatoarele C3, C5 şi circuitul de polarizare a bazelor, R3, P1 şi P2. Datorită faptului că C3 şi C5 au valori diferite, cele două stări ale astabilului au timpi diferiţi, şi eventuala lor reglare se poate face din trimerele P1 şi P2.

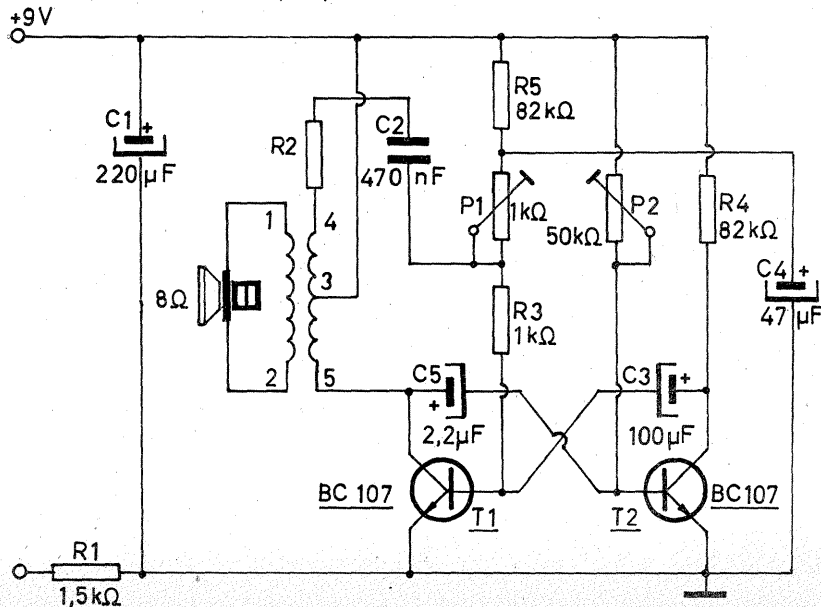
În colectorul tranzistorului T1 se află montat un transformator de ieşire. Porţiunea 3—5 din primar formează sarcina de colector a lui T1, iar porţiunea 3—4, împreună cu R2 şi C2, un circuit LC serie. Rolul acestui circuit este de a suprapune peste forma de undă dreptunghi-

lară de la ieşirea astabilului o oscilaţie armonizată care produce în difuzor un sunet foarte asemănător trîlurilor unui canar.

Transformatorul de ieşire poate fi

găsit la orice magazin cu piese electronice, el fiind identic cu cel de la radioreceptoarele „Mamaia”. Rezistenţa R2 poate fi luată între 1 şi 2 k $\Omega$ , dar mai bine se poate monta în locul ei un semireglabil de 2,5 k $\Omega$ . Montajul nu are un consum prea mare, dar este bine ca alimentarea să se facă de la două baterii de cîte 4,5 V (legate în serie), în loc de bateria miniatură de 9 V. Difuzorul, de minimum 8 $\Omega$ , va avea o putere de cca 250 mW (model miniatură).

Montajul poate fi alimentat şi direct de la reţea, folosind un alimentator cu transformator de sonerie.



## DETECTOR DE METALE

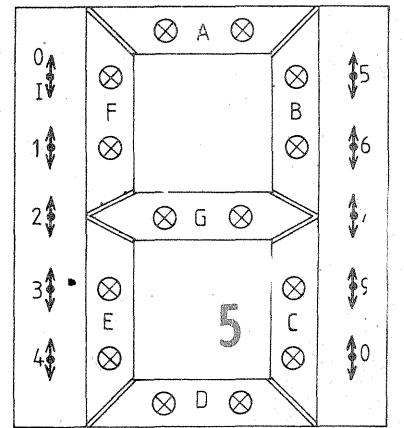
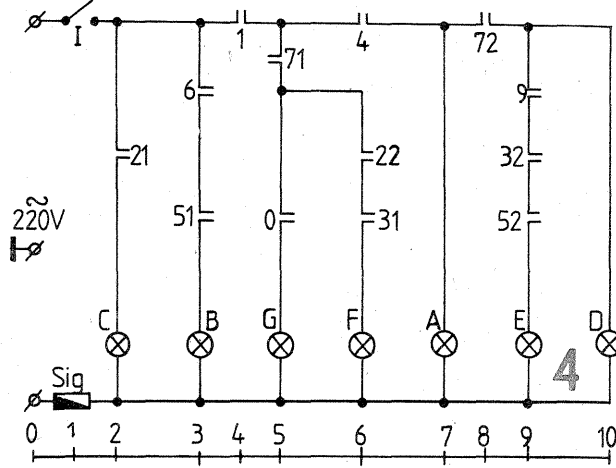
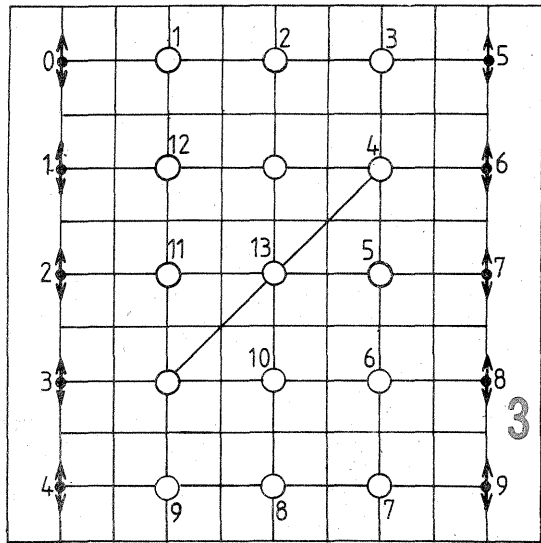
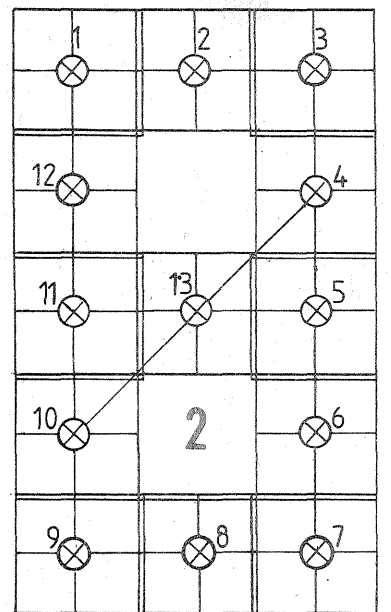
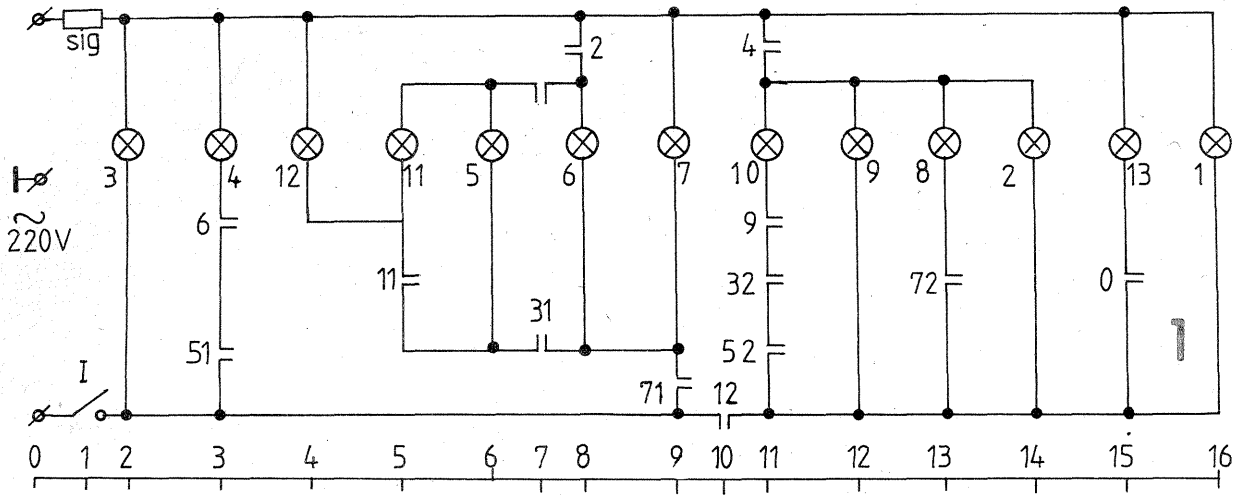
Prof. MIHAI VORNICU

În calitate de buni gospodari, sîntem adeseori puşi în situaţia de a face o spărtură într-un zid pentru a monta o consolă sau chiar a urmări traseul unei instalaţii electrice, de gaze sau de apă. În această situaţie, prezentul montaj este deosebit de util atît pentru un gospodar, cît, mai ales, pentru cei ce practică meseria de instalatori.

Schema se compune dintr-un oscilator LC cu reacţie în bază, compus din tranzistorul T1, circuitul oscilant L1 — C3, circuitul de reacţie L2, C2 şi reţeaua de polarizare în curent continuu, formată din R1, R2, R3, P1 şi P2. Frecvenţa de oscilaţie este determinată de valorile lui L1 şi C3.

Bobina L1 fiind cu miez de ferită, la apropierea unui obiect metalic valoarea inductanţei lui L1 se modifică în sensul că frecvenţa de oscilaţie scade. Semnalul oscilatorului se aplică prin D2 şi D3 la intrarea unui filtru activ trece-jos, format din T2,





Fiecare panou pentru o cifră este însoțit de un pupitru de comandă, pe care sînt montate întrerupătoarele și lămpile de control (fig. 3). Lămpile de control pot fi beculețe cu neon de tip LSD-32, cu soclu E 10/13, sau echivalentul TN-0,2, existent în magazinele cu articole fotografice, sau lampa LSD-42, cu soclu BA 9 s/14, conectate în derivație cu lampa corespondentă din panou, în serie cu o rezistență pentru fie-

care lampă cu neon (1-1,2 MΩ pentru rețeaua de 220 V-50 Hz). Pupitrele de comandă sînt concepute cu lămpi alimentate prin transformator. Ele vor fi echipate cu lămpi de control care funcționează la aceeași tensiune cu lămpile din panou, dar de puteri mai mici, deoarece apar conectate în derivație cu lămpile din panoul de afișaj prin intermediul întrerupătoarelor. Legătura electrică între panoul de afișaj

și pupitrul de comandă se realizează printr-un cordon cu 13 fire conductoare, izolate între ele (de exemplu, 13xFY sau TCLY-1 mm<sup>2</sup>).

O variantă simplificată a panoului de afișaj numeric este prezentată în figura 4. Cifra este realizată prin combinația a 7 segmente (fig. 5). În interiorul cutiilor din tablă de forma indicată în figura 5 se pot introduce cite 2 sau 3 lămpi electrice cu incandescență, conectate în derivație, sau cite un tub fluorescent de 14 sau 20 W, echipat cu balast și starter independent. Echipind segmentele cu tuburi fluorescente de 14 W,

rezultă cifre cu înălțimea de aproximativ 1 m.

Cînd toate întrerupătoarele sînt închise, ard toate segmentele, prezentînd cifra „8”; de aceea, întrerupătorul de comandă al acestei cifre a fost înlocuit cu întrerupătorul general „I” al panoului (fig.5). În figura 3 nu este indicat întrerupătorul general al panoului, schematizat în figura 1.

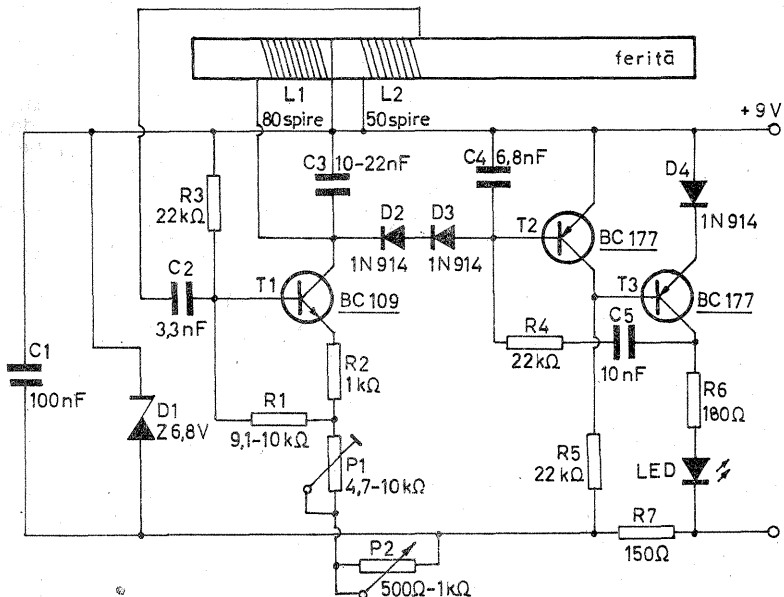
Funcționarea panoului din figura 4 rezultă din tabelul nr. 2

T3, C4, C5 și R4.

În lipsa unui obiect metalic în apropierea miezului de ferită, frecvența de oscilație liberă este superioară frecvenței de tăiere a filtrului, fiind puternic atenuată. În acest caz LED-ul nu luminează. Apropiind un obiect metalic de bara de ferită, frecvența oscilatorului scade și intră în banda de trecere a filtrului, fapt care implică aprinderea LED-ului. Potentiometrul P2, din care se reglează sensibilitatea montajului, se manevrează în așa fel încît la apro-

pierea barei de ferită de o masă metalică (cca 20 cm) LED-ul să pișpeie, iar de la 10 cm să rămînă aprins.

Bobinele se execută din sîrmă Cu-Em  $\varnothing$  0,2 mm, pe o bară rotundă de ferită de circa 10 mm, între montajul propriu-zis și bara de ferită trebuie lăsat un spațiu de cel puțin 15 cm. Dispozitivul se poate închide într-o cutie din plastic sau lemn, dar în nici un caz din metal. Alimentarea se poate face de la o baterie de 9 V, consumul montajului fiind foarte mic.

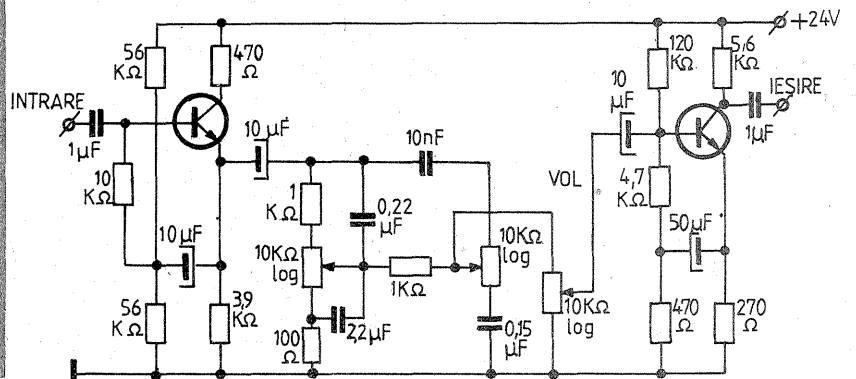


# AMPLIFICATOR -CORECTOR

Ing. G. PINTILIE

Amplificatorul prezentat permite reglarea amplificării la frecvențele de 100 Hz și 10 000 Hz față de frecvența de 1 000 Hz în limitele a  $\pm$  20 dB. În montaj sînt folosite tranzistoare cu zgomot redus de tipul BC 173. Se recomandă să se folosească piese cu abateri de  $\pm$  5% față de valorile indicate în schema. Montajul

se alimentează la o sursă de curent continuu bine filtrată cu tensiunea de 24 V. Consumul maxim este de 7 mA. Condensatoarele electrolitice vor fi de buna calitate, cu curenți mici de scurgere; celelalte condensatoare vor fi cu hirtie sau cu hirtie metalizată.



## FILTRE INTERFERENȚIALE ÎN TEHNICA FOTOGRAFICĂ

În tehnica modernă fotografică (cinematografică) s-a impus utilizarea filtrelor interferențiale datorită selectivității incomparabil mai mari a acestora în comparație cu filtrele din gelatină sau cele din sticlă colorată. Totodată, filtrele interferențiale au marea avantaj de a rezista la temperaturi mari și a nu fi afectate

de acțiunea radiațiilor luminoase intense. Aceste calități le oferă o viață îndelungată, singurul pericol constând în riscul deteriorării mecanice prin manevrări neatențe. Dezavantajul filtrelor interferențiale este prețul relativ mare.

Filtrele interferențiale constau dintr-unul sau mai multe straturi

foarte subțiri depuse pe o suprafață optică având proprietatea de a transmite sau reflecta selectiv radiații cu lungimi de undă diferite. Depunerea acestor straturi se face în vid, pe mașini speciale, utilizându-se în general materiale dielectrice. Există și depuneri de materiale bune conductoare metalice sau nemetalice. Prin această tehnică se obțin atât filtre cât și oglinzi cu proprietăți selective în funcție de lungimea de undă a radiației incidente.

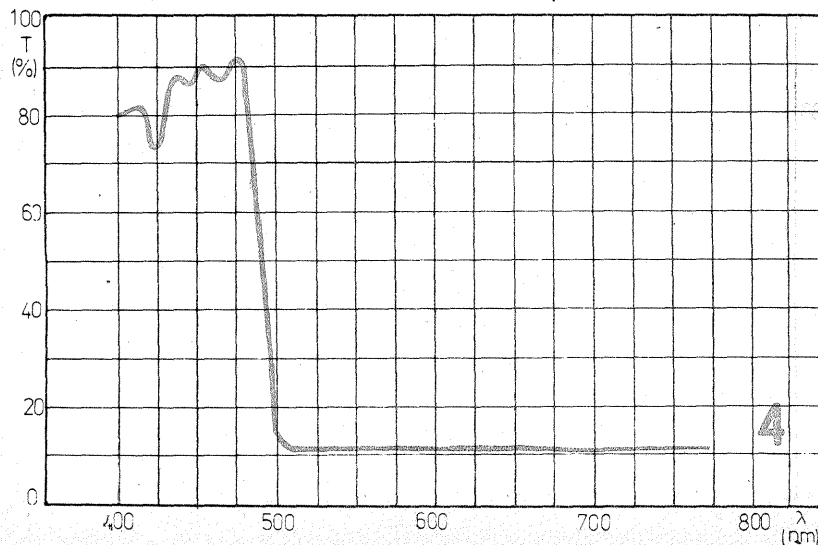
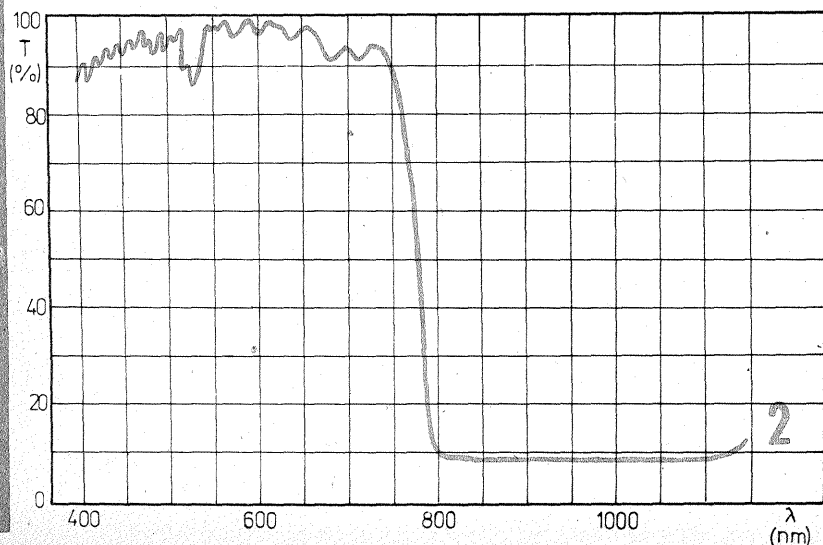
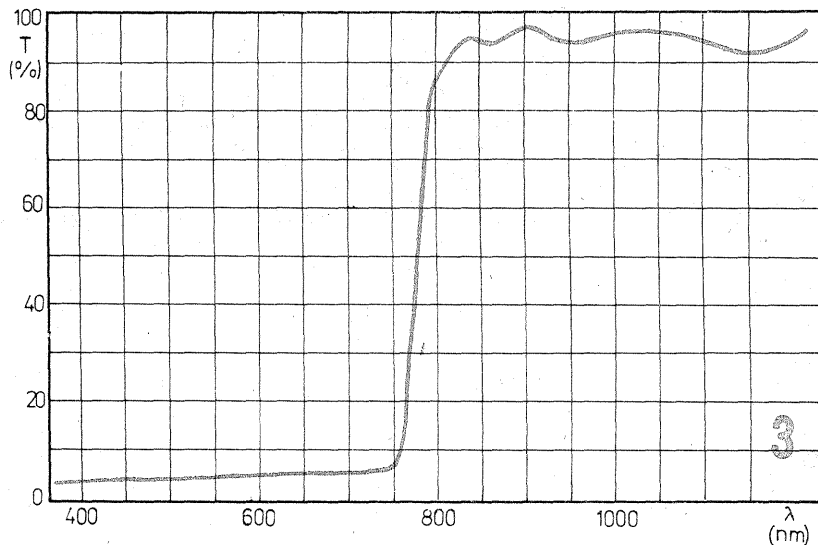
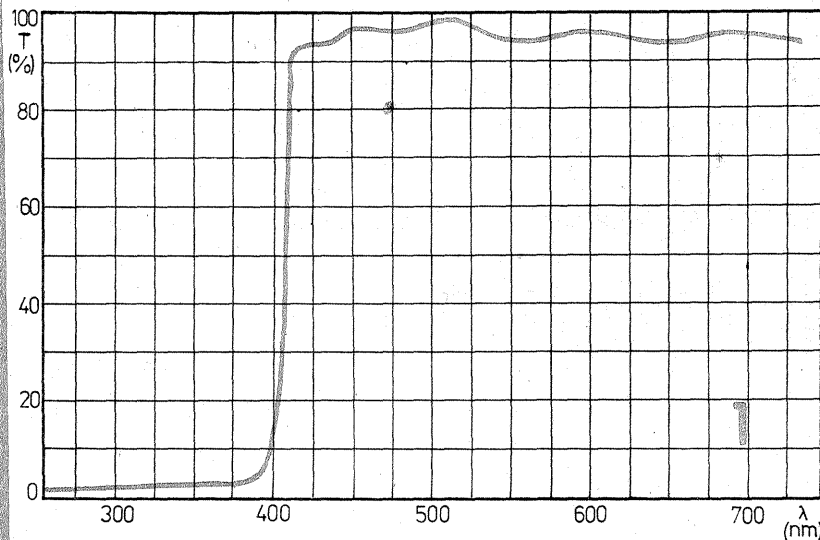
Cîmpul radiațiilor pentru care folosirea filtrelor interferențiale este posibilă este extrem de larg, din zona radiațiilor ultraviolete pînă la infraroșul îndepărtat (200-3 000 nm, din care zona vizibilă se întinde între 400 nm și 700 nm). Cele spuse sînt valabile și pentru oglinzile interferențiale, dar acestea nu fac obiectul articolului de față.

Cea mai răspîndită aplicație a filtrelor interferențiale este tratamentul antireflex aplicat obiectivelor. Fie că este vorba de o depunere monostrat sau multistrat, aceasta constituie un filtru de precizie, care reduce reflexia pe suprafața tratată la valori sub 5%, îmbunătățind substanțial calitatea imaginii prin creșterea cantității de lumină transmise și prin micșorarea fenomenelor de difuzie.

O aplicație mai restrînsă este cea a filtrelor gri-neutre. Utilizarea unui filtru gri-neutru interferențial se justifică doar în cazul unui mediu cu temperatură ridicată.

Filtrele interferențiale de selecție a unei benzi înguste sau largi de radiație își găsesc excelent utilizarea în aparate de genul analizoarelor de culoare, fotometrelor, densitometrelor, colorimetrelor, refractometrelor, interferometrelor, în microscopie etc. În cadrul acestui gen de filtre interferențiale de selecție, un grup distinct îl constituie filtrele de bandă largă „trece-sus” sau „trece-jos” în domeniul radiațiilor vizibile sau infraroșii și ultraviolete. În figura 1 este redată curba caracteristică a unui filtru anti-UV utilizat curent în fotografie. Se observă că transmisia radiațiilor pînă la 400 nm (respectiv radiațiile ultraviolete) este nulă. Figura 2 ilustrează modul de acțiune a unui filtru antiinfraroșu (infraroșul apropiat), iar figura 3 cazul unui filtru de trecere pentru infraroșul apropiat. Ambele tipuri de filtre își găsesc utilizarea atât la fotografie, cât și în tehnica de laborator.

Menționăm că exemplele citate și cele care urmează redau curbe de principiu, filtrele reale puțin să prezinte unele devieri față de caracte-



teristicile arătate.

Din ce în ce mai utilizate în tehnica foto-cinematografică, precum și în televiziune sînt filtrele dicroice, care servesc separării tricromatice a culorilor atît în sinteza aditivă, cît și în cea substractivă. Fotografal va înțîlni acest fel de filtre în construcția capetelor color ale aparatelor de mărît de construcție recentă, în cele mai multe cazuri pentru sinteza substractivă.

Figura 4 redă curba caracteristică a unui filtru dicroic albastru, figura 5 pe cea a unui filtru dicroic verde, iar figura 6 pe cea a unui filtru dicroic roșu. Sintezei substractive îi corespund filtrele dicroice din figurile 7-galben, 8-purpuriu și 9-azurii. Se observă că pentru obținerea culorii purpurii, inexistentă în spectru, filtrul dicroic corespunzător permite trecerea radiațiilor albastre și roșii (prin a căror compunere rezultă purpuriul).

Un alt gen de filtre colorate (filtrele dicroice sînt colorate) este alcătuit de grupa filtrelor de conversie. Figura 10 cuprinde două exemple de caracteristici pentru filtre de conversie corespunzătoare unei ridi-

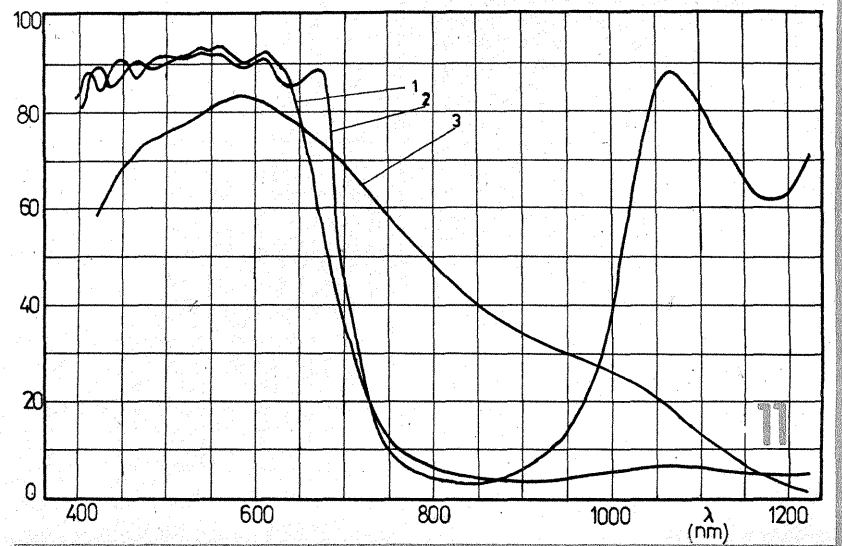
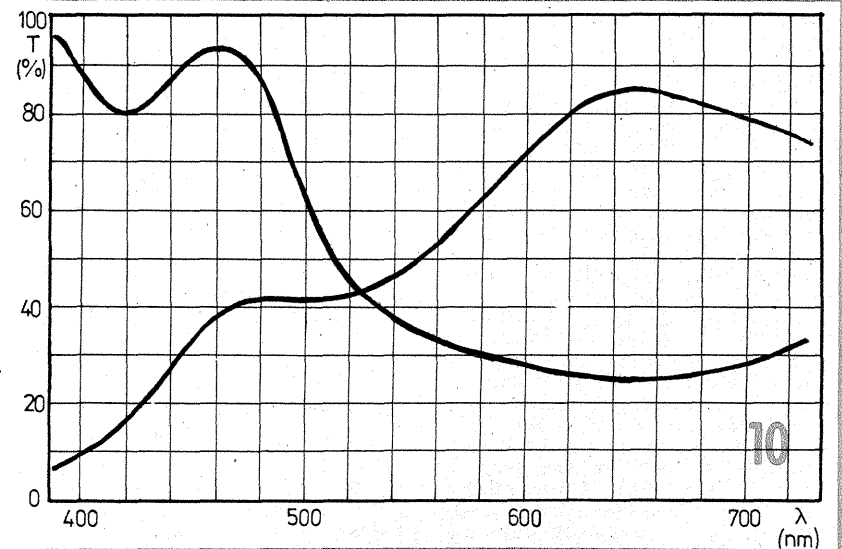
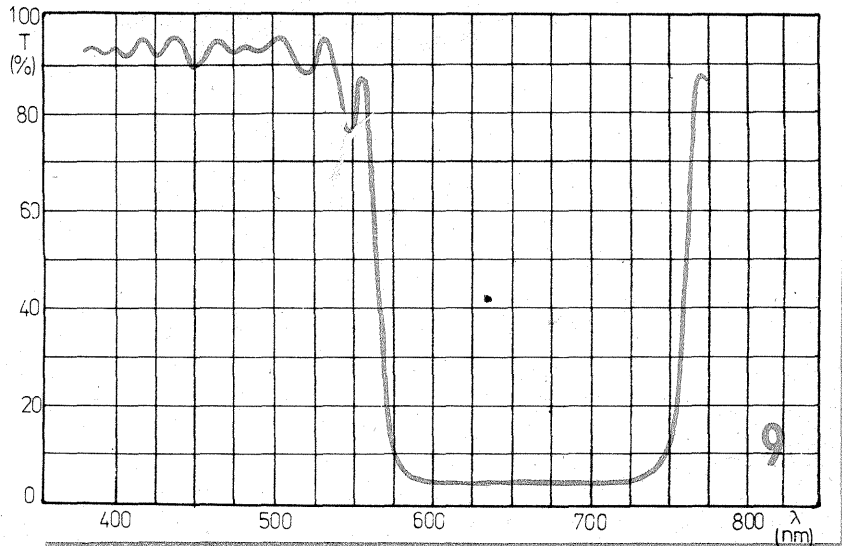
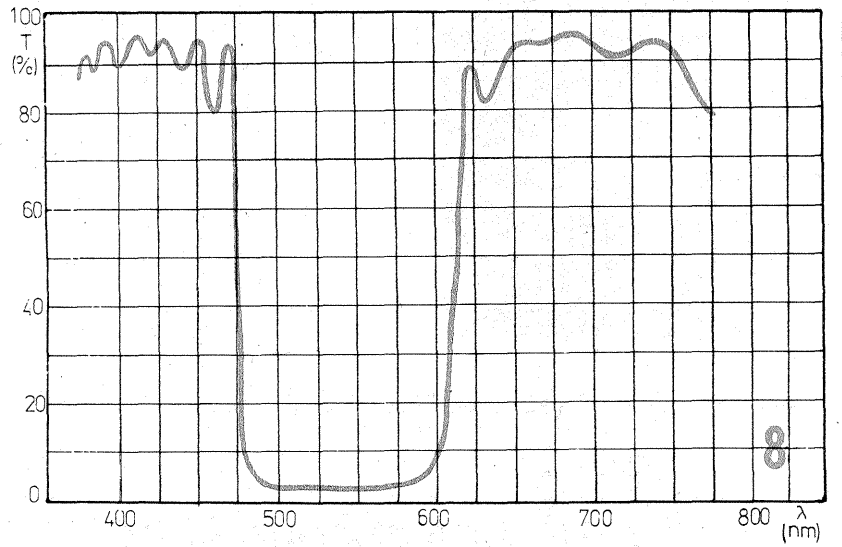
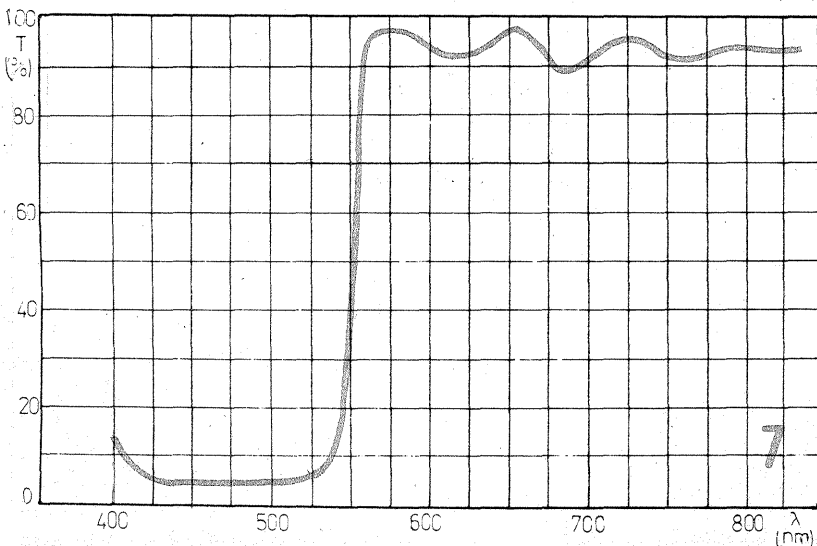
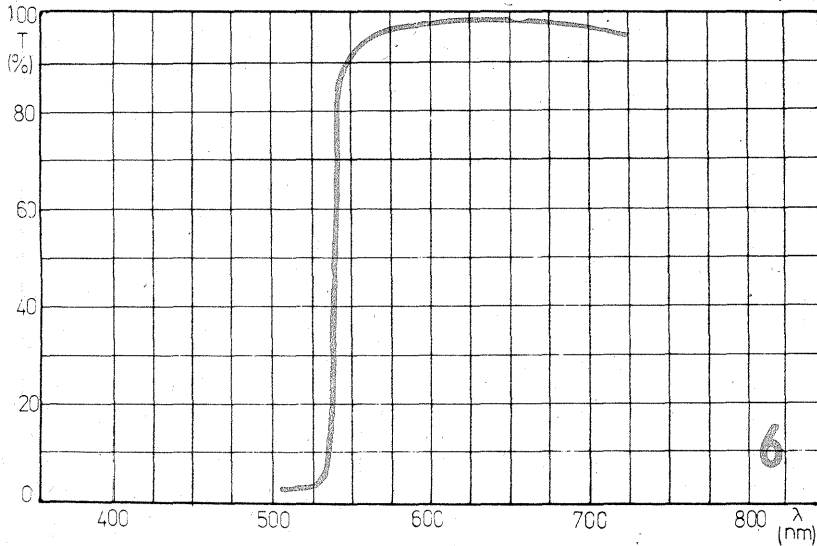
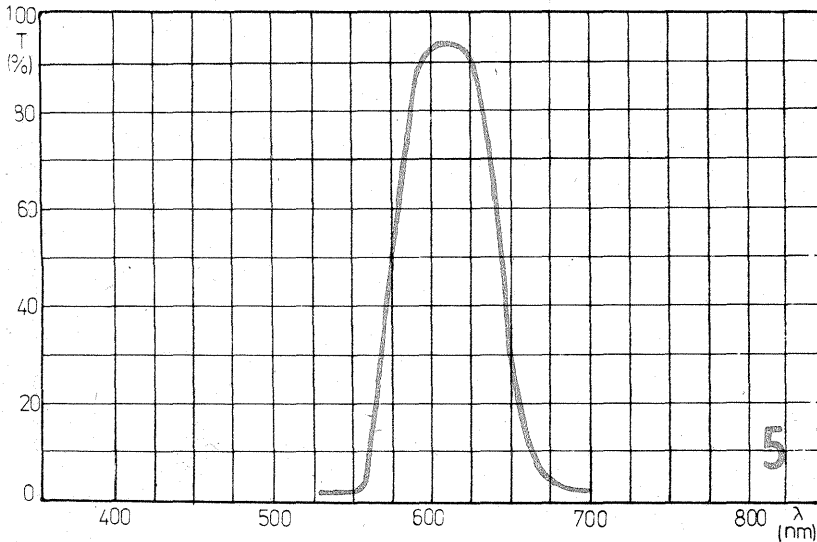
cări, respectiv coborîri, a temperaturii de culoare.

În aparatele de proiecție, în epidiastroape, la capetele color, în microscopie, ca filtru de protecție pentru unele fotoreceptoare se folosesc așa-numitele filtre anticolorice. Acestea sînt filtre de bandă largă și nu permit trecerea radiațiilor infraroșii. Ca exemple sînt date trei curbe de principiu ale unor astfel de filtre în figura 11. Se observă că tăia de filtrul ilustrat în figura 2 curbele nu sînt atît de abrupte în zona de transfer dintre vizibil și infraroșu.

Mai menționăm existența unor filtre interferențiale de corecție a compoziției spectrale a unor surse artificiale de lumină (de exemplu, a lămpilor cu xenon) în scopul apropierii de spectrul luminii solare.

Fotografal amator sau profesionist va înțîlni în practică o bună parte din filtrele interferențiale descrise, filtre antiinfraroșu la unele aparate de mărît și analizoare de culoare, filtre anticolorice la aparatele de proiecție, filtre dicroice la capetele color sau la analizoarele de culoare

Ing. V. CĂLINESCU



## CEAS ELECTRONIC

C. MIHALACHE

În schema prezentată în continuare s-au utilizat pentru afișarea orelor și minutelor dispozitive de tip FND 500, care sînt formate din LED-uri dispuse în sistem „7 segmente”. Întrucît acestea sînt cu cadod comun, nu este posibilă utilizarea decodoarelor obișnuite (CDB 446—447) decît prin intermediul cite unui inversor pe fiecare segment, ceea ce este neeconomic (pentru 4 digiți necesari unui ceas ar trebui 5 capsule inversoare, 4 decodoare și cca 30 de rezistoare). De asemenea, utilizarea unor decodoare specializate pentru cadod comun (SN 7448) este îngreunată de dificultatea procurării acestora. O soluție avantajoasă, aparent mai complicată, este schema de decodificare prin multiplicare, care utilizează circuite integrate ușor de procurat (CDB 403, CDB 404, CDB 495, CDB 446) și, în plus, are avantajul unui consum redus (de două ori mai mic decît la varianta cu inversoare). De asemenea, numărul conexiunilor dintre partea de comandă și cea de afișare este mult redus (13, în loc de 30), ușurînd o eventuală detașare a afișajului de ceasul propriu-zis sau chiar atașarea unui afișaj suplimentar.

Schema de decodificare se compune dintr-un decodor BCD—7 segmente (CI1) de tip CDB 446—447 (D 147), 4 circuite integrate de tip CDB 403 (P1—P16), un circuit de tip CDB 404 (I1—I4) și 11 tranzistoare, 7 de tip BC 177 (BC 251) și 4 de tip BC 171 (BC 107—108). Funcționarea schemei se bazează pe comutarea ciclică a intrărilor decodorului la ieșirile celor 4 numărătoare din ceas, simultan cu comutarea alimentării la fiecare din cele patru afișoare (segmentele similare plasate ale acestora fiind legate împreună). Comutarea este asigurată de porțile P1—P16 și un registru de deplasare (CI8) de tip CDB 495, comandat cu impulsuri de 10 kHz.

Schema ceasului propriu-zis este clasică, fiind compusă din trei celule de numărare: C16—C17 pentru secunde, C14—C15 pentru minute, C12—C13 pentru ore. Impulsurile de 1 Hz au fost obținute prin divizarea cu 10<sup>7</sup> a impulsurilor de 10 MHz furnizate de un oscilator cu cuarț. Divizorul de frecvență (C19—C116) furnizează, de asemenea, impulsuri de 1 kHz pentru sonerie, de 10 kHz pentru comanda multiplexării și un semnal de 100 kHz necesar în blocul de comandă al ceasului. O particularitate a schemei prezentate o constituie modul de fixare a ceasului. Aceasta se realizează automat, cu ajutorul celor 4 comutatoare zecimale K1—K4, al comutatorului K5 și circuitului integrat CI20 (CDB 474) astfel:

- se stabilește ora la care trebuie fixat ceasul (din K1—K4);
- se trece K5 în poziția „24”;
- se apasă butonul START; în mai puțin de o secundă, ceasul va trece automat pe ora programată prin comutatoare;
- se trece K5 în poziția 1;
- se apasă butonul STOP SONERIE.

RIE (la trecerea lui K5 în poziția 1, soneria va începe să sune);

- se stabilește (tot din K1—K4) ora la care se dorește să sune ceasul;
- se apasă butonul START, ceasul începînd din acest moment funcționarea normală.

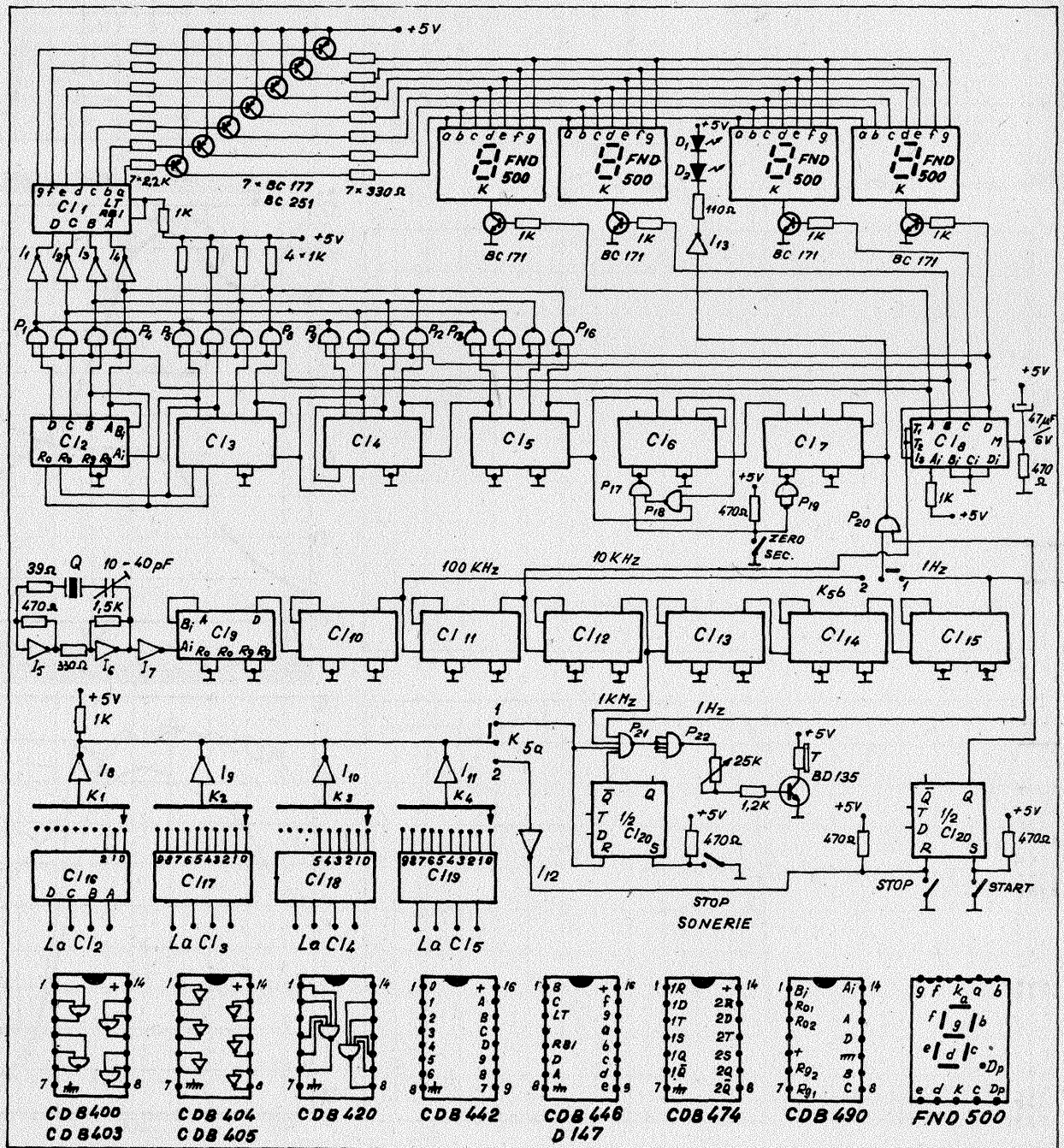
La ora stabilită, ceasul va suna, apelul durînd 1 minut sau puțin fi întrerupt, după dorință, prin apăsarea butonului STOP SONERIE. Semnalul soneriei este intermitent și a fost obținut prin mixarea impulsurilor de 1 Hz și 1 kHz provenite din divizorul de frecvență. Ca amplificator a fost utilizat un tranzistor BD 135, iar ca traductor o cască telefonică, T. Cu ajutorul potenciometrului de 25 kΩ se poate regla volumul soneriei. Butoanele de START,

STOP SONERIE, precum și cele de STOP și ZERO SEC. vor fi de tipul „push-buton” sau taste de calculator.

### LISTA DE PIESE:

CI1 = CDB 446—CDB 447, D 147;  
 CI2—CI7, CI9—CI15 = CDB 490;  
 CI8 = CDB 495; CI16—CI19 = CDB 442; CI20 = CDB 474; P1—P16 = 4x CDB 403; P17—P20 = CDB 400;  
 P21—P22 = CDB 420; I1—I4 = CDB 404; I5—I13 = CDB 405; Q = cuarț 10 MHz.

Alimentarea ceasului se face cu 5 V, consumul fiind de cca 0,8 A. Se recomandă decuplarea alimentării fiecărui circuit cu cite un condensator de 10—50 nF.





## CORECTOR DE TON PE TREI BENZI

DANIEL FIROIU,  
VALENTIN BORJOV

Beneficiind de performanțe excelente, corectorul realizează atât atenuarea cât și amplificarea semnalelor care se încadrează în una din cele trei benzi de frecvențe (joase, medii, înalte), oferind posibilitatea obținerii unei dinamici superioare.

Funcționarea montajului se bazează pe folosirea reacției negative și pozitive la nivelul mai multor etaje, fapt ce duce la amplificarea sau atenuarea unei anumite frecvențe.

De remarcat că reacția pozitivă este subunitară, ceea ce nu reduce performanțele și stabilitatea montajului. De aceea, este interesant de

urmărit faza semnalului prelucrat de corector și nu, în mod special, etajele de amplificare.

Considerând un semnal sinusoidal nedefazat, deci cu faza 0, aplicat la intrarea montajului, acesta este amplificat de  $T_1$  și defazat cu  $180^\circ$ . În colectorul lui  $T_2$  semnalul cu faza 0 este trimis pe o cale directă la ieșire, iar din emitor semnalul defazat cu  $180^\circ$  se aplică la grupul celor trei potențiometre. Analizând mai departe calea urmată de semnalul defazat cu  $180^\circ$ , se observă că la deplasarea cursorului unui potențiomtru spre  $C_4$  semnalul trece printr-unul din filtre, unde este se-

lecționată frecvența dorită, apoi este aplicat la baza lui  $T_3$ . În emitorul lui  $T_3$  semnalul este tot cu  $180^\circ$  defazat, pentru ca în colectorul lui  $T_4$  faza acestuia să fie 0, deci se însumează cu semnalul total provenit din colectorul lui  $T_2$ . De aici rezultă accentuarea unei anumite frecvențe.

Analizând cealaltă cale, se constată că semnalul cu fază 0 trimis la ieșire din colectorul lui  $T_2$  este aplicat prin intermediul lui  $C_{12}$  și al potențiometrului unuia din filtre, apoi lui  $T_3$ , care fiind repetor pe emitor nu defazează semnalul. În colector însă semnalul este defazat cu  $180^\circ$  și deci se va scădea din semnalul

### DATE TEHNICE

Tensiunea de alimentare: 30 V  
Consum: 5 mA

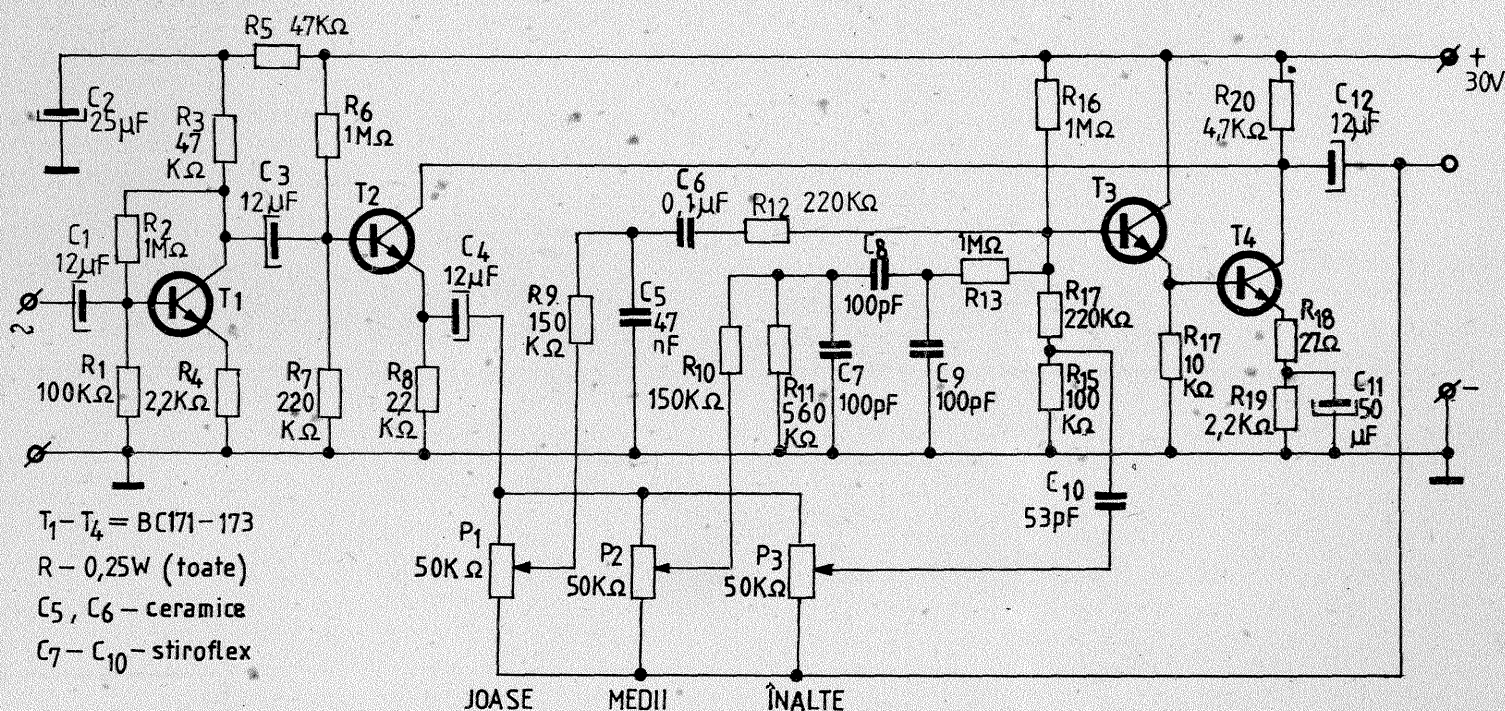
Factor de distorsiuni: 0,1%

### Reglaj de ton:

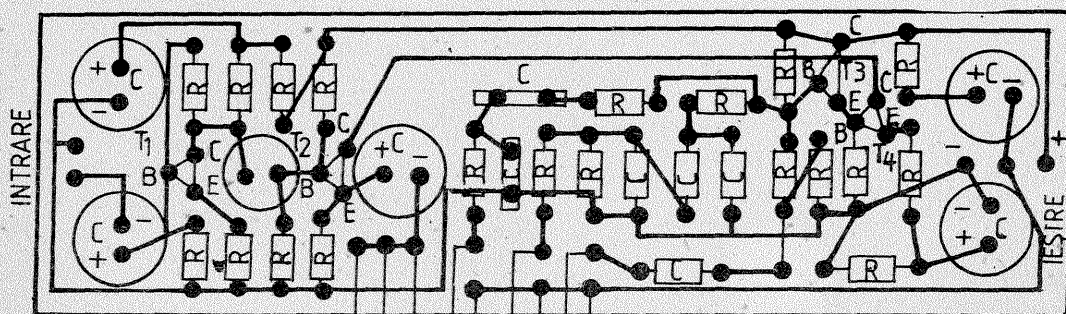
30 Hz + 20 dB — 24 dB  
1 kHz + 20 dB — 26 dB  
15 kHz + 20 dB — 22 dB

### BIBLIOGRAFIE

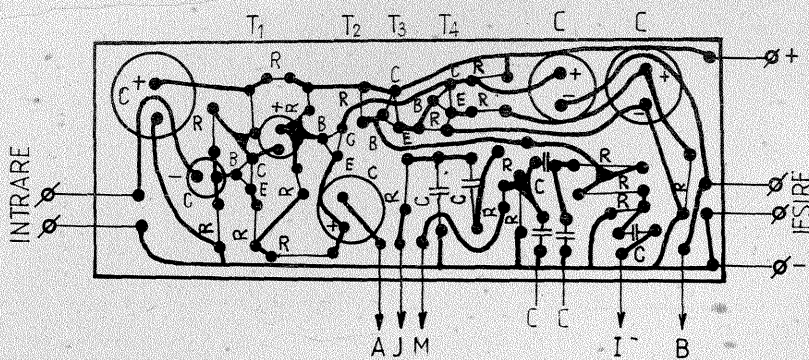
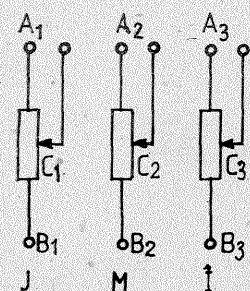
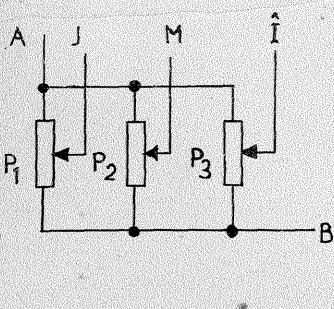
RIM ELEKTRONIK, 1980



$T_1 - T_4 = BC171-173$   
 $R = 0,25W$  (toate)  
 $C_5, C_6$  - ceramice  
 $C_7 - C_{10}$  - stiroflex



$A_1 A_2 A_3 C_1 B_1 C_2 B_2 C_3 B_3$



complex, rezultând o atenuare a frecvenței respective.

Se recomandă o respectare cât mai fidelă a valorilor pieselor din filtre.

Când cursoroarele potențiometrilor se află la jumătate, montajul realizează o amplificare cu 40 dB în toată gama de frecvențe 30 Hz—15 kHz.

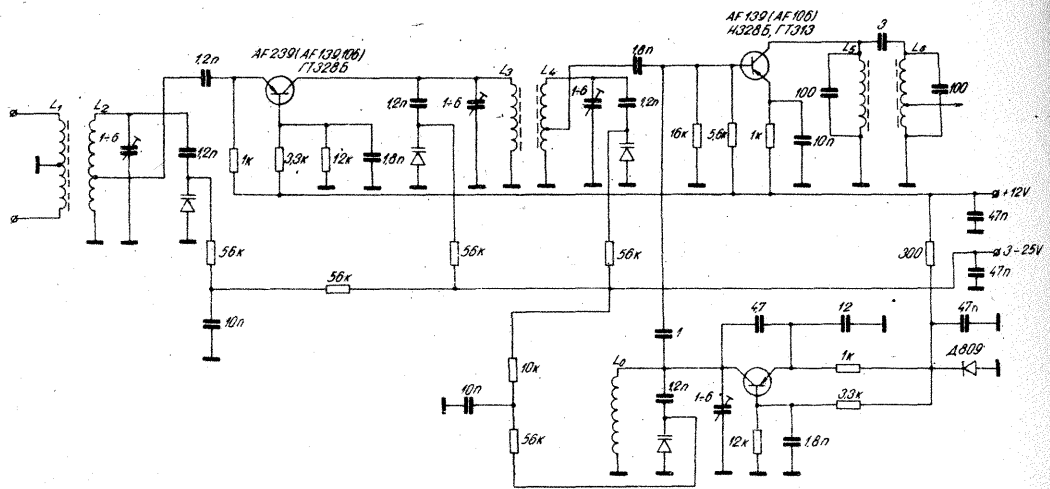
## BLOC UUS

Constructorii amatori au posibilitatea să realizeze un bloc UUS (tuner) după schema alăturată. Acest montaj poate funcționa atât în norma OIRT 65,8—73 MHz, cât și în norma CCIR 87,5—108 MHz. Circuitul de intrare cuplează la bobina  $L_1$  antena (cablu 300  $\Omega$ ). Primul tranzistor este amplificator și cuplează semnalul prin  $L_3$  etajului de amestec  $T_2$ . Tot la etajul de amestec sosește și semnalul de la oscilatorul local. Acordul fin se face cu diode varicap tip BB105, iar acordul brut într-o gamă sau alta din condensatoarele semivariabile și miezurile bobinelor.

Bobina  $L_1$  are 2 x 2,5 spire CuEm 0,16;  $L_2$ ,  $L_3$  și  $L_4$  au câte 5,5 spire (priză 1); bobina  $L_0$  are 5 spire. Toate aceste bobine au carcase cu diametrul de 5 mm și sirma utilizată este CuEm 0,5. Bobinele  $L_5$  și  $L_6$  formează filtru pe 10,7 MHz și au în componența lor câte 20 de spire CuEm 0,18.

Montajul, cu mici modificări (redușe spirele bobinelor  $L_1$ ,  $L_2$ ,  $L_3$ ,  $L_4$ ,  $L_0$ ), poate lucra și pe 144 MHz.

„RADIO TELEVIZIA ELECTRONICA”, 10/1982



## CAPACIMETRU

Montajul permite măsurarea capacităților cu valori cuprinse între 2pF și 1 $\mu$ F.

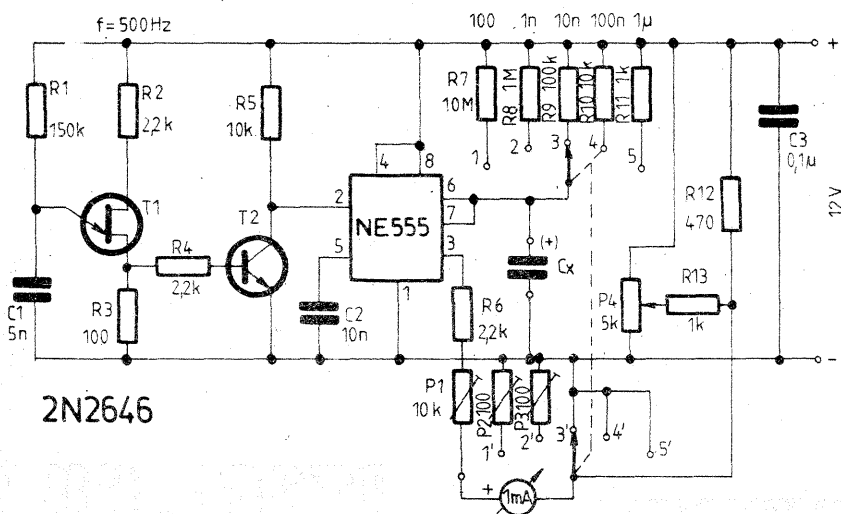
Tranzistorul  $T_1$  (2N2646) formează un generator cu frecvența de aproximativ 500 Hz, după care semnalul este amplificat de  $T_2$  (BC107) și aplicat circuitului 555.

Măsurarea se face pe 5 game de

valori: 100 pF — 1 000 pF — 10 nF — 100 nF — 1 $\mu$ F.

Instrumentul de măsură trebuie să aibă sensibilitatea cuprinsă între 100  $\mu$ A și 1mA. Potentiometrul  $P_4$  aduce la zero instrumentul indicator.

„UKW-BERICHTE”, 1/1977



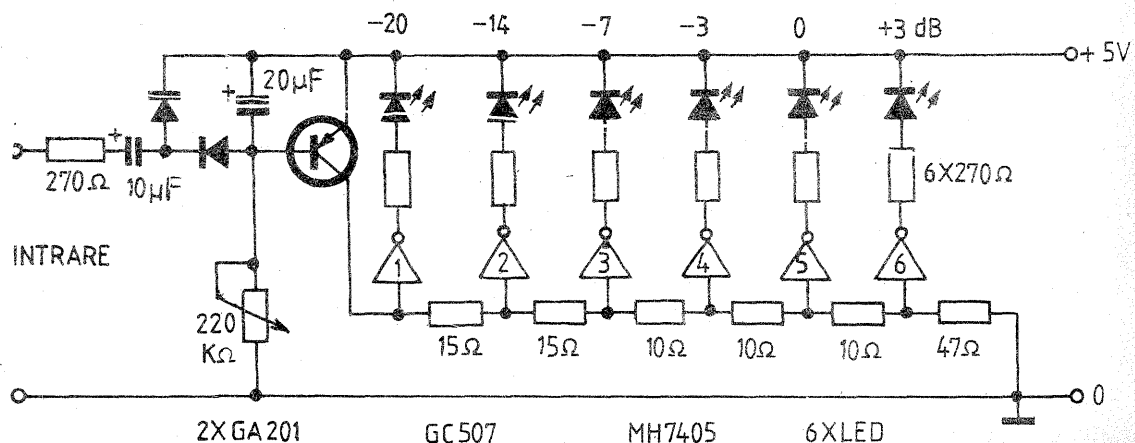
Utilizând ca elemente indicatoare 6 diode LED, se poate urmări variația nivelului unui semnal sau, în cazul de față, puterea unui amplificator.

Adaptat la un amplificator de 20 W, acest instrument este gradat direct în dB (0 dB la 20 W), etalonarea făcându-se din potentiometrul de 20 k $\Omega$ .

Elementele amplificatoare sînt conținute într-un circuit integrat 7405.

Tranzistorul este de tip EFT 353, iar diodele redresoare EFD 108.

VTM, 21/1982



## RK-2B MHz

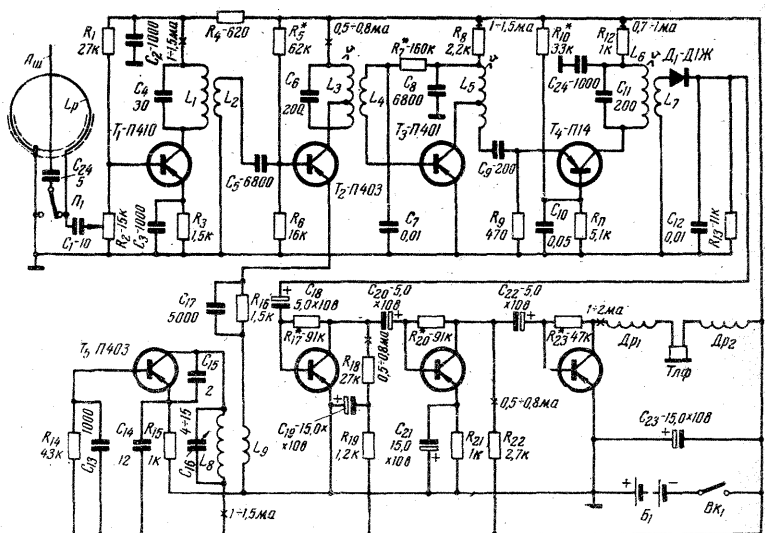
Destinat radiogoniometriei, acest radioreceptor este deosebit de simplu, dar cu mare eficiență.

Tranzistorul  $T_1$  este amplificator RF, după care urmează etajul convertor ( $T_2$ ). Tranzistoarele  $T_3$  și  $T_4$  sînt amplificatoare FI.

După detecție urmează amplificatorul AF.

Bobinele au următoarele date:  $L_1$  = 11 spire,  $L_2$  = 2 spire (CuEm 0,5),  $L_3$  = 25 + 25 spire (CuEm 0,2),  $L_4$  = 6 spire,  $L_5$  =  $L_6$  = 80 spire,  $L_7$  = 10 spire. Alimentarea aparatului se face cu 4,5 V.

„RADIO”, 2/1974



## βM 3900

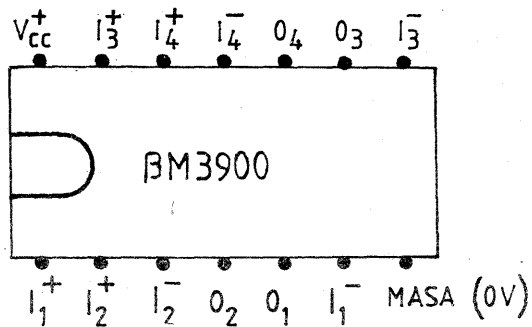
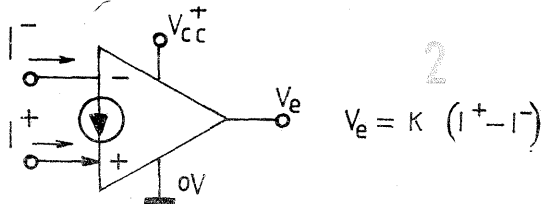
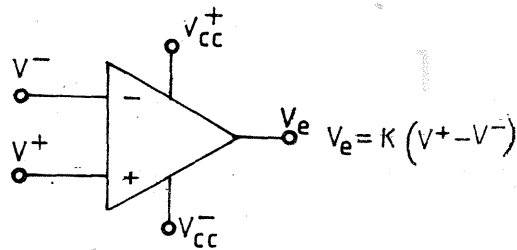
Circuitul integrat βM 3900 conține patru amplificatoare operaționale de tip NORTON închise într-o singură capsulă cu 14 terminale.

Un amplificator operațional clasic (gen βA 741) este reprezentat în figura 1. Pentru acesta tensiunea de ieșire este proporțională cu diferența tensiunilor aplicate pe intrările (+) și (-). Un amplificator de acest tip este bun dacă are amplificarea mare, rezistența de intrare de asemenea mare, iar rezistența de ieșire mică.

Amplificatorul NORTON reprezentat în figura 2 (capsula în figura 3) are tensiunea de ieșire proporțională cu diferența curentilor aplicați pe intrările (+) și (-). Acest lucru se înțelege ușor urmărind schema internă a circuitului, reprezentată în figura 4. Tranzistoarele Q<sub>4</sub> și Q<sub>5</sub> formează un montaj denumit „oglină de curent”. Particularitatea circuitului constă în faptul că, injectând un anumit curent în borna (+), curent notat pe figură cu I<sup>+</sup>, tranzistorul Q<sub>4</sub> va „suge” din exterior aproximativ același curent (notat I<sub>4</sub>). În acest caz, curentul de bază al tranzistorului Q<sub>1</sub> (I<sub>B</sub> pe desen) va fi egal cu diferența curentilor de intrare I<sup>+</sup> și I<sup>-</sup>: I<sub>B</sub> = I<sup>+</sup> - I<sup>-</sup>, deoarece I<sub>4</sub> ≈ I<sup>-</sup>.

Această diferență va fi amplificată de către tranzistoarele Q<sub>1</sub> și Q<sub>2</sub> și adusă la ieșire printr-un repetor pe emitor realizat cu tranzistorul Q<sub>3</sub>. Generatoarele de curent din schemă asigură polarizarea în regim staționar a circuitului.

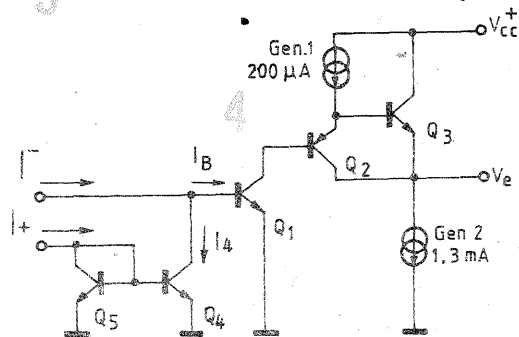
Cele patru amplificatoare sînt realizate simultan, în același cristal de siliciu. Din acest motiv, ele au performanțe foarte apropiate, ceea ce constituie un avantaj mare, exploatat de multe din aplicațiile circuitului βM 3900.



Dintre parametrii circuitului menționăm:

- câștigul în tensiune 2 800
- frecvența de tăiere 2,5 MHz
- curentul de intrare de polarizare 50 mA
- curentul maxim debitat la ieșire 10 mA
- curentul maxim absorbit de ieșire (V<sub>e</sub> ≤ 0,8 V) 1,3 mA
- tensiunea inversă maximă aplicabilă la intrare - 0,5 V

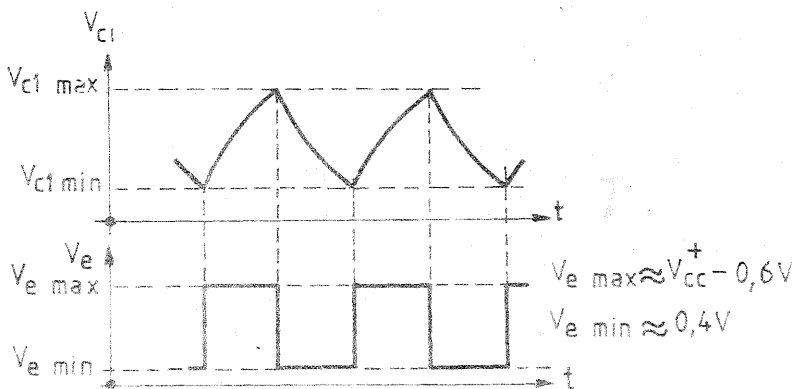
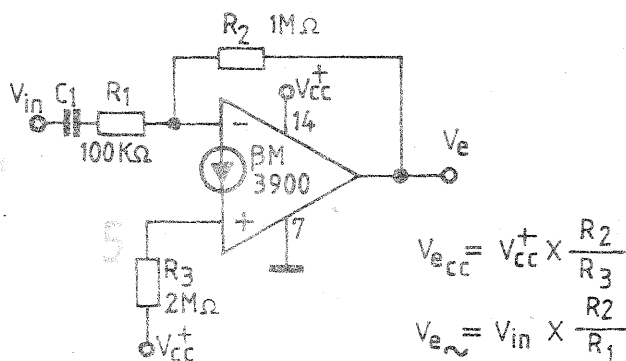
Precizăm că circuitul βM 3900 se alimentează de la o sursă nesimetrică, avînd valori de la 4 pînă la 36 V. În continuare vom da două dintre aplicațiile tipice ale acestui circuit.



## Amplificator inversor pentru semnal alternativ.

Schema electrică a montajului este prezentată în figura 5. La ieșirea circuitului, tensiunea continuă este egală cu V<sub>CC</sub> ·  $\frac{R_2}{R_3}$ , unde V<sub>CC</sub> este tensiunea de alimentare. Semnalul alternativ are excursie maximă la ieșire dacă V<sub>ieșire</sub> =  $\frac{V_{CC}^+}{2}$ . Acest lucru

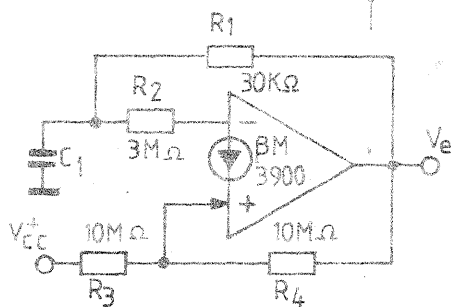
se realizează alegînd R<sub>3</sub> = 2 · R<sub>2</sub>. Câștigul pentru semnalul alternativ este R<sub>2</sub>/R<sub>1</sub>. Pentru valorile date în figură câștigul este 10, iar impedanța de intrare este mai mare de 100 kΩ. Câștigul se poate mări peste 100, reducînd valoarea rezistenței R<sub>1</sub> (de 100 kΩ), dar în acest caz se reduce și impedanța de intrare.



Schema este prezentată în figura 6. Oscilațiile sînt produse de încărcarea și descărcarea periodică a condensatorului C<sub>1</sub> prin R<sub>1</sub> de la tensiunea de ieșire. Tensiunea maximă de pe condensator este V<sub>CC</sub> ·  $\frac{R_2}{R_3 \parallel R_1}$ , iar cea minimă

este V<sub>CC</sub> ·  $\frac{R_2}{R_1}$ . Depășirea acestor valori va produce bascularea circuitului dintr-o stare în alta.

Frecvența de oscilație se modifică prin schimbarea valorii rezistenței R<sub>1</sub> (3 kΩ - 300 kΩ) sau a capacității condensatorului C<sub>1</sub>. Formele de undă sînt arătate în figura 7.



### IMPORTANT!

Rugăm pe toți cititorii revistei care posedă documentații, schițe, materiale teoretice sau realizări practice, însoțite de fotografii referitoare la diverse tipuri de garajen, precum și la centrale eoliene de diferite puteri să ia legătura cu redacția prin scrisori sau la telefon 17 60 20/2059.

# SERVICE

## Tehnic

### MAXIM MARIUS — Piatra Neamț

Zgomotele provenite de la picup pot fi diminuate sau atenuate complet dacă ungeți lagărele motorului și ale angrenajelor cu ulei mineral. Verificați apoi dacă una din roțile cuploare nu este deformată. Mai verificați dacă legăturile electrice sînt de bună calitate. Ca să determinați exact de unde vine zgomotul, faceți o înregistrare cu picupul oprit; dacă banda este înregistrată cu zgomot, vinovat este casetofonul.

Un picup de calitate este și NZC 150 stereo.

### EFTENIE ANGHEL — Bacău

Din cele relatate în scrisoare rezultă că televizorul are defecțiuni în sistemul de alimentare. Va trebui să verificați, conform schemei electrice, tensiunile în punctele principale și bineînțeles să remediați de-

fectul. Prima măsurătoare să fie efectuată cu siguranța de la tensiunea anodică demontată.

### SIMION MARIUS — Ploiești

Este greu de precizat de ce acul indicator are o poziție anormală; poate fi și un defect mecanic.

### RADU DRAGOMIR — București

Viteza motorului poate fi variată dacă se reglează tensiunea de alimentare. Nu deținem o documentare despre traducătoare magnetice de turăție.

### CIUCAN IOAN — Piatra Neamț

Dioda 1N 914 poate fi înlocuită cu 1N 4148. Difuzoare se pot procura de la magazinele de specialitate.

### PALOCȘA RUDOLF — Cluj-Napoca

Cel mai simplu este să construiți un receptor chiar după schema aparatului „Mămaia”; ale cărui performanțe le urmăriți.

Un tuner pe UUS găsiți chiar în acest număr la pag. 22.

### DRĂGAN GHEORGHE — Constanța

Tensiunea este scăzută pe terminalul 13 dintr-un defect interior al CI.

### COVACI HORATIU — Alba Iulia

Indiferent dacă schema emi-

tătorului provine din manualul de fizică sau din alte publicații, tot vă trebuie să posedați autorizație de construcție și utilizare.

### BORȘ DANIEL — Piatra Neamț

Canalele din banda 5TV se pot recepționa cu orice televizor dacă i se adaptează un convertor.

PCF 802 se găsește în magazine.

### JIPLEA CONSTANTIN — jud. Mehedinți

Difuzorul are 2,5 VA/4 Ω. Schema casetofonului „Star” a fost publicată.

### DORU DAN — București

I.P.R.S.-Băneasa a pus la dispoziția comerțului un număr destul de mare de amplificatoare de 10 W. Cu toate acestea, ele au fost cumpărate imediat. Nu fiți supărați; din următoarele livrări, sigur o să găsiți și dv. un amplificator.

### VALEA ANDREI — Cluj-Napoca

Vom publica radioreceptoare cu TBA 570.

### TAMAȘ IOSIF — Iași

Vom căuta să publicăm, cit mai curînd rețetele solicitate.

### ANDRONIC MIRCEA — Cimpulung Muscel

Simbolul publicat în „Radiorecepția de la A-Z” este corect: Legarea la masă înseamnă legarea la masa aparatului; unele aparate se leagă și la priză de pămînt — de aceea există cele două denumiri: masă și pămînt.

### BUTĂRESCU DAN — Craiova

Interesant materialul trimis. Va fi publicat.

### FILIPOVICI GHEORGHE — Cimpina.

Scrisoarea dv. a fost remisă spe-

cialiștilor în domeniu.

### HUSAR ION — Vișeu de Sus

Vom mai publica materiale privind centralele electrice eoliene.

### BOBICU FLORIN — Slatina

Amplificatoare pentru microfon au fost publicate în cadrul rubricii HI—FI.

### RADU LIVIU — București

Fiecare motor este construit să funcționeze la o tensiune cu anumită frecvență. Schimbînd frecvența de alimentare, se modifică și puterea debitată de motor.

### BUZAC MIHAI — Telemorman

Vom publica afit tipuri noi de generatoare, cit și materiale cu utilizări ale biogazului.

### TURCULEȚ ION — Iași

Limitați curentul prin LED la 10 mA. Există mai multe tipuri de tranzistoare ce funcționează la tensiuni mari; exemplu: cele din etajul final linii la receptoarele TV.

### TEODOROVICI MIRCEA — Pașcani

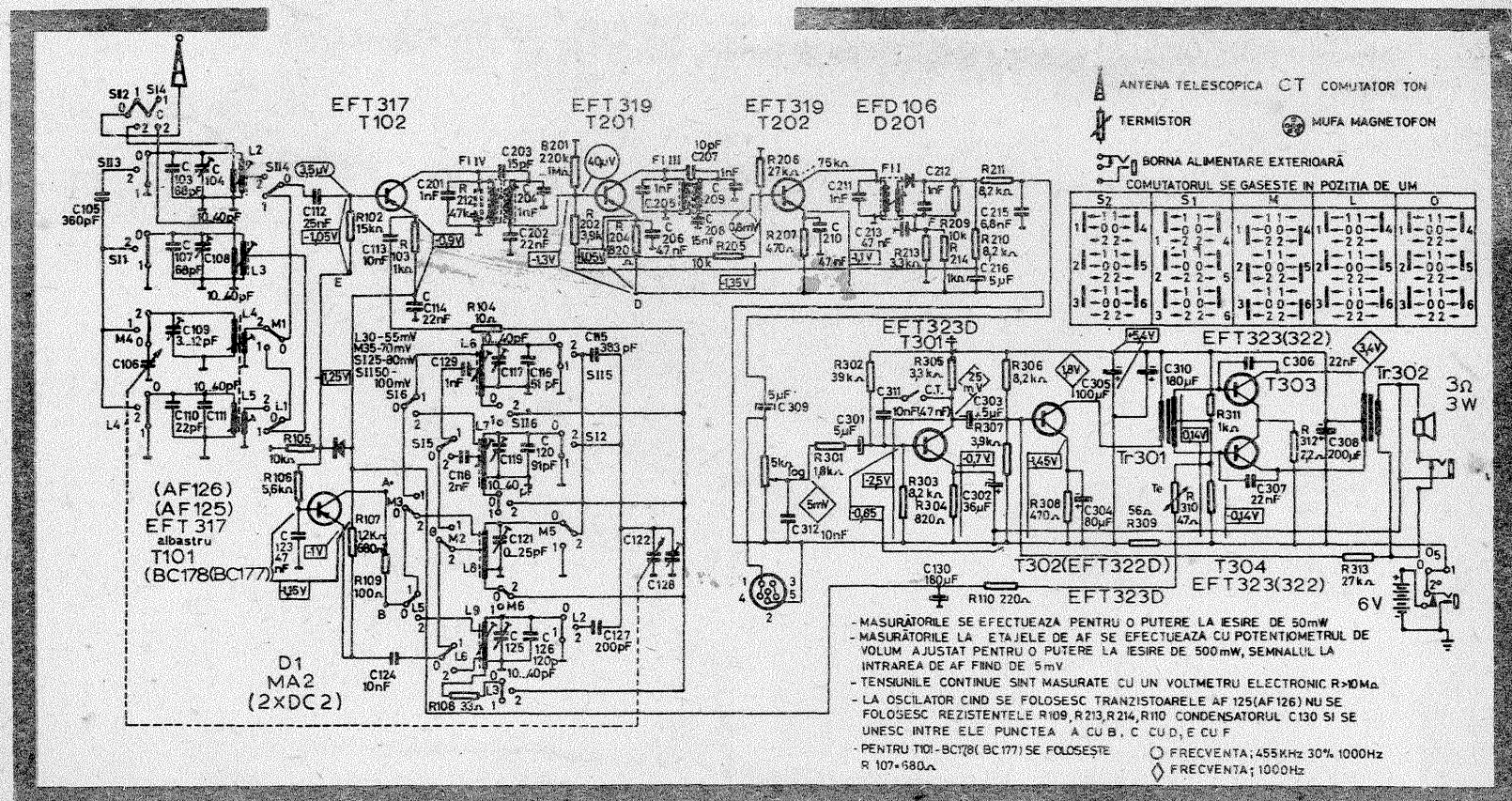
Stimate tovarășe inginer electronist, vă recomandăm să citiți în articolul la care faceți afirmații afit de categorice (dar neîntemeiate) și, dacă nici după aceasta nu vă veți convinge, încercați să realizați experimental montajul („Aplicații FET” — nr. 11/1982, circuit de temporizare).

### CHIRIȚESCU FLORIAN — București

Lipsa frecvențelor superioare din spectrul audio se datorează uzurii capului magnetic sau necentrării lui. Vă recomandăm să încercați centrarea mecanică a capului.

I.M.

# ALBATROS EBIT



Redactor-șef: ing. IOAN ALBESCU  
 Redactor-șef adj.: GHEORGHE BADEA  
 Secretar responsabil de redacție: ing. ILIE MIHĂESCU  
 Redactor responsabil de număr: ALEXANDRU MĂRCULESCU  
 Prezentarea artistică-grafică: ADRIAN MATEȘCU

Administrația  
 Editura Știința

INDEX 44212

CITITORII DIN STRĂINĂTATE SE POT ABONA ADRĂSÎNDU-SE LA ILEXIM — DEPARTAMENTUL EXPORT-IMPORT PRESĂ, P.O. BOX 134-137, TELEX 11226, BUCUREȘTI, STR. 13 DECEMBRIE NR. 3.

Tiparul executat la Combinatul poligrafic „Casa Științei”